

Robotik I: Einführung in die Robotik **Greifplanung**

Tamim Asfour, Rüdiger Dillmann

KIT-Fakultät für Informatik, Institut für Anthropomatik und Robotik (IAR) Hochperformante Humanoide Technologien (H²T)



Inhalt



- Einleitung
- Grundlagen
- Grifftaxonomien
- Kontaktmodelle
- Griffanalyse
- Greifplanung
- Greifen mit ARMAR-III

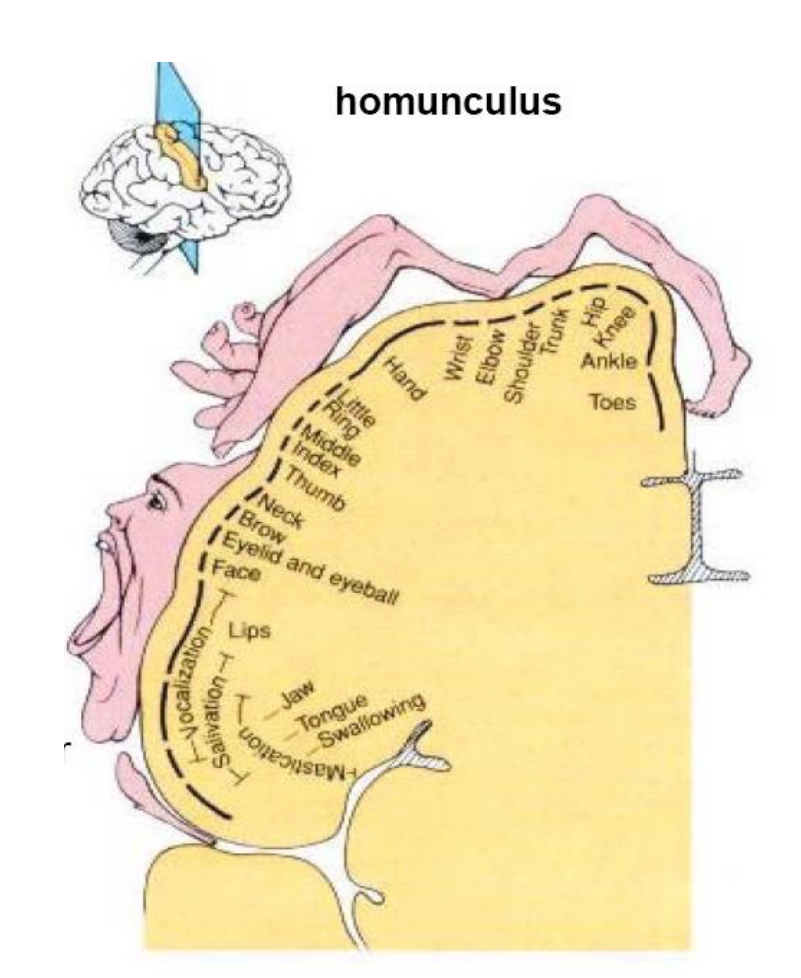


Das Greifen



- Als Control-Problem
 - Vieles ist bekannt

- Kognitive Aspekte des Greifens
 - Sehr wenig bekannt



Understanding hands = Understanding Intelligence



Einleitung



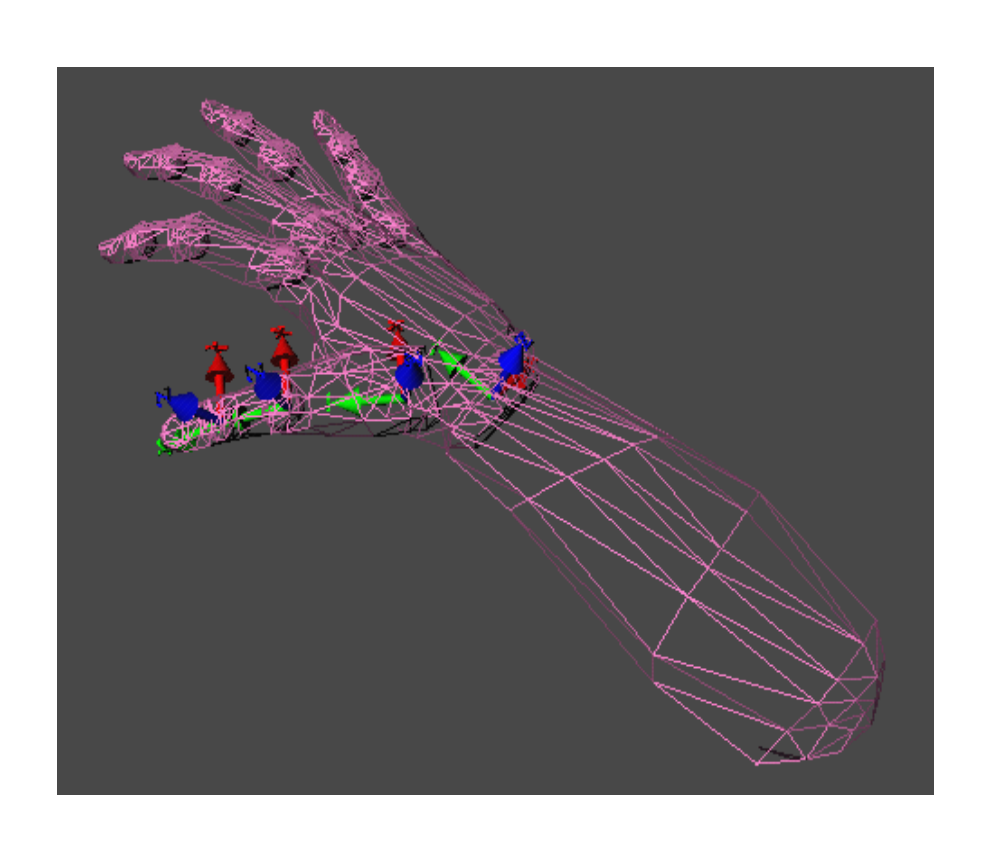
- Die menschliche Hand
 - 27 Knochen
 - insgesamt 27 Bewegungsfreiheitsgrade.
 - 3 DoF flexion/extension pro Finger
 - 1 DoF abduction/adduction pro Finger
 - 5 DoF Daumen:
 - 3 DoF flexion/extension
 - 2 DoF abduction/adduction
 - 6 DoF für die Handwurzel (Handfläche)
- Modellierung:
 - kinematische Modell
 - flächenbasiertes Geometriemodell

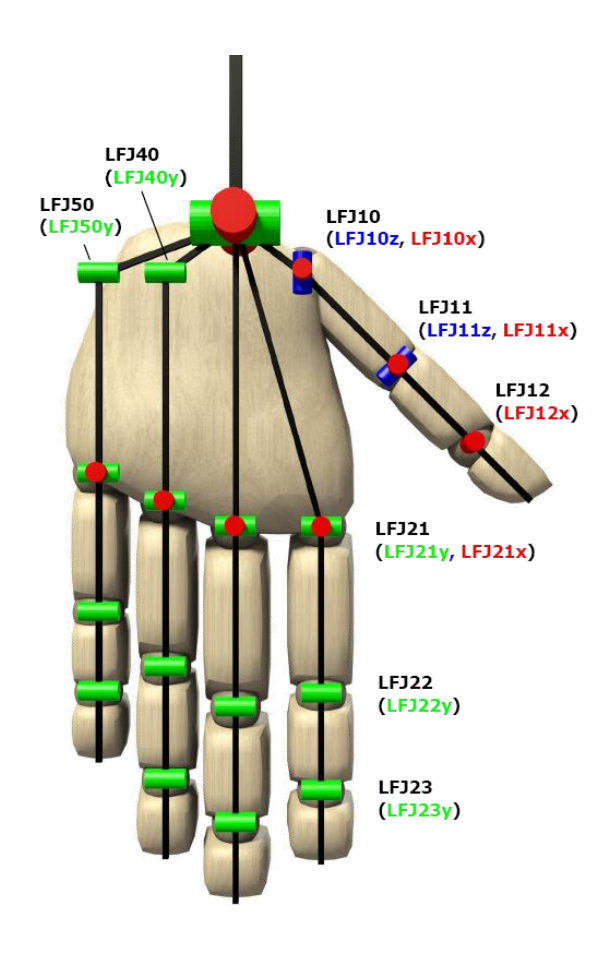
U. Schmidt, Hans-Martin; Lanz. *Chirurgische Anatomie der Hand*. Stuttgart, New York, 2003. Georg Thieme Verlag



Kinematisches Modell









Flächenbasiertes Geometriemodell







Cutkosky Grifftaxanomie



Grifftaxonomie

- Benchmark f
 ür die Evaluation von Roboterh
 änden
- Vereinfachung der Griffsynthese
- Grundlagen für das Design von Roboterhänden
- Einsatz bei der autonomen Greifplanung

Cutkosky Grifftaxanomie

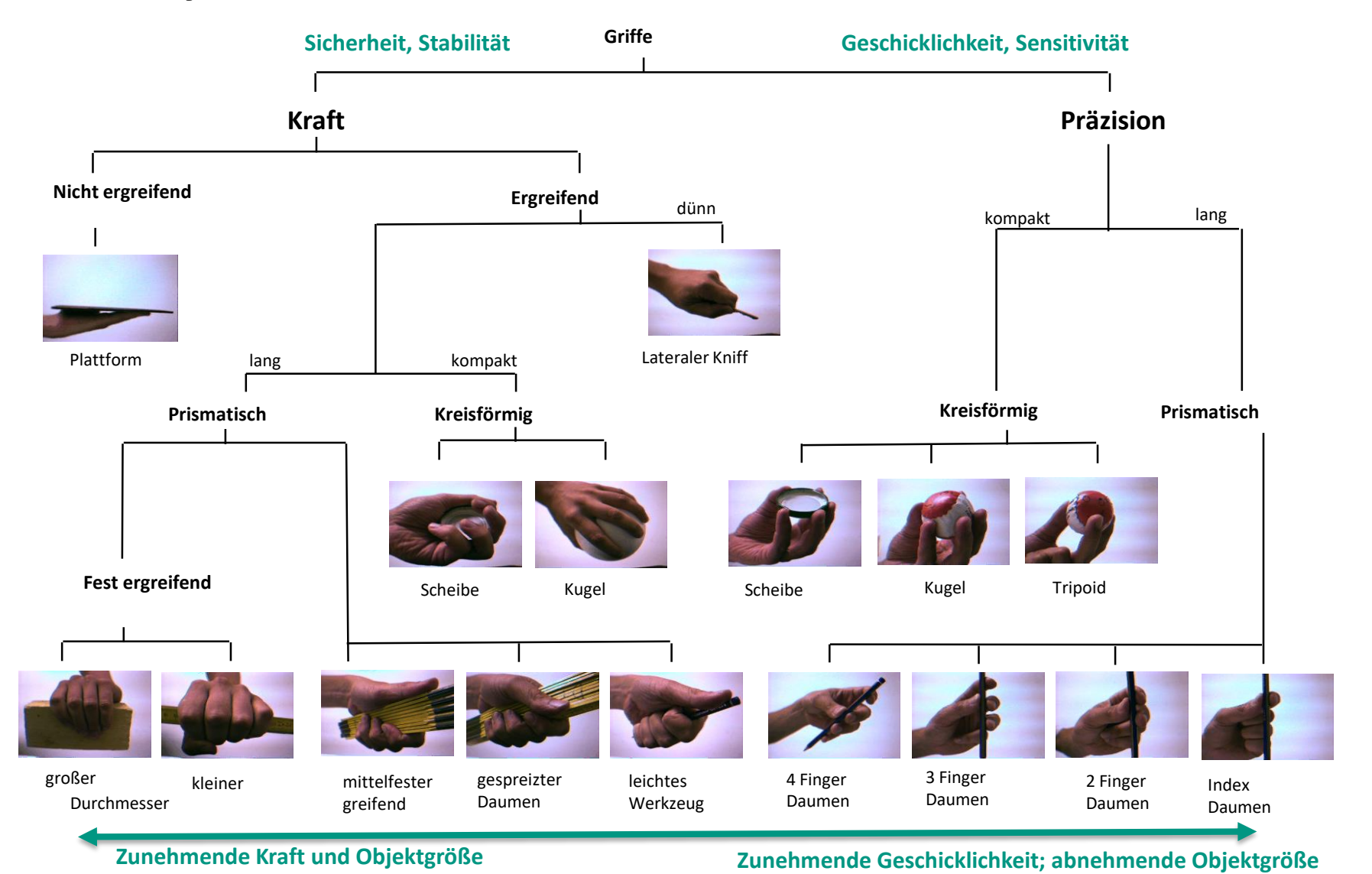
- 16 einzelne Griffarten
- Hierarchiebaum: Griffarten werden zu Gruppen zusammengefasst
- Erste Ebene: Unterscheidung in Kraft- und Präzisionsgriffe

Mark Cutkosky, On Grasp Choice, Grasp Models, and the Design of Hands for Manufacturing Tasks. IEEE Transactions on Robotics and Automation, vol. 5, no. 3, pp. 269 – 279, 1989



Cutkosky Grifftaxanomie



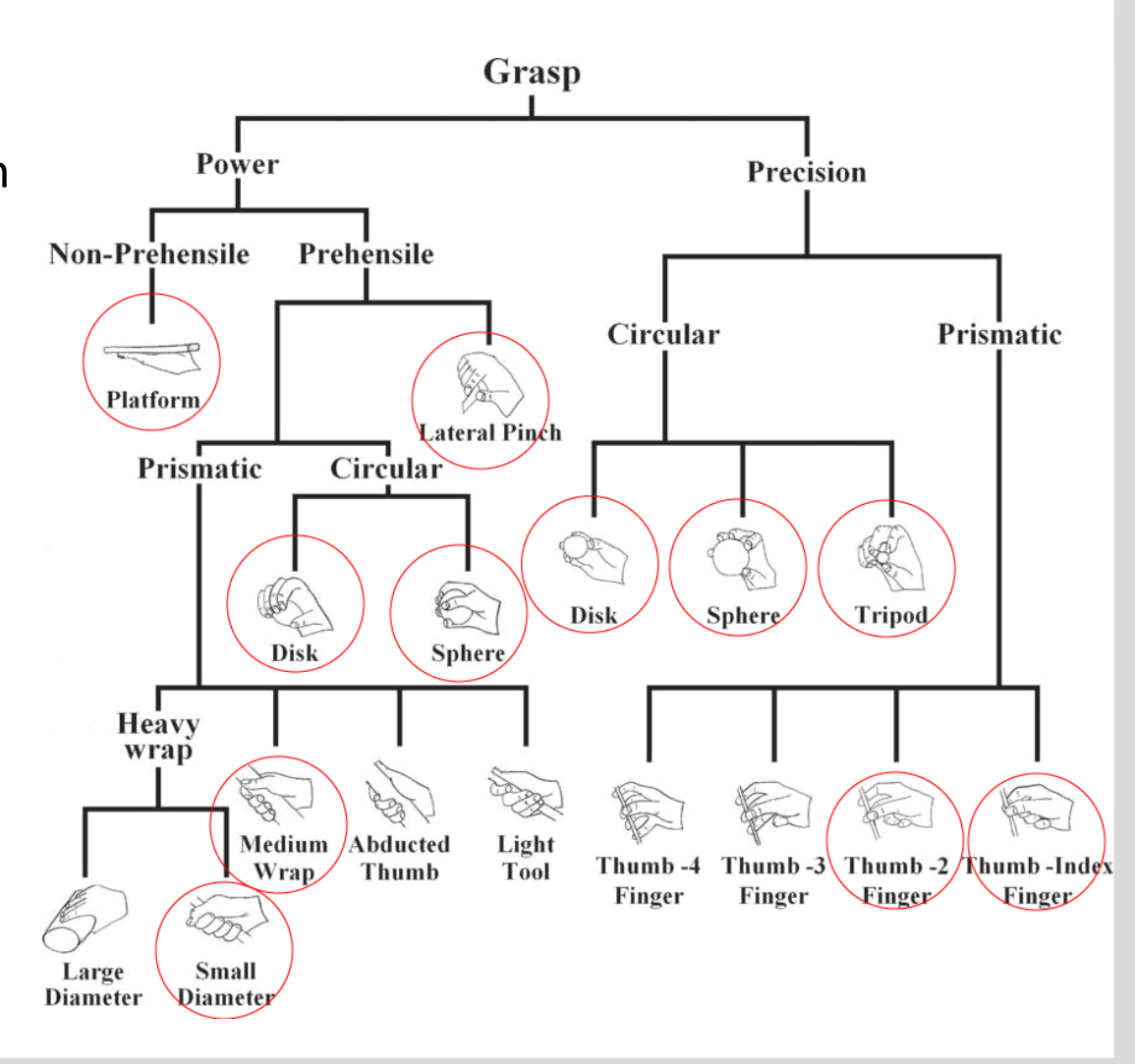


Cutkosky Grifftaxanomie



- Kraft- und Präzisionsgriffe
- Aus der Beobachtung von Aktivitäten von Mechanikern
- Fokus auf die Verwendung von Werkzeugen

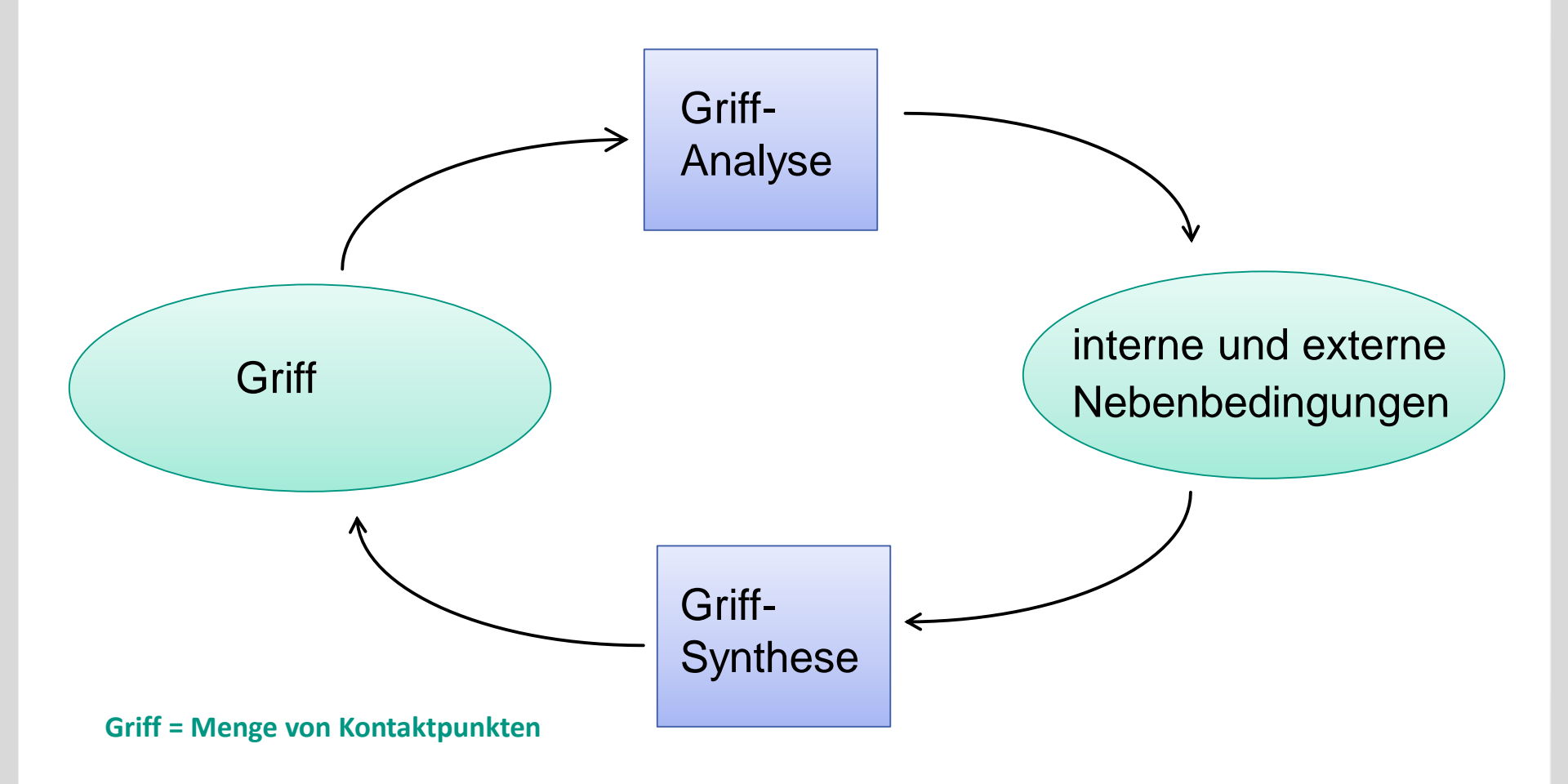
Mark Cutkosky, On Grasp Choice, Grasp Models, and the Design of Hands for Manufacturing Tasks. IEEE Transactions on Robotics and Automation, vol. 5, no. 3, pp. 269 – 279, 1989





Greifanalyse und Greifsynthese





K.B. Shimoga, Robot Grasp Synthesis Algorithms: A Survey. The International Journal of Robotics Research June 1996 15: 230-266



Greifanalyse und Greifsynthese



Griff

■ Eine Menge von Kontaktpunkten auf der Oberfläche eines Objekts, die potentielle Bewegungen des Objekts unter dem Einfluss externer Kräfte einschränken/kompensieren

Greifanalyse

- Gegeben: Objekt und eine Menge von Kontaktpunkten
- Gesucht: Aussagen zur Stabilität des Griffs unter Berücksichtigung von Nebenbedingungen

Greifsynthese

- **Gegeben:** Objekt und eine Menge von Nebenbedingungen
- Gesucht: Eine Menge von Kontaktpunkten



Wichtige Faktoren für die Generierung von Griffen bzw. Griffhypothesen



- Handkinematik
- Griffrepräsentation
- A Priori Objektwissen
- Greifsynthese: analytisch, datengetrieben
- Verfügbare Merkmale: 2D, 2,5D 3D, visuell, haptisch, ...
- Aufgabe



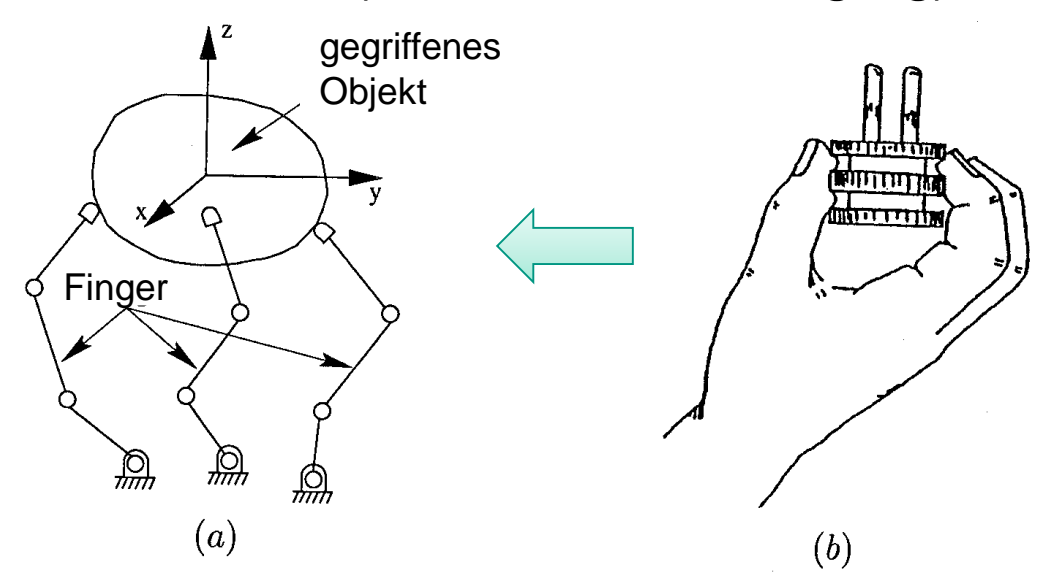
Jeannette Bohg, Antonio Morales, Tamim Asfour, Danica Kragic, *Data-Driven Grasp Synthesis - A Survey.* IEEE Tran. on Robotics, pp. 289-309, vol. 30, no. 2, 2014



Fingerspitzengriff - Modell



- Das Fingerspitzengriff-Modell vereinfacht die Algorithmen zur Synthese möglicher Griffe eines Objektes, da nur eine geeignete Anordnung der Kontaktpunkte auf der Oberfläche der zu greifenden Objektes bestimmt werden muss.
- Ein gravierender Nachteil liegt in der Nichtbeachtung fundamentaler Nebenbedingungen des Greifvorgangs, wie z.B. der Kollisionsfreiheit und Zugänglichkeit eines Griffes (Anfahr-/Abrückbewegung).





Fingerspitzenkontakte mit der Objektoberfläche



Man unterscheidet verschiedene Fingerspitzenkontakte zur Objektoberfläche mit folgenden Annahmen:

Punktkontakt ohne Reibung

Eine an einem Punktkontakt ohne Reibung auf eine Fläche eines Objektes angreifende Kraft wirkt ausschließlich **normal** zur Fläche

Starrer Punktkontakt mit Reibung

Eine an einem starren Punktkontakt mit Reibung auf eine Fläche eines Objektes angreifende Kraft wirkt sowohl **normal** als auch **tangential** zur Fläche. Die beiden Kräfte sind über das Coulombsche Reibungsgesetz miteinander verknüpft

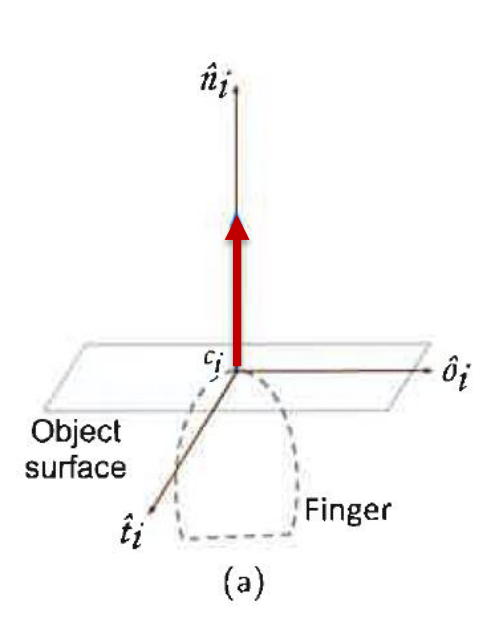
Nicht starrer Punktkontakt mit Reibung (Soft-Kontakt)

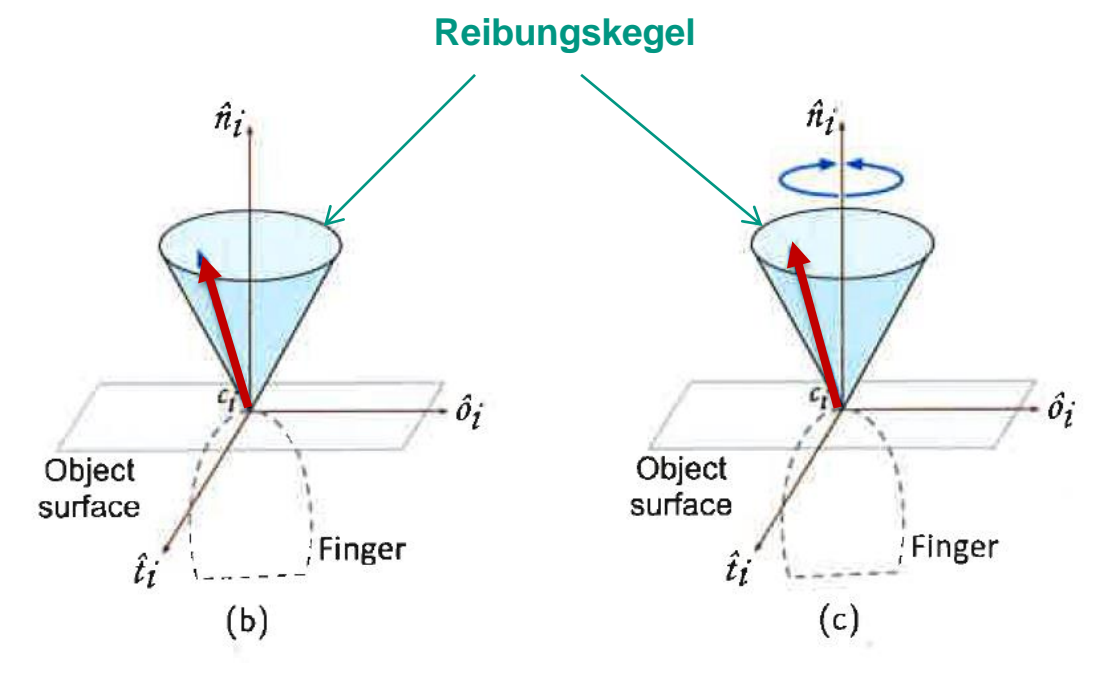
Eine an einem nicht starren Punktkontakt mit Reibung auf eine Fläche eines Objektes angreifende Kraft wirkt sowohl **normal** als auch **tangential**. Zusätzlich wirken auch **axiale** Momente. Es gilt ebenfalls das Coulombsche Reibungsgesetz



Kontaktmodelle





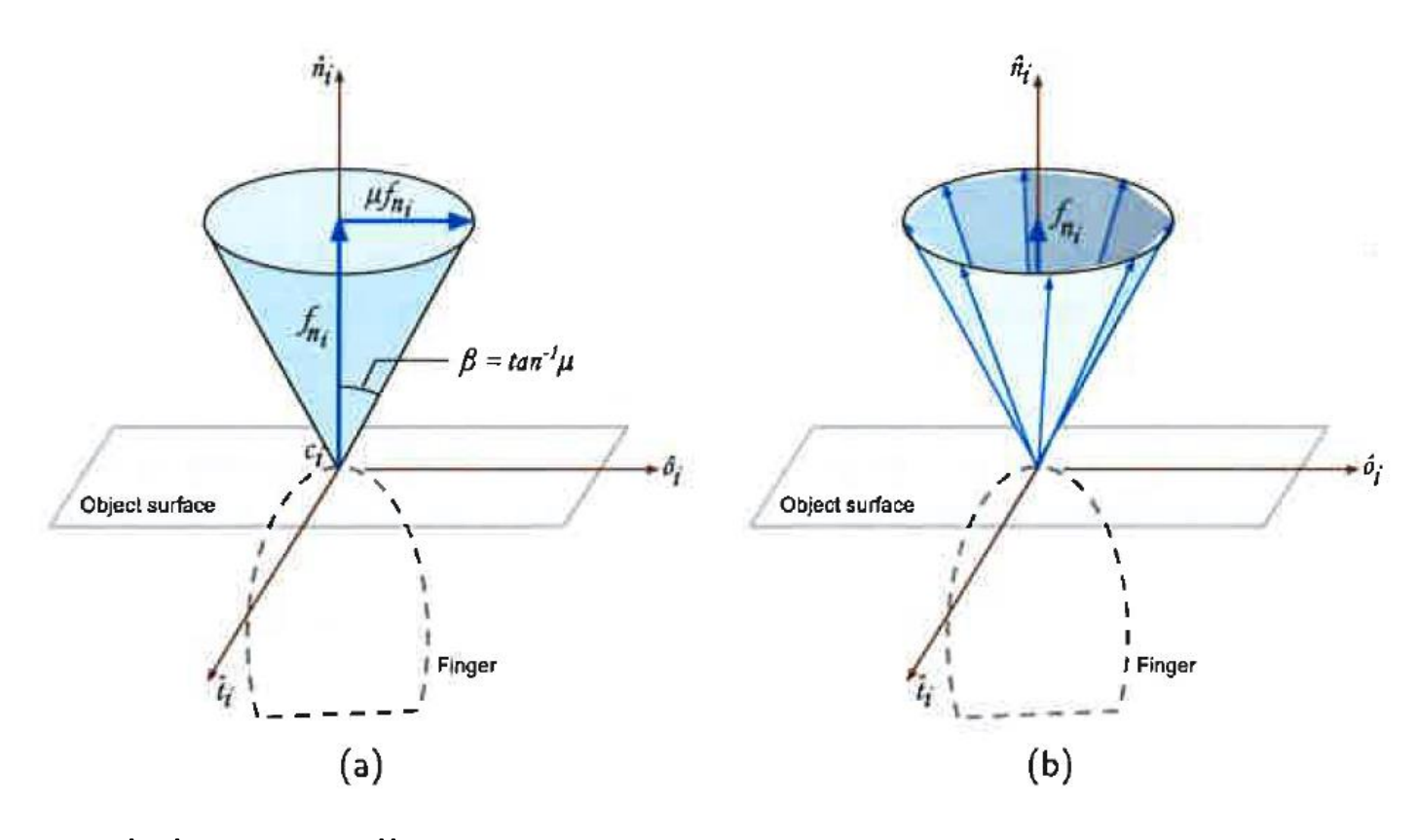


- a) Kontakt ohne Reibung (existiert nicht in der Robotik!)
- b) Kontakt mit Reibung
- c) Soft-Kontakt



Approximation des Reibungskegels





- a) Kontinuierliche Darstellung
- b) Approximierte Darstellung durch das einbeschriebene Polyeder



Wrenchvektor



Wrenchvektor

Die in einem Kontaktpunkt p_i wirkenden Kräfte f_i und Momente τ_i mit $i \in \{x, y, z\}$ können zu einem Vektor zusammen gefasst werden. Solch ein Vektor wird im folgenden als **Wrenchvektor** w bezeichnet (wrench: engl.: drehen, winden).

Für diesen gilt:

- für einen planaren Griff: $\mathbf{w} = (f_x, f_y, f_z)^T \in \mathbb{R}^3$
- für einen räumlichen Griff: $\mathbf{w} = (f_x, f_y, f_z, \tau_x, \tau_y, \tau_z)^T \in \mathbb{R}^6$

Wrenchvektor



- In Abhänigkeit vom Typ des i-ten Kontaktpunktes folgen Wrenchvektoren, welche die am Kontaktpunkt wirkenden **normalen** (n) und **tangentialen** (t) Kräfte und die am Kontaktpunkt wirkenden **axialen Momente** (θ) beschreiben
- Diese werden im folgenden mit iw_n , iw_t , ${}^iw_\theta$ bezeichnet. Die dazu korrespondierenden Skalare werden durch ic_n , ic_t , ${}^ic_\theta$ spezifiziert.



Greifmatrix



Die Wrenchvektoren können für einen räumlichen Griff als Spalten-vektoren einer 6 x 3m Matrix G dargestellt werden:

$$G = \begin{bmatrix} {}^{1}\boldsymbol{w}_{n}, {}^{1}\boldsymbol{w}_{t}, {}^{1}\boldsymbol{w}_{\theta}, \cdots, {}^{m}\boldsymbol{w}_{n}, {}^{m}\boldsymbol{w}_{t}, {}^{m}\boldsymbol{w}_{\theta} \end{bmatrix} \in R^{6x3m}$$

m ist die Anzahl der Kontaktpunkte

Die Matrix *G* repräsentiert die geometrischen und physikalischen Eigenschaften eines Fingerspitzengriffes und wird im folgenden als **Greifmatrix** bezeichnet.

Für die Skalare erhält man den Vektor:

$$\vec{c} = ({}^{1}c_{n}, {}^{1}c_{t}, {}^{1}c_{\theta}, \cdots {}^{m}c_{n}, {}^{m}c_{t}, {}^{m}c_{\theta}) \in R^{3m}$$



Gleichgewichtsgriff



Ein Griff wird als **Gleichgewichtsgriff** bezeichnet, wenn die Summe aller Kräfte f_i und Momente τ_i , die auf das gegriffene Objekt wirken, gleich Null ist.



Definition



Ein durch eine Greifmatrix G spezifizierter Griff, auf den eine externe Kraft und ein externes Moment $\mathbf{e} = (f_x, f_y, f_z, \tau_x, \tau_y, \tau_z)^T \in R^6$ ausgeübt werden, wird als Gleichgewichtsgriff bezeichnet, falls:

1.
$$\forall i \in \{1, \dots, m\}$$
 : ${}^{i}c_{n} \ge 0$, ${}^{i}\mu_{t} * {}^{i}c_{n} \ge |{}^{i}c_{t}|$, ${}^{i}\mu_{\theta} * {}^{i}c_{n} \ge |{}^{i}c_{\theta}|$

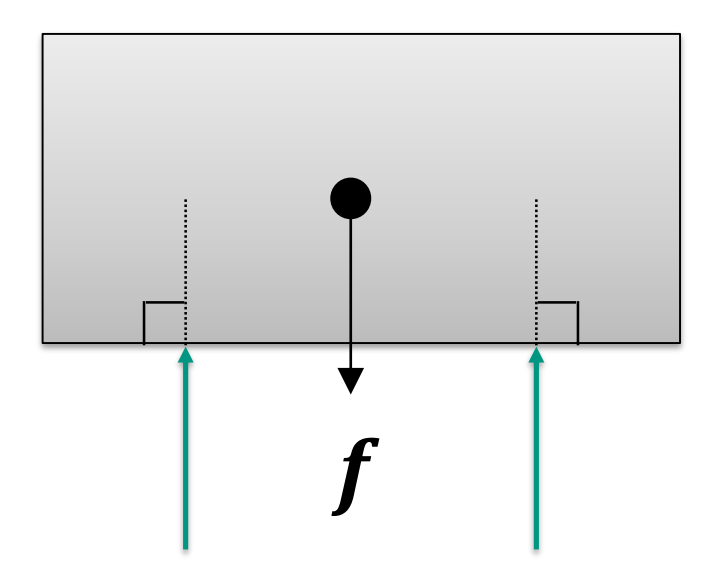
2.
$$\exists c \in R^{3m}, c \neq 0 : G.c + e = 0$$

 ${}^i\mu_t, \ {}^i\mu_\theta \in R$ bezeichnen die Coulombschen Reibungskoeffizienten am i-ten Kontaktpunkt, die die Größe der wirkenden Tangentialkräfte bzw. axialen Momente in Abhängigkeit vom Betrag der wirkenden korrespondierenden Normalkräfte nach oben begrenzen.



Beispiel





Gleichgewichtsgriff eines Objektes basierend auf zwei starren Punktkontakten ohne Reibung

Auf das Objekt wirkt eine am Objektschwerpunkt angreifende externe Kraft $m{f}$



Kraftgeschlossene Griffe



- Während der Transferbewegung und der Ausführung einer Greifoperation ist ein gegriffenes Objekt verschiedenen externen Kräften und Momenten ausgesetzt.
- Die Stabilität eines Griffes erfordert, dass das gegriffene Objekt im Kräftegleichgewicht bleibt. Dies bedeutet, dass die Kräfte und Momente, die durch die Greiferfinger auf das gegriffene Objekt ausgeübt werden, sämtliche externen Kräfte und Momente kompensieren müssen.
- Sind die externen Kräfte wie z.B. Störkräfte im voraus nicht bekannt, bietet sich das kraftgeschlossene Greifen zur Erreichung eines stabilen Griffes an.



Kraftgeschlossene Griffe



 \blacksquare Ein durch eine Greifmatrix G spezifizierter Griff ist kraftgeschlossen, falls:

$$\forall \mathbf{e} = (f_x, f_y, f_z, \tau_x, \tau_y, \tau_z)^T \in R^6$$

$$\exists c \in R^{3m}, c \neq 0$$
 : $G.c + e = 0$

Anzahl benötigter Kontaktpunkte



- Für die minimale Anzahl der benötigten Kontaktpunkte eines kraftgeschlossenen Fingerspitzengriffes gilt folgendes:
 - Kraftgeschlossenheit basierend auf Punktkontakten ohne Reibung Vorausgesetzt, dass das zu greifende Objekt keine Rotationssymmetrie besitzt, benötigt ein planarer, kraftgeschlossener Griff mindestens 4 Kontaktpunkte. Werden beliebige 3D-Objekte betrachtet, so werden höchstens 12 Kontaktpunkte benötigt. Wird die Klasse der zu greifenden Objekte auf Polyeder eingeschränkt, so gilt eine generelle obere Grenze von 7 Kontaktpunkten.
 - Kraftgeschlossenheit basierend auf Punktkontakten mit Reibung

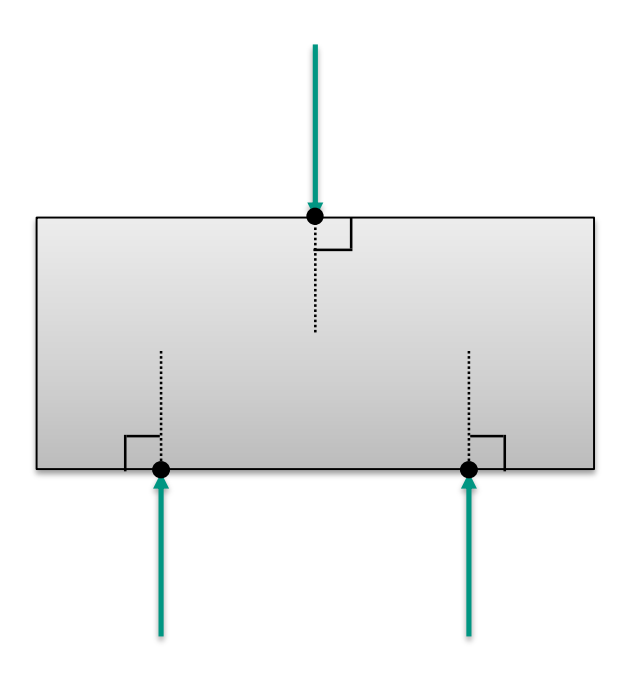
 Jedes planare Objekt kann durch einen auf 3 Kontaktpunkten basierenden

 Fingerspitzengriff kraftgeschlossen gegriffen werden. Für den räumlichen Fall gilt eine untere Grenze von 4 Kontaktpunkten.



Beispiel





Kraftgeschlossener Griff eines Objektes basierend auf drei nicht starren Punktkontakten mit Reibung.



Formgeschlossene Griffe



- Ein formgeschlossener Griff unterliegt stärkeren Einschränkungen als ein kraftgeschlossener Griff, da für jeden Kontaktpunkt ausschließlich die Nichtdurchdringungseigenschaften co-linear zum korrespondierenden externen Oberflächen-Normalvektor berücksichtigt werden.
- Somit ist die Formgeschlossenheit eines Griffes nur von der Position der Kontaktpunkte auf der Oberfläche des zu greifenden Objektes und den korrespondierenden externen Oberflächen-Normalvektoren abhängig.
- Es werden weder Normal- oder Tangentialkräfte noch Drehmomente, die u.a. aufgrund von Reibung auftreten könnten, berücksichtigt.



Formgeschlossene Griffe



Die zu den Kontaktpunkten korrespondierenden externen Oberflächen-Normalvektoren spezifizieren die Kontaktgeometrie des Fingerspitzengriffs. Diese kann durch folgende modifizierte Greifmatrix $\hat{G} \in \mathbb{R}^{3xm}$ ausgedrückt werden:

$$G = \begin{bmatrix} 1 w_n, & 2 w_n, & \cdots & m w_n \end{bmatrix}$$

Für einen formgeschlossenen, planaren Griff sind **mindestens 4 Kontaktpunkte** erforderlich. Bei beliebigen, 3D Objekten erhöht sich die Anzahl auf wenigstens **7 Kontaktpunkte**.



Definition



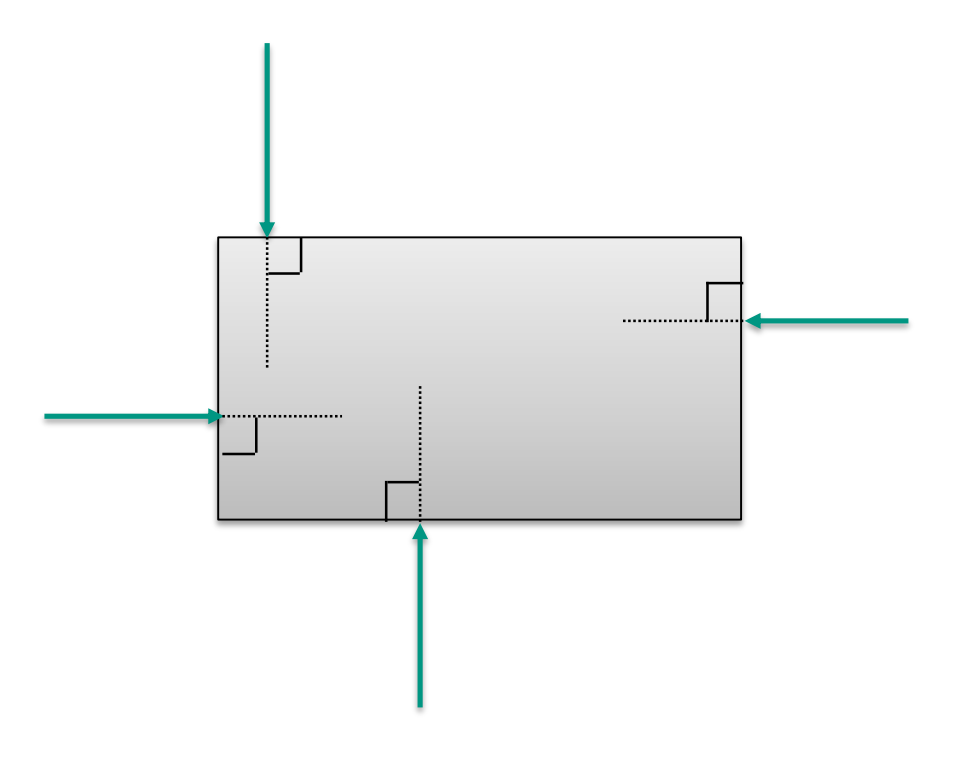
■ Ein durch eine modifizierte Greifmatrix G' spezifizierter Griff ist **formgeschlossen**, falls:

$$\forall \mathbf{e} = (f_x, f_y, f_z, \tau_x, \tau_y, \tau_z)^T \in R^6$$

$$\exists c \in R^6$$
: $\acute{G} \cdot c + e = 0$

Beispiel





Formgeschlossener Griff eines Objekts



Kraft- und Formschlüssige Griffe



- Kraftschluss: Die Kinematik der Hand kann aktiv Kräfte erzeugen, um einer externen Störung zu widerstehen
- Formschluss: Die Kontakte an sich verhindern, dass sich das Objekt bewegen kann
- Formschluss ist eine stärkere Bedingung als Kraftschluss und wird oft bei der Ausführung von Kraftgriffe (Power Grasps, siehe Cutkosky) verwendet
- Kraftschluss ist mit weniger Kontaktpunkten möglich und wird deshalb bei Präzisionsgriffen verwendet; erfordert jedoch eine Regelung der intern auftretenden Kräfte bei einem Griff.
- Die Analyse von formschlüssigen Griffen erfolgt basierend auf die Geometrie.



Stabile Griffe



- Bisher wurde vorausgesetzt, dass die Kontaktpunkte eines Griffes durch starre Greiferfinger hervorgerufen werden. In der Realität ist dies jedoch nicht der Fall und oft nicht wünschenswert.
- Zur Modellierung von Fingerkräften, die durch ihre Nachgiebigkeit kleine Änderungen von der Nominallage des gegriffenen Objektes kompensieren können, führt man eine Potentialfunktion V ein:

$$V \colon R^6 \to R$$

lacktriangle Die Potentialfunktion V spezifiziert die im Griff gespeicherte potentielle Energie in Abhängigkeit von Lage und Orientierung des gegriffenen Objektes.

Definition



Wird die in einem Gleichgewichtsgriff eines Objektes gespeicherte potentielle Energie über eine Potentialfunktion V spezifiziert und beschreibt $\delta q = (\delta_x, \delta_y, \delta_z, \delta_\alpha, \delta_\beta, \delta_\gamma) \in R^6 \neq 0$ eine infinitesimale Lageänderung des gegriffenen Objektes und δV die daraus resultierende Veränderung der potentiellen Energie, so ist der Griff stabil, falls:

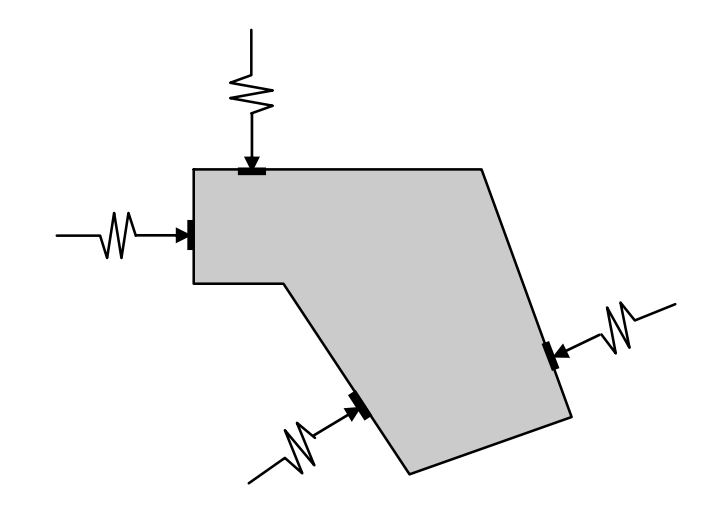
$$\forall \delta q \in R^6 : \delta V > 0$$

Berücksichtigt man obige Definition, so wird ein Gleichgewichtsgriff eines Objektes als instabil klassifiziert, wenn eine infinitesimale Lageänderung existiert, für die die daraus resultierende Veränderung der potentiellen Energie kleiner als Null ist.

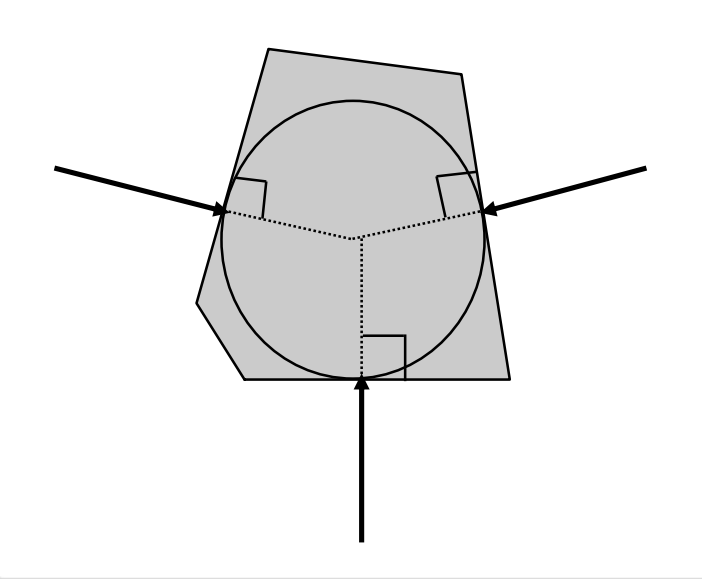


Beispiele





Stabiler und kraftgeschlossener Griff eines Polygons basierend auf 4 nicht starren Punktkontakten mit Reibung

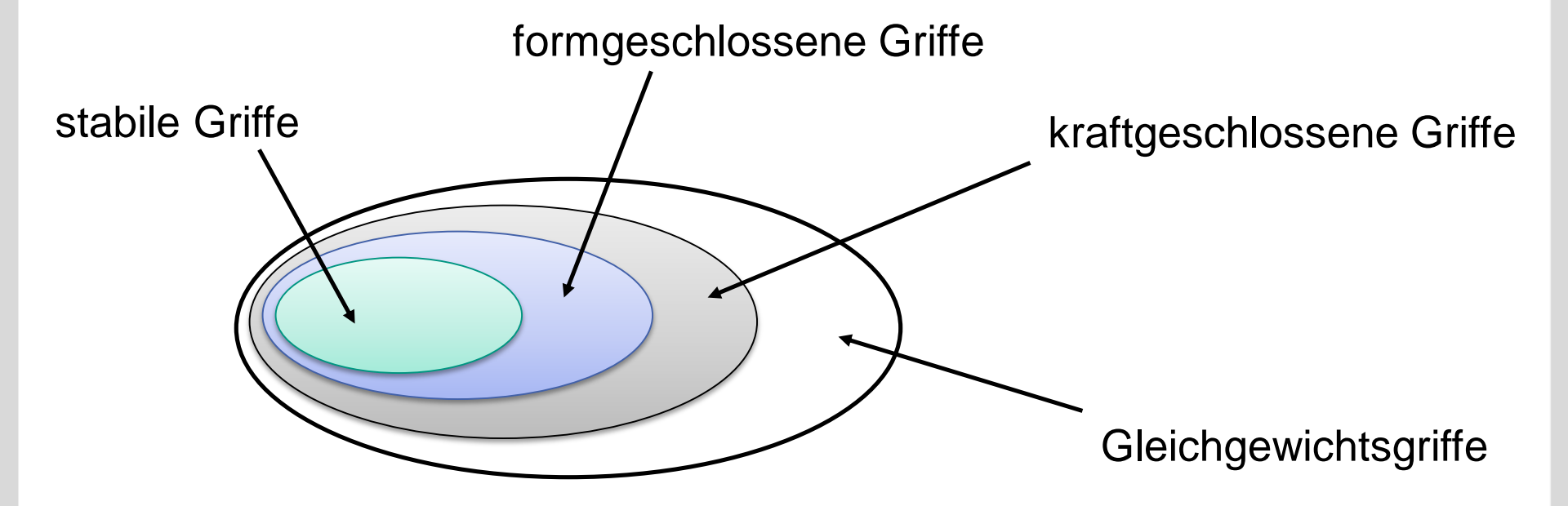


Stabiler Dreiecksgriff eines Polygons, der jedoch nicht kraftgeschlossen ist



Mengentheoretische Darstellung der Griffhierarchie







Klassifikation von Greifplanungssystemen



Greifplanungssysteme können nach folgenden Kriterien klassifiziert werden:

- Kriterium 1: Typ des verwendeten Greifers (Zweifinger-, Dreifinger-, Mehrfingergreifer,...)
- Kriterium 2: Typ der zugrunde liegenden Greifplanungsalgorithmen. Geometrisch basiert (Berücksichtigung von CAD-Daten), physikalisch basiert (auftretende Kräfte und Momente),...
- Kriterium 3: Typ der zu greifenden Objekte (Polygone, Polyeder,...)
- Kriterium 4: Typ der zu manipulierenden Szenen. Deterministisch, d.h. Lage und Orientierung aller Objekte in der Szene bekannt oder nicht deterministisch
- Kriterium 5: Einsatz von Sensorik. Keine Sensorik, taktile Sensorik, visuelle Sensorik,...



Suchraum



- Soll ein zulässiger Griff geplant werden, so beträgt die Dimension des Suchraums für den physikalischen als auch für den geometrischen Ansatz $\mathbf{6} \,+\, \mathbf{n}$
 - 6 Parameter für die Position und Orientierung der Hand im Raum
 - n Anzahl der Konfigurationsparameter der Greiferfinger
- Bei einem Parallelbackengreifer hat der Suchraum die Dimension 7 (1 für den Greifer + 6)
- Bei der ARMAR-III Hand
 - Suchraum hat die Dimension 14 (8 für die Hand + 6)
- Menschliche Hand
 - Suchraum hat die Dimension 28 (22 für die Hand + 6)





Objektklassen für das Greifen



- Bekannte Objekte (known objects)
 - Bekannte Objektgeometrie (d.h. wir haben ein komplettes Objektmodell)
 - Ansatz: Verwende einen Greifplaner, der mit bekannten Objektgeometrien arbeitet
 - Domäne für klassische Greifplanung
 - Schwierig
- Bekannte Objektklasse (familiar objects)
 - Konkrete Objektgeometrie ist nicht bekannt (z.B. "Objekt ist vom Typ Flasche")
 - Ansatz: Übertrage Wissen von bekannten Klassenelementen auf das zu greifende Objekt
 - Schwieriger
- Unbekannte Objekte (unknown objects)
 - Weder Objektgeometrie, noch Objektklasse sind bekannt
 - Probleme (u.a.)
 - Verarbeiten von (unvollständigen) Sensordaten (Stereo Vision, RGB-D, Laserscans, haptische Daten)
 - Segmentierung des Objektes vom Hintergrund
 - Erstellen eines (teilweisen) Objektmodells
 - Ansätze (u.a.)
 - Sensorfusion
 - Objekt verschieben
 - Am schwierigsten!



Aktuelle Algorithmen zur Griffsynthese



- Voraussetzungen
 - Definition der Handkinematik
 - Kontaktmodell (meist: Punktkontakt mit Reibung)
 - Objektmodell (meist: vollständig bekannt)
- Algorithmen zur Greifsynthese bei bekannten Objekten
 - Übersichtsartikel:
 - J. Bohg, A. Morales, T. Asfour and D. Kragic, *Data-Driven Grasp Synthesis A Survey*, IEEE Transactions on Robotics, Vol. 30, No. 2, pp. 289 309, 2014
 - Randomisierte Verfahren mittels Vorwärtsplanung[Diankov 2010, Berenson et al. 2007, Vahrenkamp et al. 2011]
 - Griffsynthese auf Teilobjekten [Goldfelder et al. 2007, Huebner et. al 2008, ...]
 - Darstellung der Objekte durch (approximierte) Teilobjekte
 - Synthese von Griffen auf den Objektteilen

Greifplanung über die Mediale Achse [Przybylski et al. 2010]

- Griffsynthese basierend auf Eigengrasps [Bicchi et al. 2011]
- Greifplanung Independent Contact Regions [Roa et al. 2009]
- **...**



Griffsynthese durch Vorwärtsplanung



Ansatz

- Planung in Simulation
- Bestimmung von Anfahrtspunkt und Anfahrtsrichtung
- Hand nähert sich dem Objekt, bis es zu ein Kontakt detektiert wird
- Finger schließen sich um das Objekt, bis Kontakt hergestellt ist
- Evaluation der Kontakte zwischen Hand und Objekt
 - Interessant: Ist der Griff kraftgeschlossen (force-closure)?

Vorteile

- Vorwärtsplanung ist ähnlich zur Ausführung eines Griffs auf einem realen Roboter
- Griffe, die erfolgreich in der Simulation evaluiert wurden, können mit hoher Wahrscheinlichkeit auch mit einem realen Roboter durchgeführt werden



Griffsynthese durch Vorwärtsplanung



Algorithmus

 Lade Hand- und Objektmodell in eine Simulationsumgebung



- Bestimme N\u00e4herungsrichtung der Hand zum Objekt
- Bestimme Orientierung der Hand
- Bestimme Handkonfiguration (beginnend mit der geöffneten Hand)
- Nutze Heuristiken für die Erzeugung von Griffkandidaten (Reduktion des Suchraumes)

Evaluation der Griffkandidaten

- Bewege die Hand entlang der Näherungsrichtung bis zu Kontakt mit dem Objekt
- Schließe die Hand bis Kontakt mit dem Objekt
- Bestimme die Kontaktpunkte
- Bestimme die Griffqualität (Kraftschluss-Metrik)







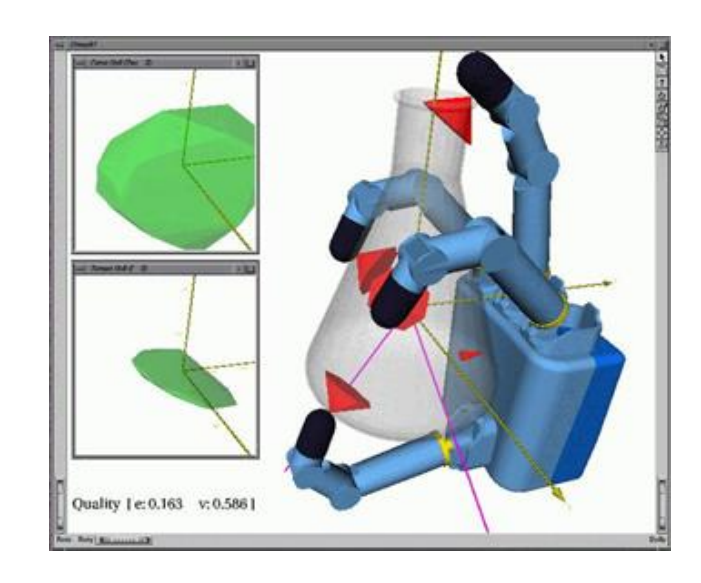
Griffqualität (Kraftschluss-Metrik)



Prinzip: Wie gut kann ein Griff externen Kräften widerstehen?

Ansatz

- Bestimme Kontaktpunkte und Kontaktnormalen zwischen Hand und Objekt
- Bestimme den Reibungskegel an jedem Kontaktpunkt (Öffnungswinkel des Kegels hängt von den Reibungskoeffizienten ab)
- Berechne den Grasp Wrench Space (GWS, 6D) als konvexe Hülle über alle Reibungskegel
- Die minimale Distanz vom Zentrum zum Rand des GWS ist ein Maß für die Stabilität des Griffs



Rot: Reibungskegel

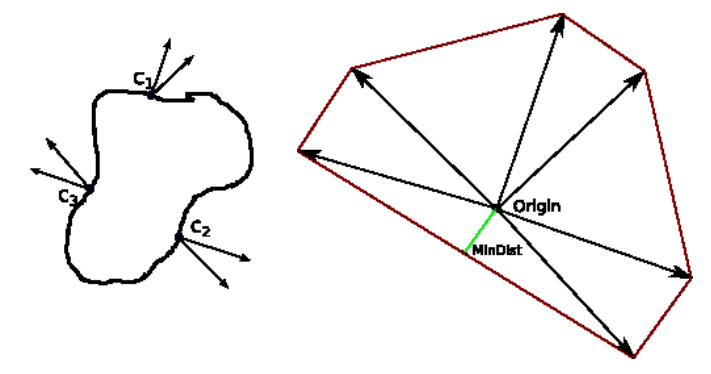
Grün: Projektionen des GWS



Grasp Wrench Space

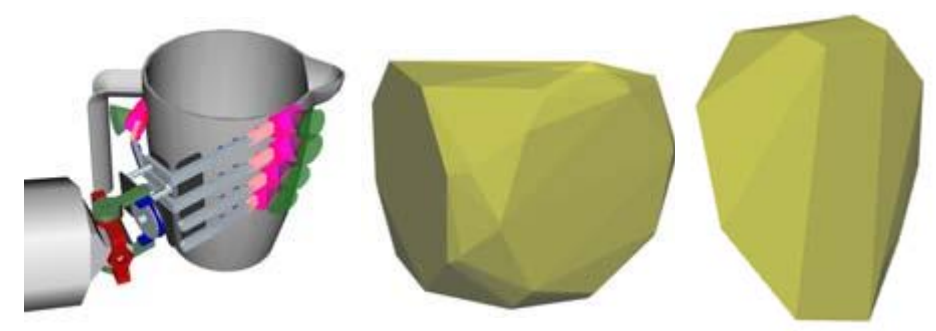


Grasp Wrench Space (GWS): Konvexe Hülle über die Vereinigung aller Kontakt-Wrenches



2D Beispiel mit 3 Kontakten (Kraft)

- Qualitätsmaß
 - Kraftschluss (force closure):GWS enthält Ursprung
 - Volumen (V): Volumen des GWS
 - Epsilon (ϵ): größter einschließende Kugel, bzw. kleinste Distanz ϵ vom Ursprung zum Rand des GWS



Visualisierungen des GWS für einen Griff

N. Vahrenkamp, T. Asfour and R. Dillmann, Simultaneous Grasp and Motion Planning, IEEE Robotics and Automation Magazine, Vol. 19, No. 2, pp. 43 - 57, June, 2012

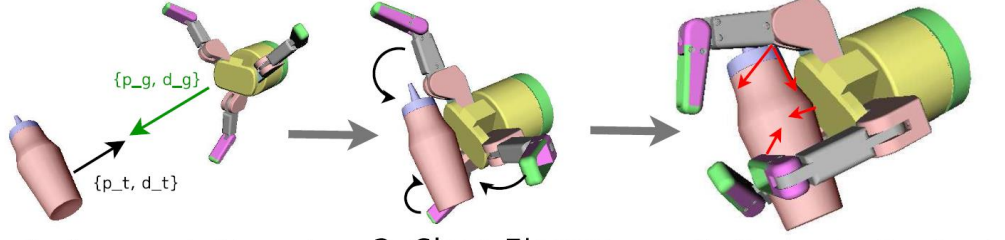


Zufallsbasierte Vorwärts-Greifplanung



Ablauf

- 1. Randomisierte Erzeugung von Greifhypothesen
 - Position und Orientierung der Hand (bzgl. des Objektes)
 - Konfiguration der Finger
- Kontaktermittlung
- 3. Evaluation der Hypothesen
 - Kraftschluss
 - Kollision
 - Robustheit



1. Approach Target

2. Close Fingers

3. Compute Contacts

R. Diankov, *Automated construction of robotic manipulation programs*, Ph.D. dissertation, Carnegie Mellon University, Robotics Institute, Aug 2010.

Dmitry Berenson, Rosen Diankov, Koichi Nishiwaki, Satoshi Kagami, and James Kuffner, *Grasp Planning in Complex Scenes*, IEEE-RAS International Conference on Humanoid Robots (Humanoids07), December, 2007.

N. Vahrenkamp, M. Kröhnert, S. Ulbrich, T. Asfour, G. Metta, R. Dillmann and G. Sandini, *Simox: A Robotics Toolbox for Simulation, Motion and Grasp Planning*, International Conference on Intelligent Autonomous Systems (IAS), pp. 585 - 594, 2012



Zufallsbasierte Vorwärts-Greifplanung (II)

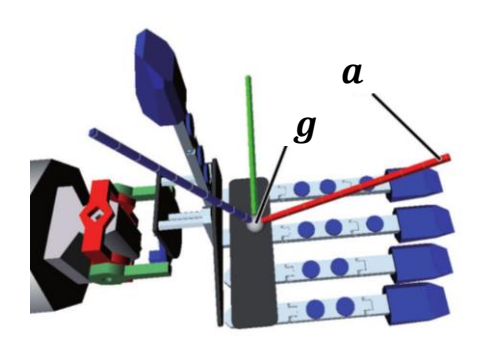


Handmodell

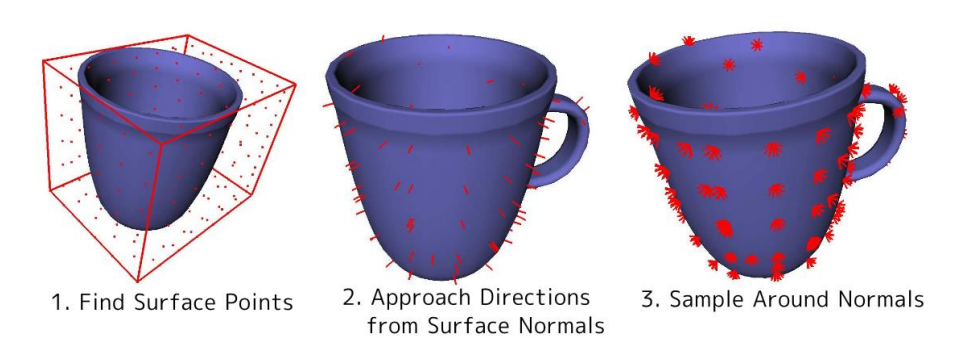
- Grasp Center Point (GCP)
 - Definiert das Zentrum g sowie die Anfahrtsrichtung a für einen Grifftyp

Erzeugung von Greifhypothesen

- Bestimmung der Anfahrtsrichtung:
 - Zufällige Auswahl eines Oberflächenpunktes $oldsymbol{p}$
 - Ermittlung der Oberflächennormalen n



GCP Definition der ARMAR-III Hand für einen Kraftgriff



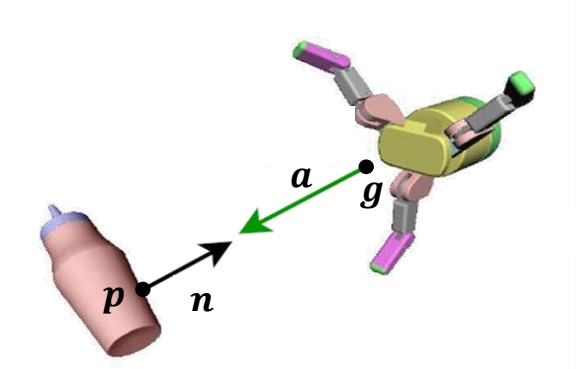


Zufallsbasierte Vorwärts-Greifplanung (III)

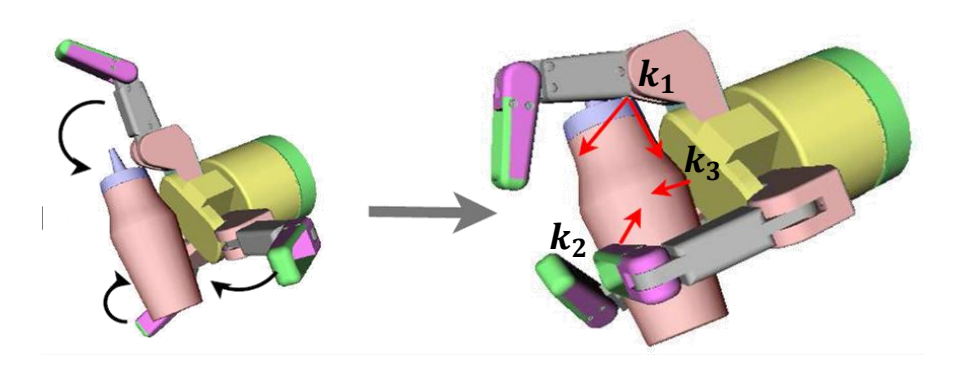


Bestimmung der Greifhypothese

- Positionierung der Hand
 - Position der Hand: g liegt auf Halbgerade,
 welche durch p und n definiert wird
 - Ausrichtung der Handorientierung, so dass
 a und n kollinear sind.
 Der freie Parameter (Orientierung um a) wird zufällig gewählt.



- Kontaktermittlung
 - Bewegung der Hand entlang $m{a}$ zum Objekt
 - Schließen der Finger
 - Ermittlung von n Kontaktpunkten $k_1, ..., k_n$





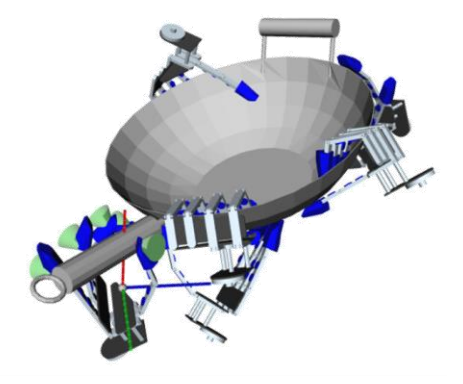
Zufallsbasierte Vorwärts-Greifplanung (III)

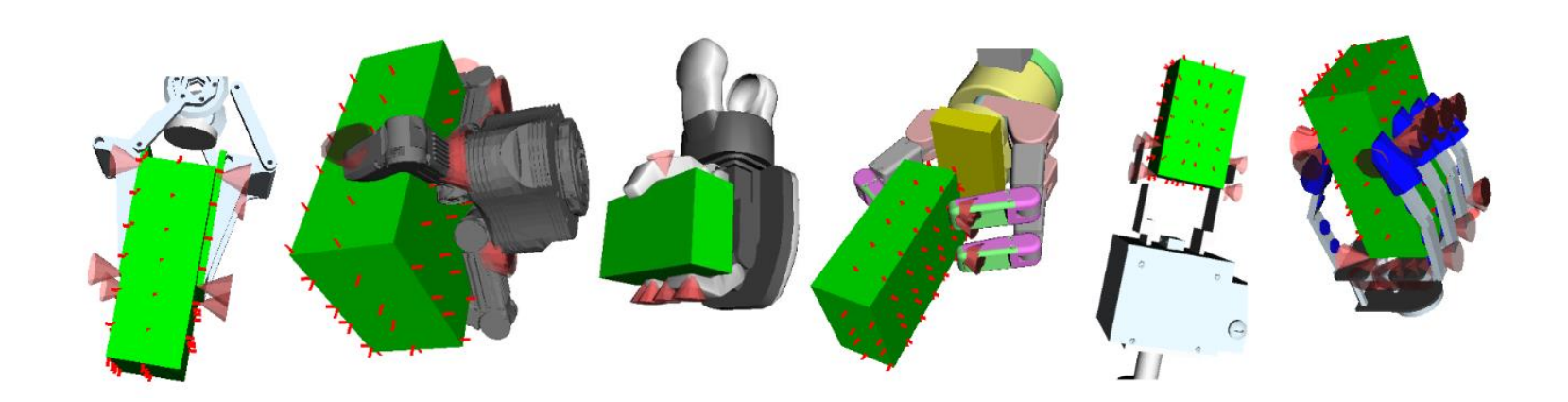


Analyse der Greifhypothese

- Kontaktpunkte k_1 , ..., k_n werden analysiert
 - Kraftschluss
 - Griffqualität ($V, \epsilon, ...$)
- Valide Griffe werden gespeichert
- Greifhypothesen mit unzureichenden Eigenschaften werden verworfen







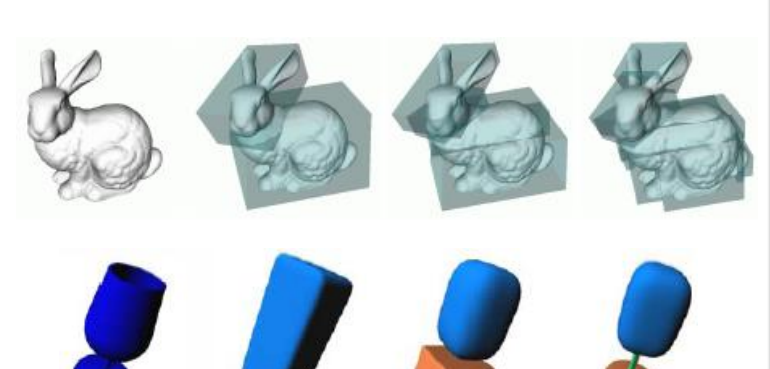


Griffsynthese auf Teilobjekten

Karlsruhe Institute of Technology

- Frage: Wie können gute Griffkandidaten erzeugt werden?
- Ansätze für verschiedene Unterteilungsverfahren
 - Formprimitive (shape primitives)
 Manuelle Unterteilung in Primitive
 (z.B. Boxen, Zylinder, Kugeln, Kegel etc.)
 - Box decompositionAutomatische Unterteilung (nur Boxen)
 - SuperquadrikenAutomatische Unterteilung
 - Mediale-Achse-Transformation Nur Kugeln
 - Oberflächennormalen









Greifplanung mit Formprimitiven (I)



 Objekte werden durch einfache Formprimitive (shape primitives) dargestellt





- Für jedes Formprimitiv sind unterschiedliche Greifstrategien vordefiniert. (inklusive Startpunkt und Anrückrichtung)
- Vorwärtssimulation des Greifprozesses:
 - Der Startpunkt definiert die initiale Greiferposition
 - Basierend auf der Anrückrichtung wird der Greifer zum Objekt bewegt bis ein Kontakt ermittelt wird
 - Kontaktpunkte werden durch Schließen des Greifers bestimmt
 - Evaluation der Kontakte über den GWS Ansatz

A. T. Miller, S. Knoop, H. I. Christensen, and P. K. Allen, *Automatic Grasp Planning Using Shape Primitives*, in IEEE Int. Conf. On Robotics and Automation (ICRA), 2003, pp. 1824–1829.

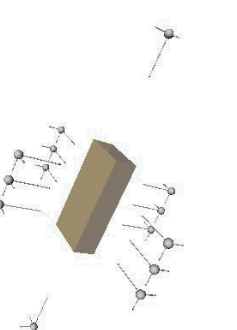


Greifplanung mit Formprimitiven (II)

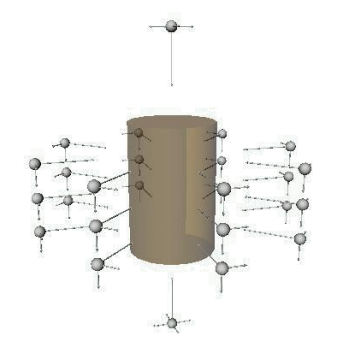


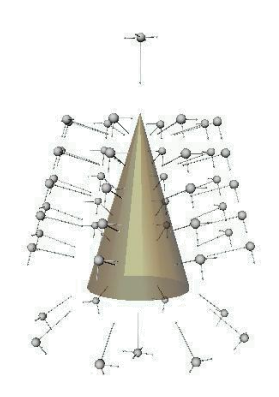
Greifstrategien

- Box
- Kugel
- Zylinder
- Kegel









Parameter

- Anzahl paralleler Unterteilungen (Boxen, Seiten von Zylinder und Kegel)
- Anzahl Kreisunterteilungen (Kugel, Seiten von Zylinder und Kegel)
- Anzahl Handorientierungen (um die Anfahrtsrichtung)
- Spiegelung der Griffe (bei seitensymmetrischen Primitiven)
- Die Parameter werden automatisch aus den Objektdimensionen bestimmt.



Greifplanung mit Formprimitiven (III)



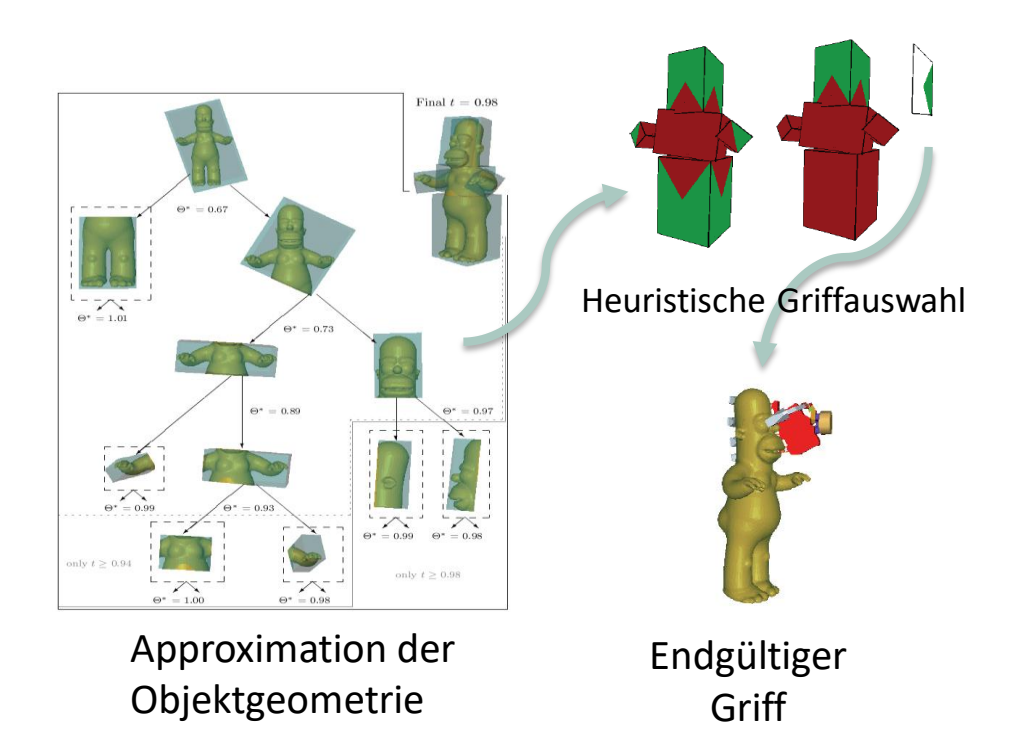
Ergebnisse



Greifen bekannter Objekte: Ein Box-basierter Ansatz



- Approximation der Objektgeometrie durch Boxen (box decomposition)
- Griffhypothesen für Boxen erzeugen
- Evaluation der Griffhypothesen in GraspIt!





Greifen bekannter Objekte: Ein Box-basierter Ansatz



- Haushaltsobjekte mit bekannter Geometrie
 - Aus der KIT object models database http://h2t-projects.webarchiv.kit.edu/Projects/ObjectModelsWebUI/
 - Objektrepräsentation
 - 3D Punktwolken (Stereo vision, mehrere Objektansichten)
 - (Texturierte) Meshes
- Approximation der Objektgeometrie durch Box Decomposition
 - Effizienter Minimum Volume Bounding Box (MVBB) Algorithmus [Barequet and Har-Peled, 2001]
 - Basierend auf Punktwolken

K. Huebner, S. Ruthotto and D. Kragic, *Minimum Volume Bounding Box Decomposition for Shape Approximation in Robot Grasping* In 2008 IEEE International Conference on Robotics and Automation (ICRA 2008)

Huebner, K., Welke, K., Przybylski, M., Vahrenkamp, N., Asfour, T., Kragic, D., and Dillmann, R. *Grasping Known Objects with Humanoid Robots: A Box-Based Approach*. In 14th International Conference on Advanced Robotics, 2009



Unterteilungsalgorithmus: Von Punkten zu Boxen











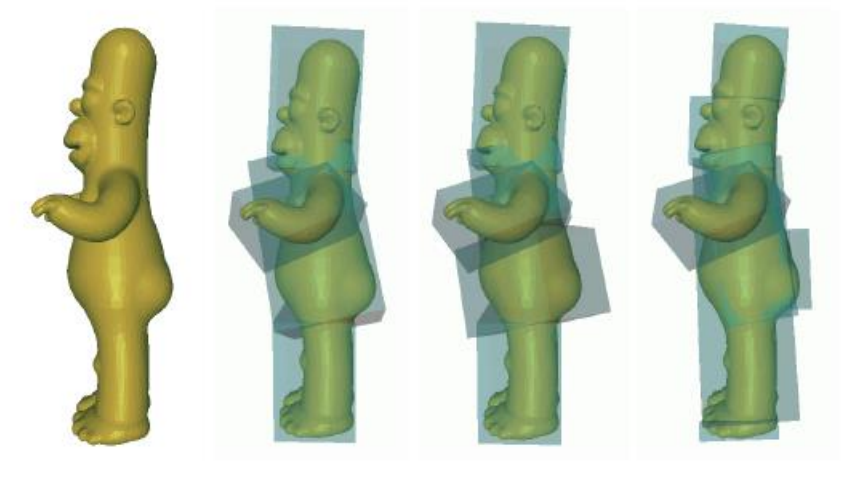




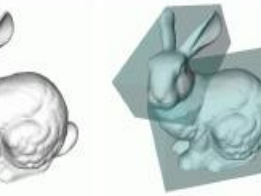




(a) Mug (model): MVBBs (2,3,5) produced with t=0.90, 0.94, 0.98.



(b) Duck (model): MVBBs (3,5,9) produced with t=0.90, 0.94, 0.98.









(d) Bunny (model): MVBBs (2,4,11) produced with t=0.90, 0.94, 0.98.

(e) Stapler (scan): MVBBs (2,2,2) produced with t=0.90, 0.94, 0.98.









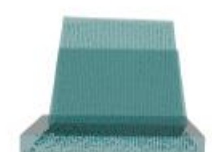
(c) Homer (model): MVBBs (4,5,7) produced with t=0.90, 0.94, 0.98.



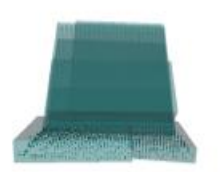












(f) Puncher (scan): MVBBs (3,4,4) produced with t=0.90, 0.94, 0.98.

(g) Notebook (scan): MVBBs (3,4,6) produced with t=0.90, 0.94, 0.98.

Details in [Huebner et al., 2008]



Erzeugen von Griffhypothesen: Von Boxen zu Griffen



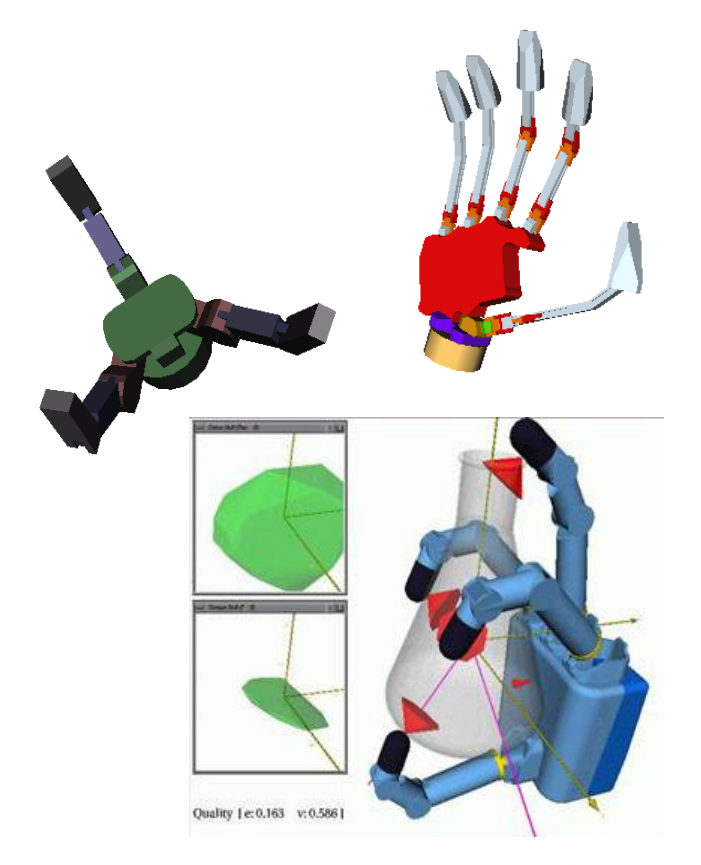
- Jede Box hat sechs Seitenflächen, welche jeweils vier Griffhypothesen implizieren
 - Griffpunkt: Mittelpunkt der Seitenfläche
 - Griffrichtung: Entlang der Normale der Seitenfläche
 - Handorientierung: Vier Möglichkeiten, orientiert an den Kanten der Fläche
- Über die Größen der Seitenflächen können unmögliche Griffe direkt ausgeschlossen werden
 - z.B. Seitenfläche ist größer als die Handöffnung
- Griffhypothesen für blockierte oder verdeckte Seitenflächen können durch einfache geometrische Berechnungen verworfen werden

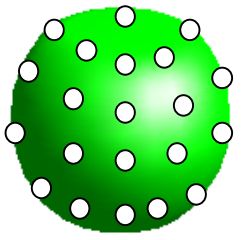


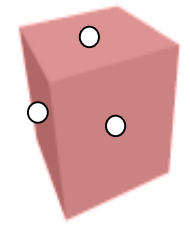
Evaluation



- Experimentelle Evaluation durch Simulationsumgebung GraspIt! [Miller et al., 2004]
- Zwei verwendete Handmodelle
 - Barrett Technologies (3 Finger, 4 DOF)
 - TUAT/Karlsruhe Humanoid Hand (5 Finger, 8 DOF)
- Zwei Qualitätsmaße
 - V: Volumen des GWS
 - \bullet ε : Größte Kugel im GWS
- Zwei Verfahren wurden verglichen
 - Spherical: Griffhypothesen aus 22104 Punkten auf Kugeloberfläche
 - Box: Griffhypothesen aus Box-Unterteilung



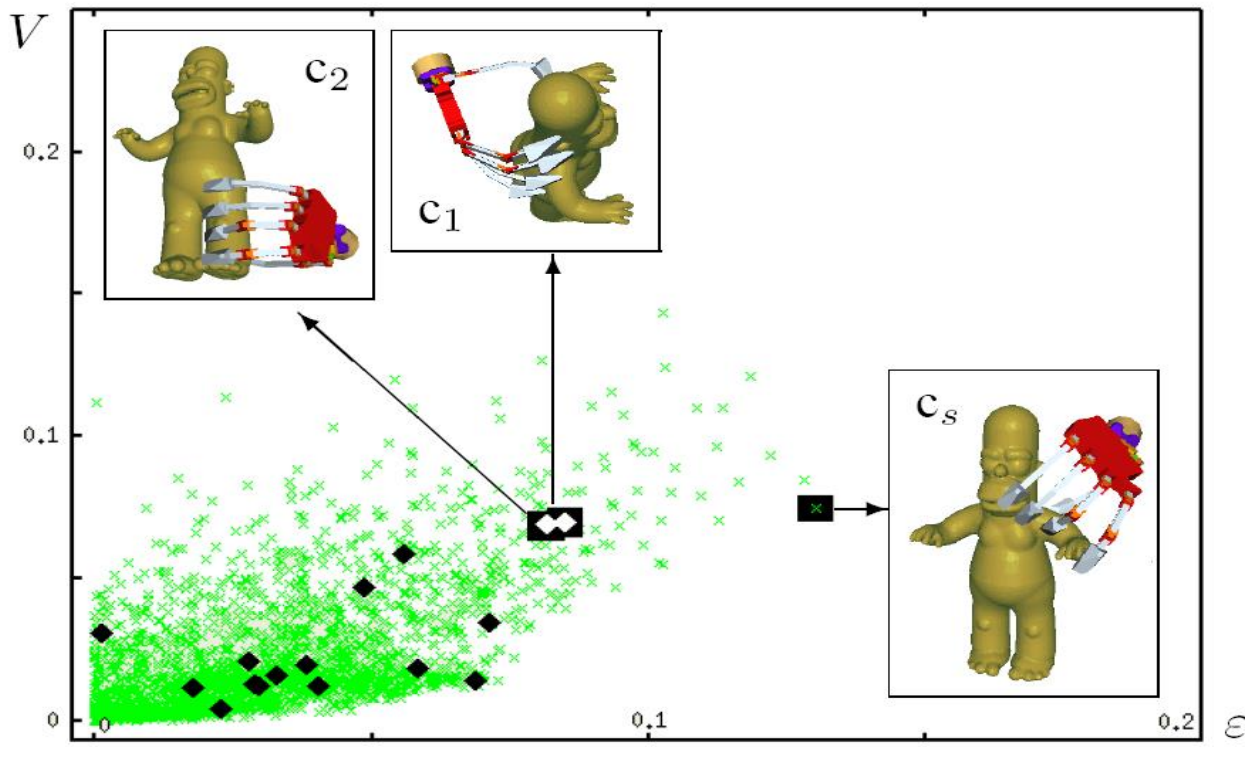






Evaluation





- ★ Sample of spherical grasp
- ◆ Sample of box grasp

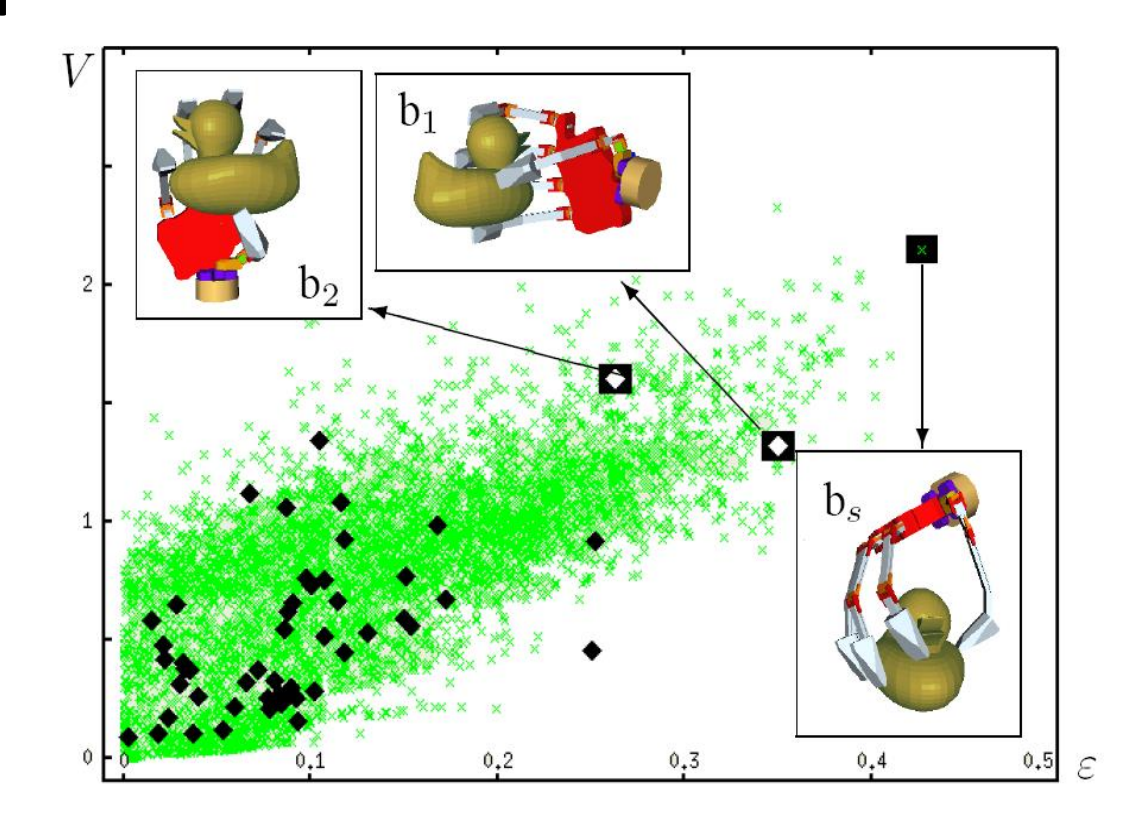
- ™ Best" spherical grasp
- "Best" box grasp(s)

Box Decomposition erzeugt wenige, aber qualitativ hochwertige Griffhypothesen



Evaluation





- ★ Sample of spherical grasp
- A ----
- ◆ Sample of box grasp

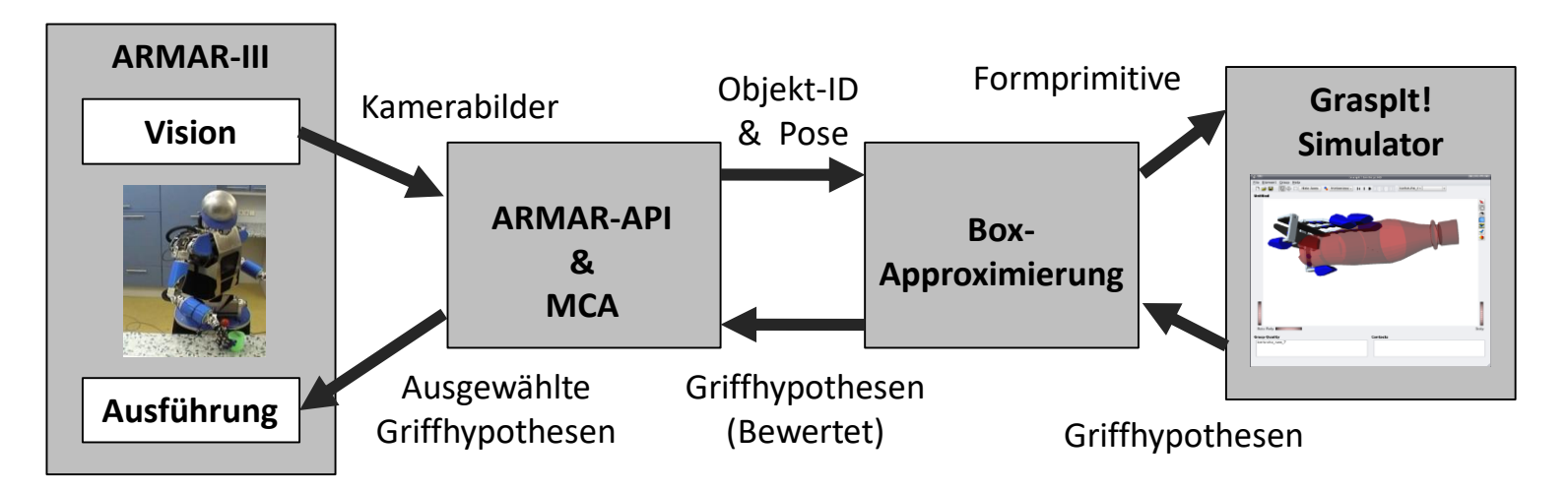
- ™ Best" spherical grasp

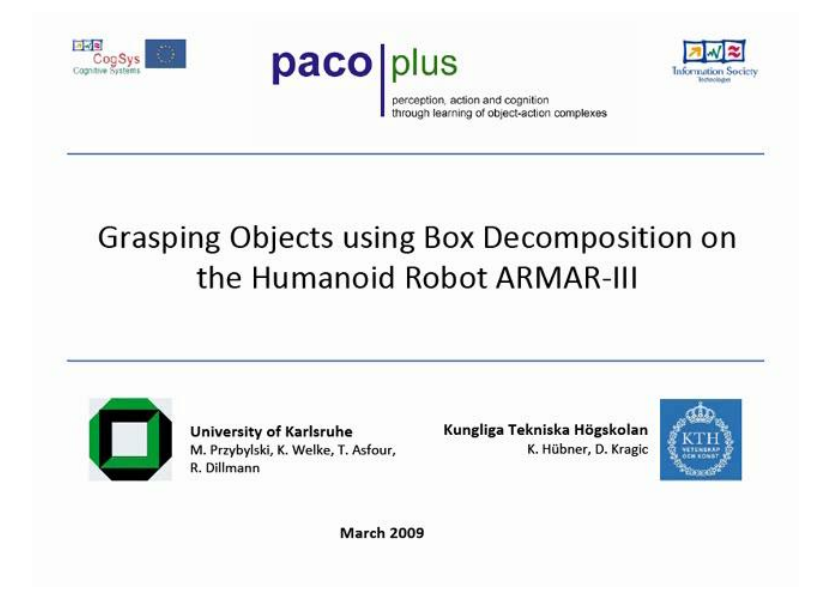
Box Decomposition erzeugt wenige, aber qualitativ hochwertige Griffhypothesen



Evaluation auf ARMAR-III









Ergebnisse



- Exakte Form ist nicht notwendig, um Griffe zu erzeugen
- Objekte könne durch vereinfachte Formen (Boxen) besser verarbeitet werden. Hierzu können Punktwolken der Oberflächen verwendet werden.
- Einfache Parametrisierung der Algorithmen
- Evaluation: Der box-decomposition Ansatz erzeugt Griffe, welche mit einem humanoiden Roboter erfolgreich ausgeführt werden können.



Greifplanung mit Superquadriken



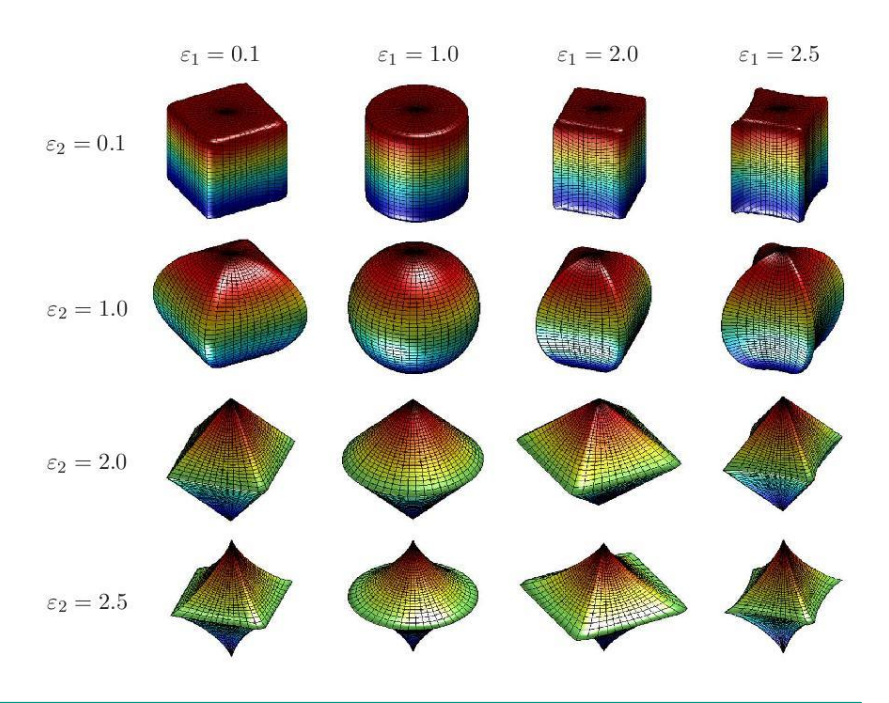
Superquadrik

- Parametrisierbare Funktionen definieren die Form des geometrischen Objektes
- Eine an den Koordinatenachsen ausgerichtete Superquadrik im Ursprung des Koordinatensystems wird durch fünf Parameter mit folgender Gleichung beschrieben:

$$X(\eta, \omega) = \begin{pmatrix} a_1 \cos^{\epsilon_1}(\eta) \cos^{\epsilon_2}(\omega) \\ a_2 \cos^{\epsilon_1}(\eta) \sin^{\epsilon_2}(\omega) \\ a_3 \sin^{\epsilon_1}(\eta) \end{pmatrix} \quad \epsilon_2 = 0.1$$

$$f\ddot{u}r - \frac{\pi}{2} \le \eta < \frac{\pi}{2} \text{ und } -\pi \le \omega < \pi.$$

Die Parameter a_1, a_2, a_3 beschreiben die Größe der Superquadrik in Richtung der drei Raumachsen. Die Exponenten $\epsilon_1, \epsilon_2 \in [0,1]$ bestimmen die Schärfe des Kantenverlaufs.



C. Goldfeder, P. K. Allen, C. Lackner, and R. Pelossof, *Grasp Planning Via Decomposition Trees*, in IEEE Int. Conf. on Robotics and Automation (ICRA), 2007, pp. 4679–4684.

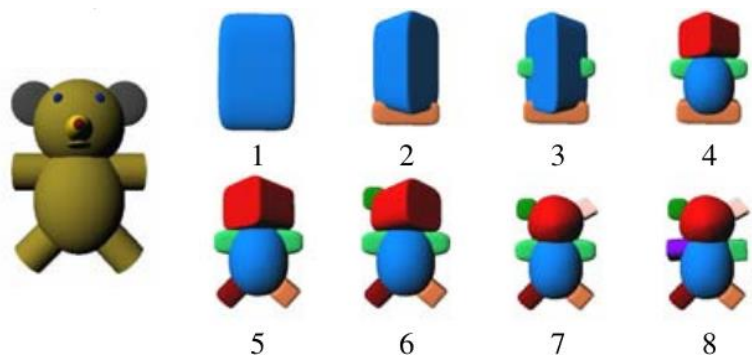


Greifplanung mit Superquadriken (II)

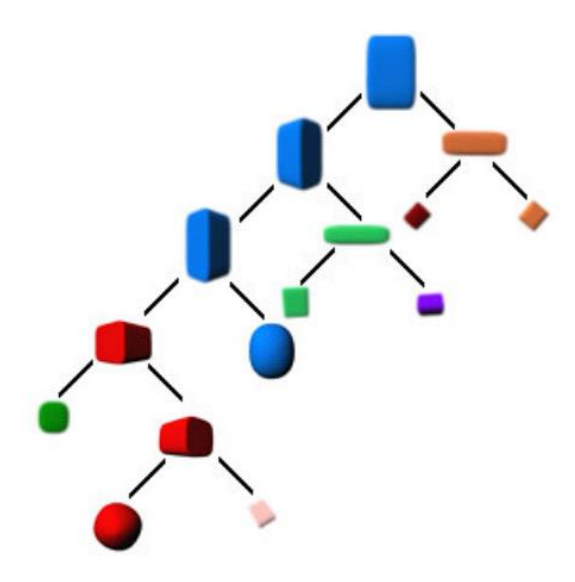


Objektdarstellung über Superquadriken

- Objektoberfläche wird als Punktwolke dargestellt
- Ermittle Superquadrik deren Oberfläche die Punktwolke am besten darstellt (Nichtlinearer fitting Algorithmus, z.B. Levenberg-Marquardt)
- Decomposition Tree
 - Verfeinere die Approximation schrittweise
 - Suche Superquadrik mit größtem Fehler zur Punktwolke
 - Teile die zugehörige Punktwolke
 - Erstelle zwei Superquadriken
 - Speichere Resultate für jeden Approximationsschritt im decomposition tree



Superquadriken von 8 Dekompositionsschritten



Decomposition Tree



Greifplanung mit Superquadriken (III)

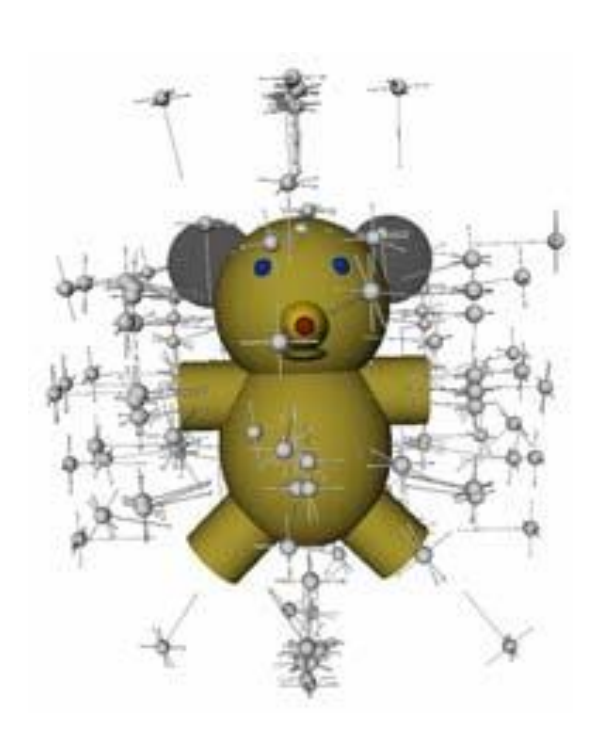


Greifplanung

- Für jede Superquadrik werden Greifhypothesen erzeugt
 - Gleichverteilte Anfahrtspunkte und Anfahrtsrichtungen relative zur Oberfläche der entsprechenden Superquadrik
- Evaluation der Greifhypothesen mittels GWS Ansätzen
 - Detailliertes Objektmodell (3D mesh)



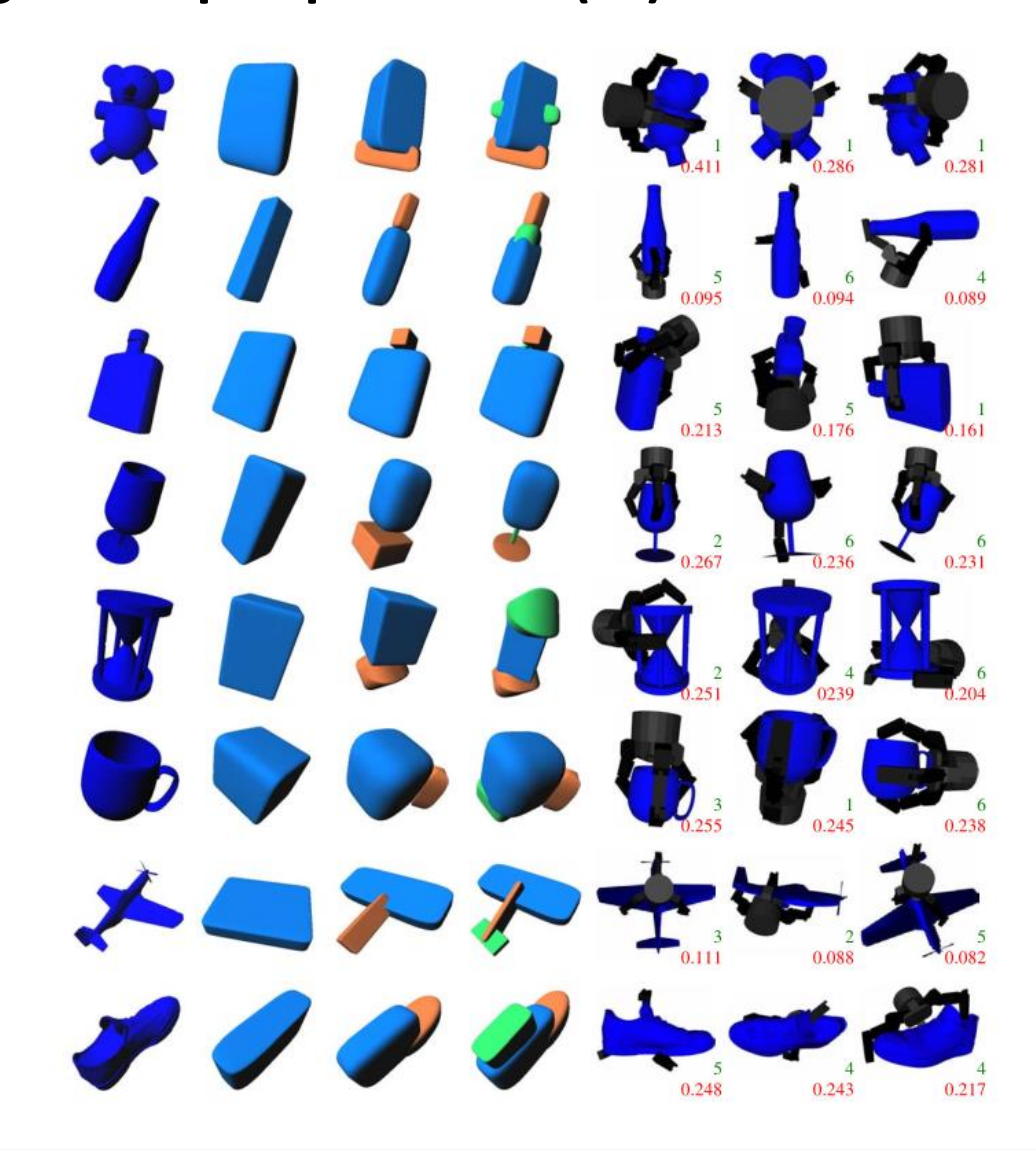
Greifplanung auf groben sowie feinen Strukturen des Objektes



Greifplanung mit Superquadriken (IV)

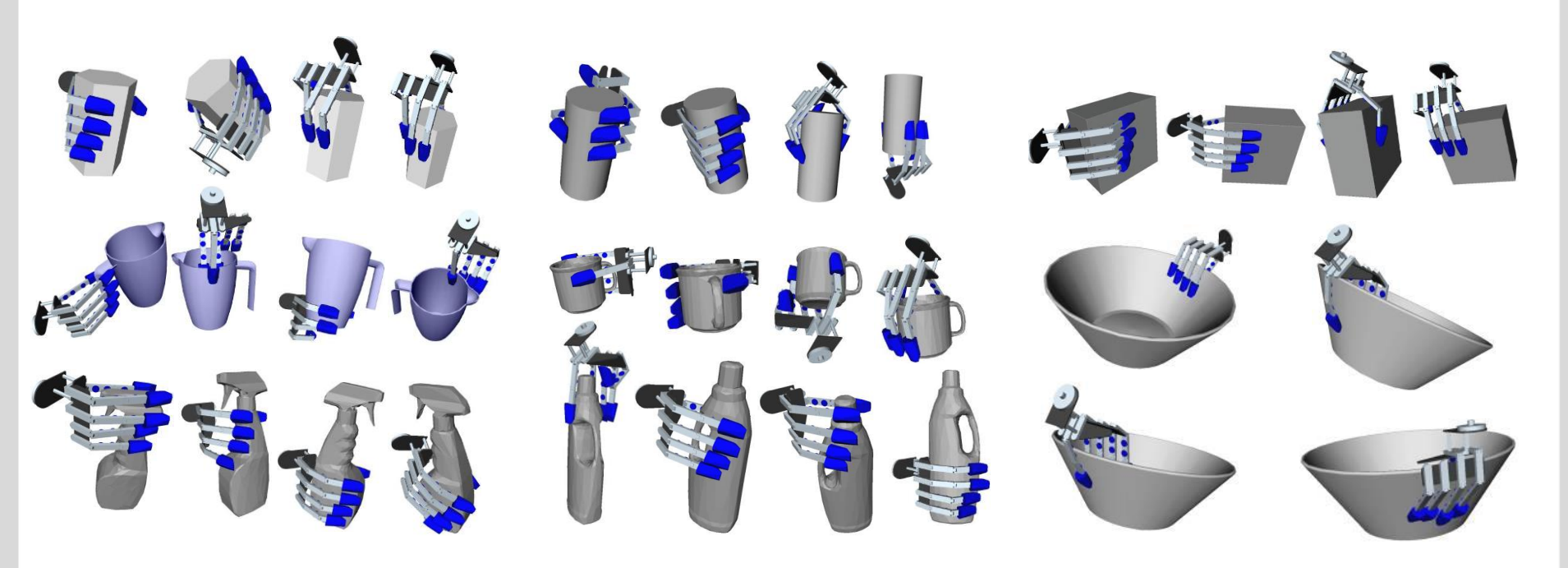


Resultate









GRIFFPLANUNG MIT MEDIALEN ACHSEN



Motivation



- Stand der Forschung: Algorithmen zur Griffplanung in Simulationsumgebungen
 - Griffhypothesen werden auf Stabilität untersucht
 - Effizienz hängt von den Heuristiken zur Erzeugung von Griffhypothesen ab
- Ziel: Verbesserung der Effizienz von Griffplanungs-Algorithmen, indem nur "geometrisch sinnvolle" Griffe untersucht werden müssen
- Ansatz: Verwende lokale Symmetrien der Objektgeometrie
 - Die Repräsentation des Objektes ist wichtig
 - Dreiecksnetz (Mesh): Zu niedriges Abstraktionsniveau
 - Mediale Achse als Objektrepräsentation

Przybylski, M., Asfour, T. & Dillmann, R. *Unions of Balls for Shape Approximation in Robot Grasping*. 2010 IEEE/RSJ International Conference on Intelligent Robots and Systems (IROS), 2010

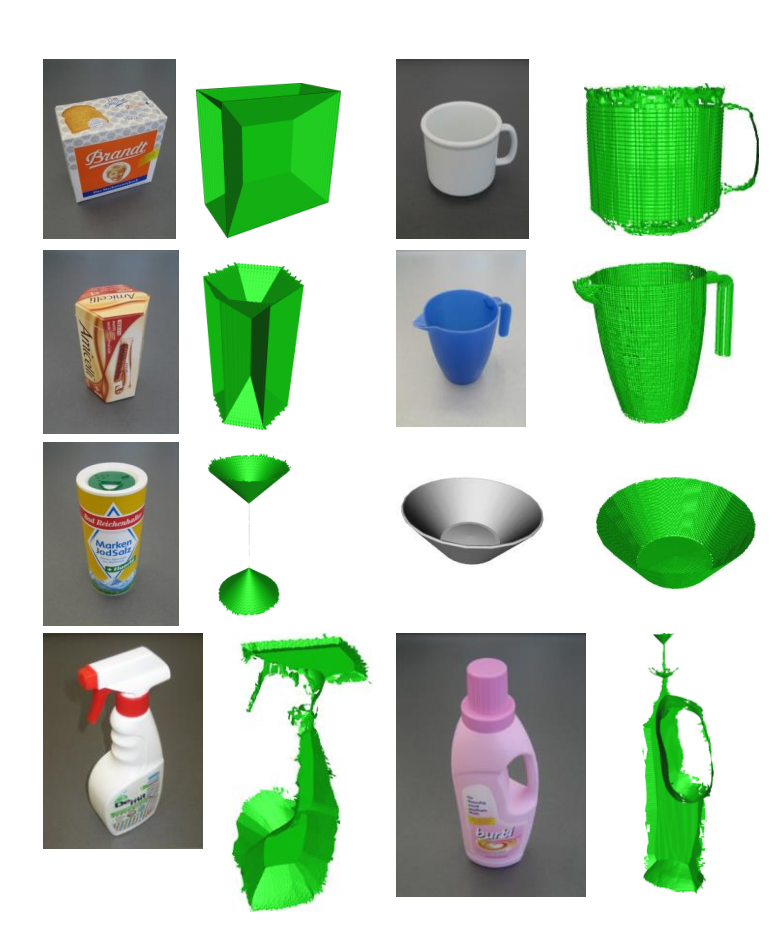
Przybylski, M., Wächter, M., Asfour, T. & Dillmann, A Skeleton-based Approach to Grasp Known Objects with a Humanoid Robot, IEEE/RAS International Conference on Humanoid Robots (Humanoids), pp. 376 - 383, 2012



Griffplanung mit medialen Achsen



- Mediale Achse [Blum67]
 - Objektform wird approximiert über enthaltene Kugeln mit maximalem Durchmesser
 - Enthaltene Kugeln müssen die Objekthülle an zwei oder mehr Punkten berühren
- Die mediale Achse ist die Vereinigung der Mittelpunkte aller enthaltenen Kugeln
- Die mediale Achse beschreibt das topologische Skelett des Objekts
- Vorteile:
 - Gute Approximation der Objektgeometrie
 - Details bleiben erhalten
 - Gute Beschreibung der Symmetrien



H. Blum, **Models for the Perception of Speech and Visual Form**. Cambridge, Massachusetts: MIT Press, 1967, A transformation for extracting new descriptors of shape, pp. 362–380.

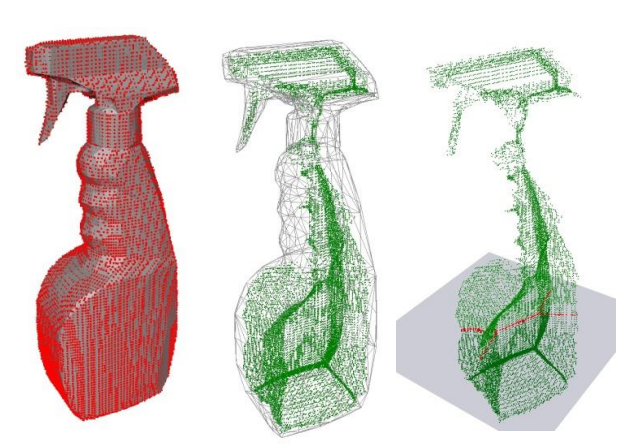


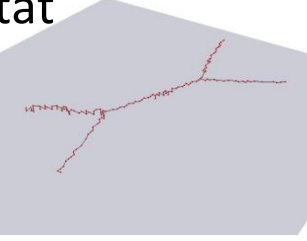
Griffplanung mit medialen Achsen

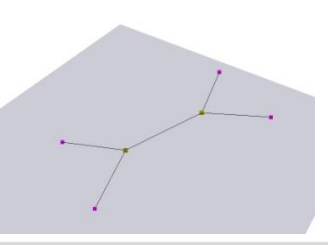


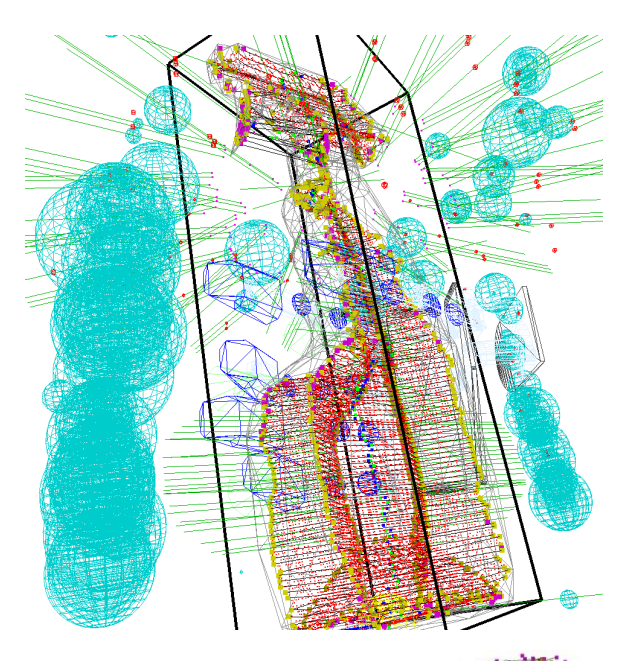
Algorithmus

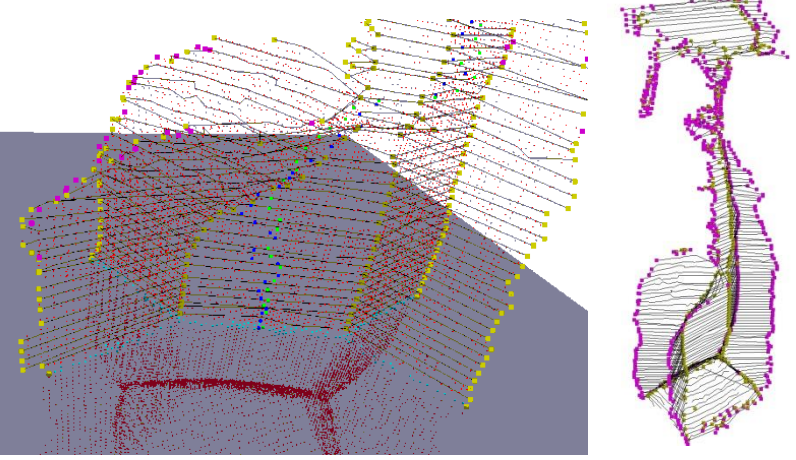
- 1. Abtasten der Objektoberfläche
- 2. Berechnen der medialen Achse
- 3. Analyse der Querschnitte der medialen Achse
 - Minimum Spanning Tree (MST)
 - Clustern
 - Konvexe Hülle
- 4. Erzeuge Griffhypothesen
- 5. Evaluiere Griffstabilität







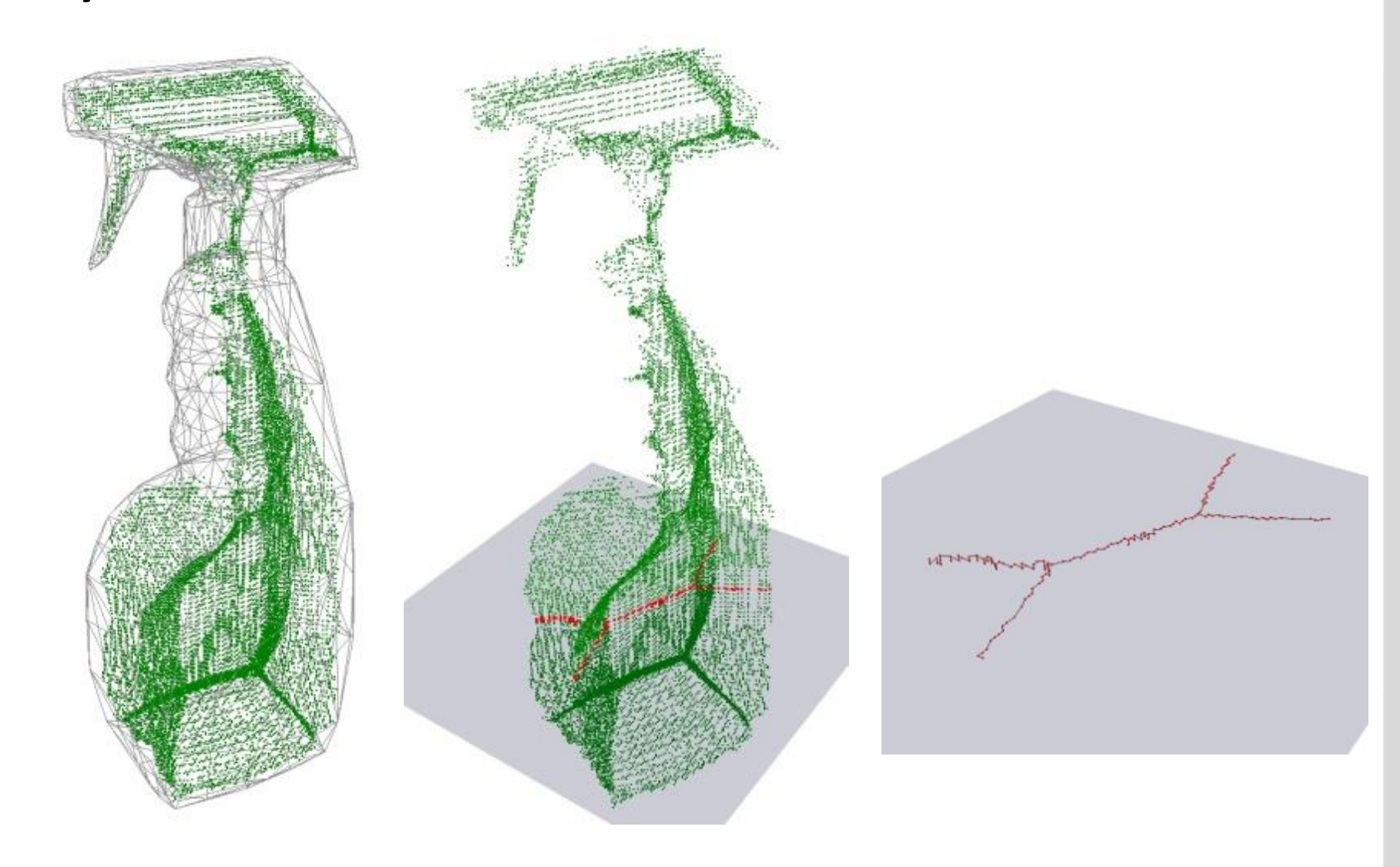






Analyse der Querschnitte der medialen Achse



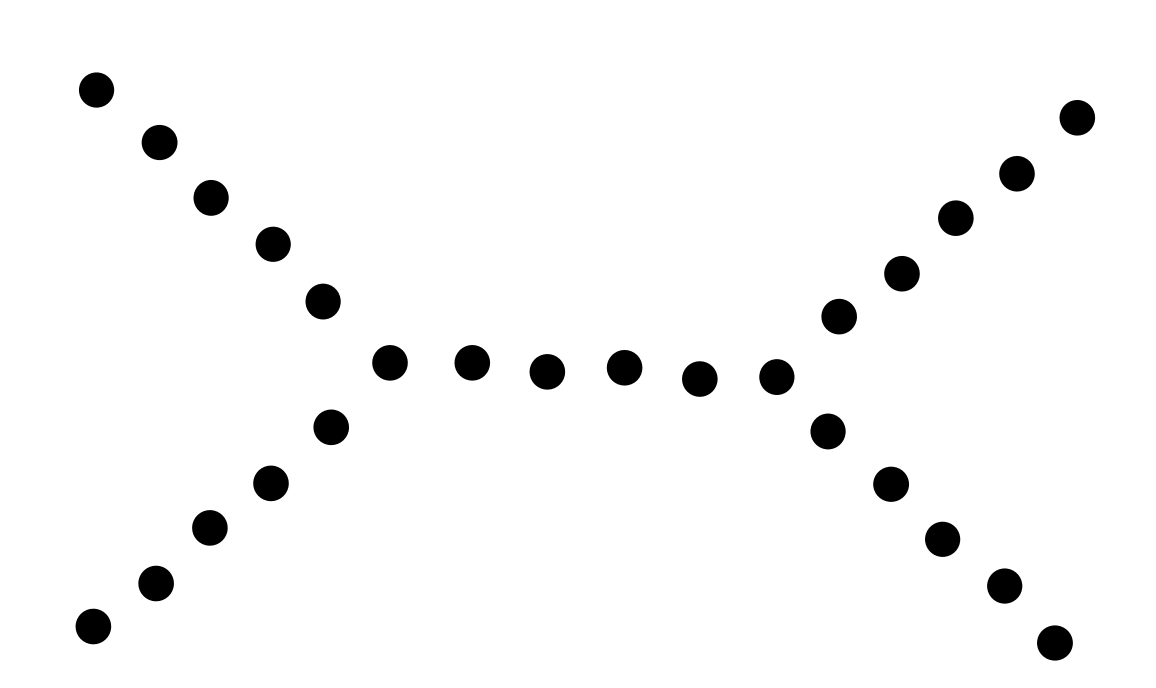




Analyse eines Querschnitts der medialen Achse I





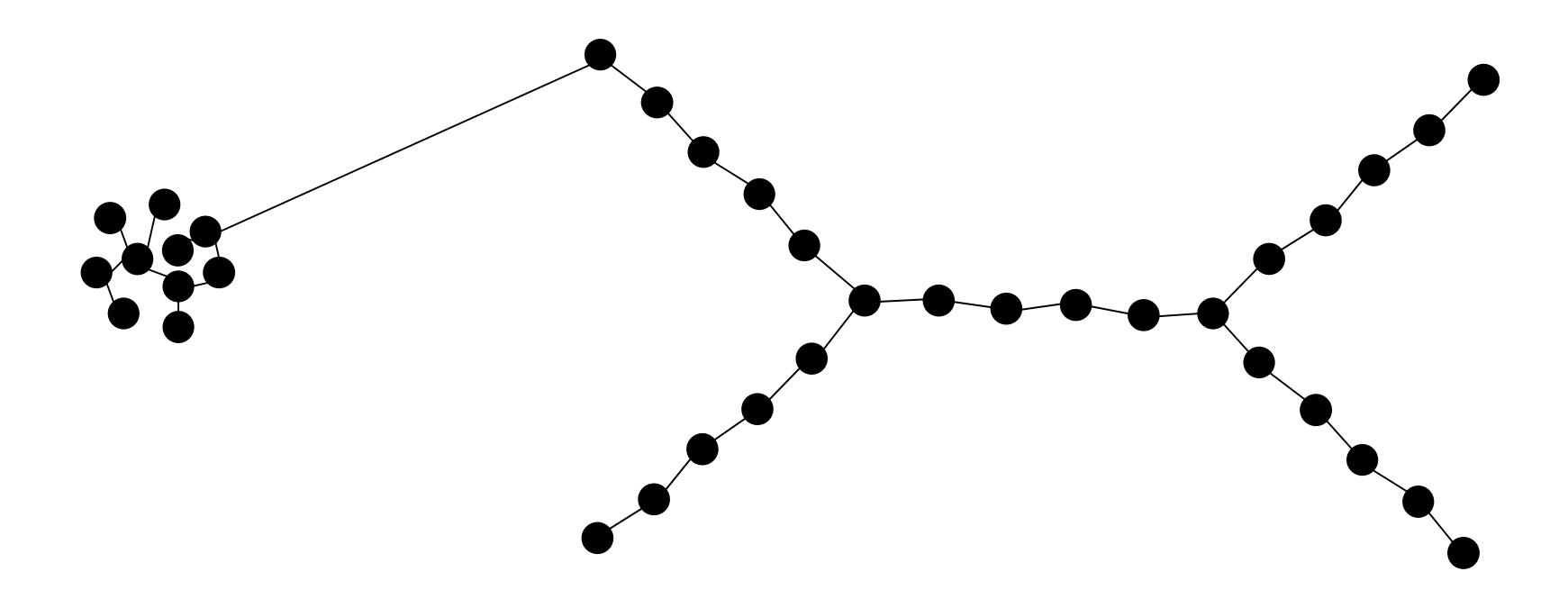


- Mediale Achse repräsentiert als Punktwolke
- Wir suchen
 - Die Nächste-Nachbarn-Beziehungen
 - Verzweigungspunkte
- Ansatz: Minimum Spanning Tree (MST)



Analyse eines Querschnitts der medialen Achse II



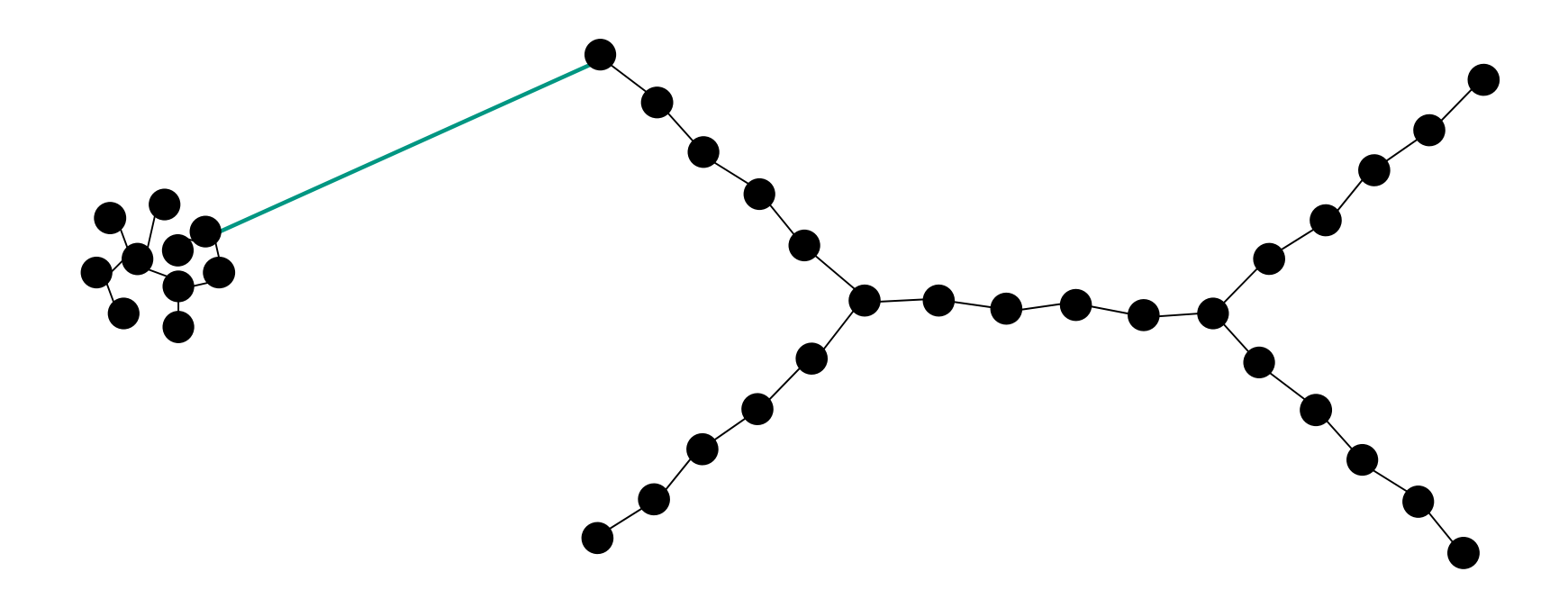


- Schritt 1: Bestimmung des MST
- Ergebnis: Alle Punkte sind mit ihren jeweils nächsten Nachbarn verbunden



Analyse eines Querschnitts der medialen Achse III



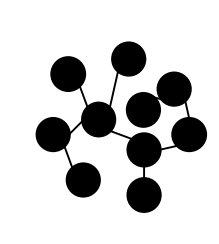


- lacktriangle Schritt 2: Entferne Kanten, die länger sind als ein Grenzwert d_{cut}
- Ergebnis: Unterteilung der medialen Achse in zusammengehörige Cluster

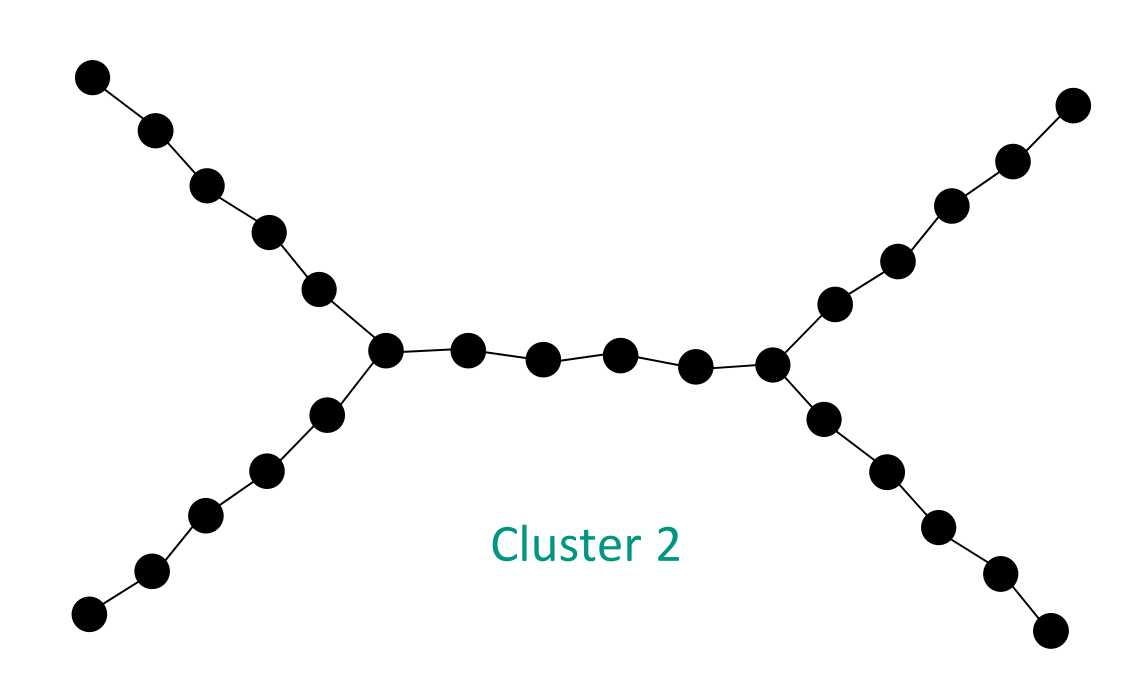


Analyse eines Querschnitts der medialen Achse III





Cluster 1



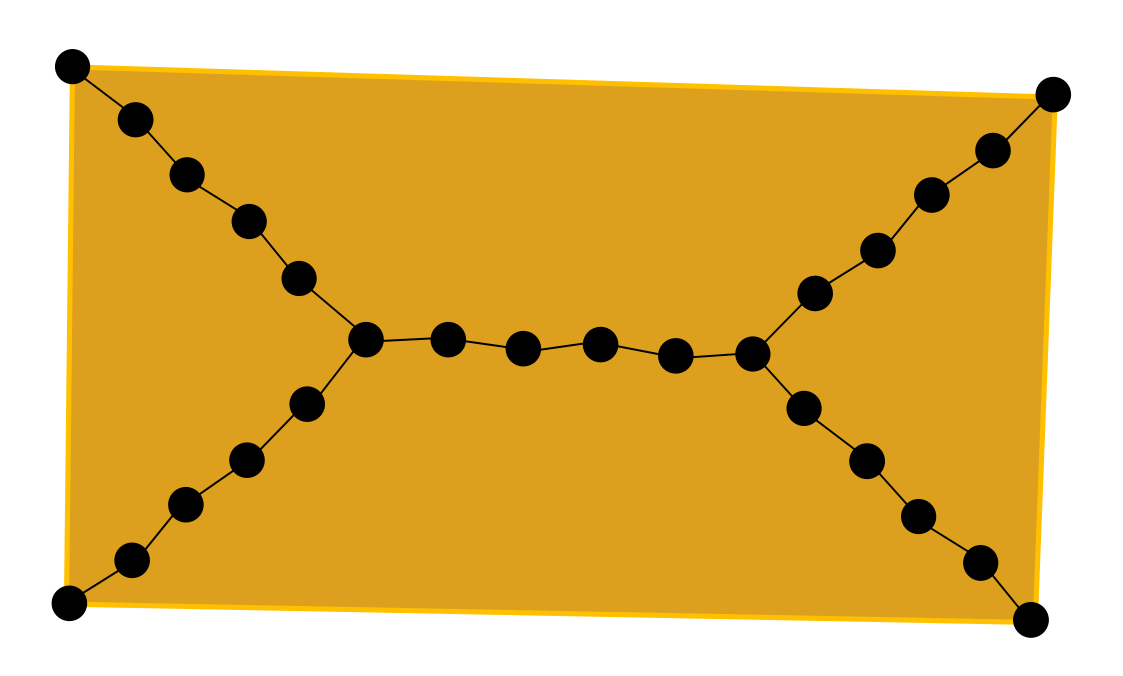
- lacktriangle Schritt 2: Entferne Kanten, die länger sind als ein Grenzwert d_{cut}
- Ergebnis: Unterteilung der medialen Achse in zusammengehörige Cluster



Analyse eines Querschnitts der medialen Achse IV







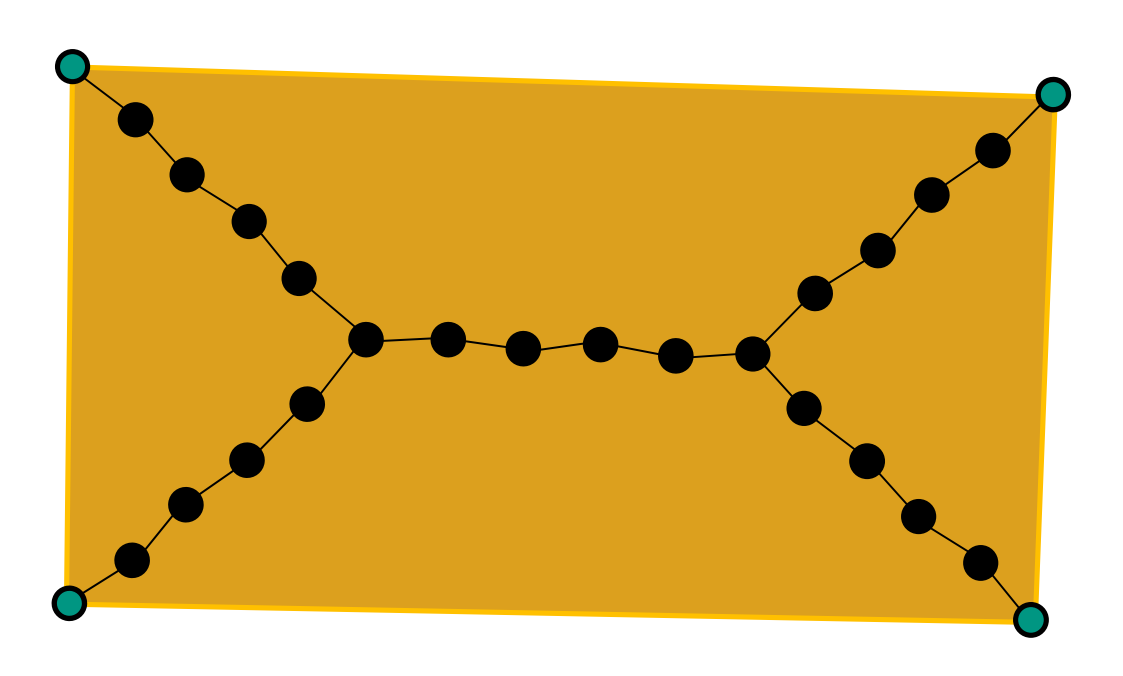
- Schritt 3: Berechne für jedes Cluster
 - Volumen der konvexen Hülle
 - Randpunkte der konvexen Hülle
 - Verzweigungspunkte des MST
 - Masseschwerpunkt



Analyse eines Querschnitts der medialen Achse V







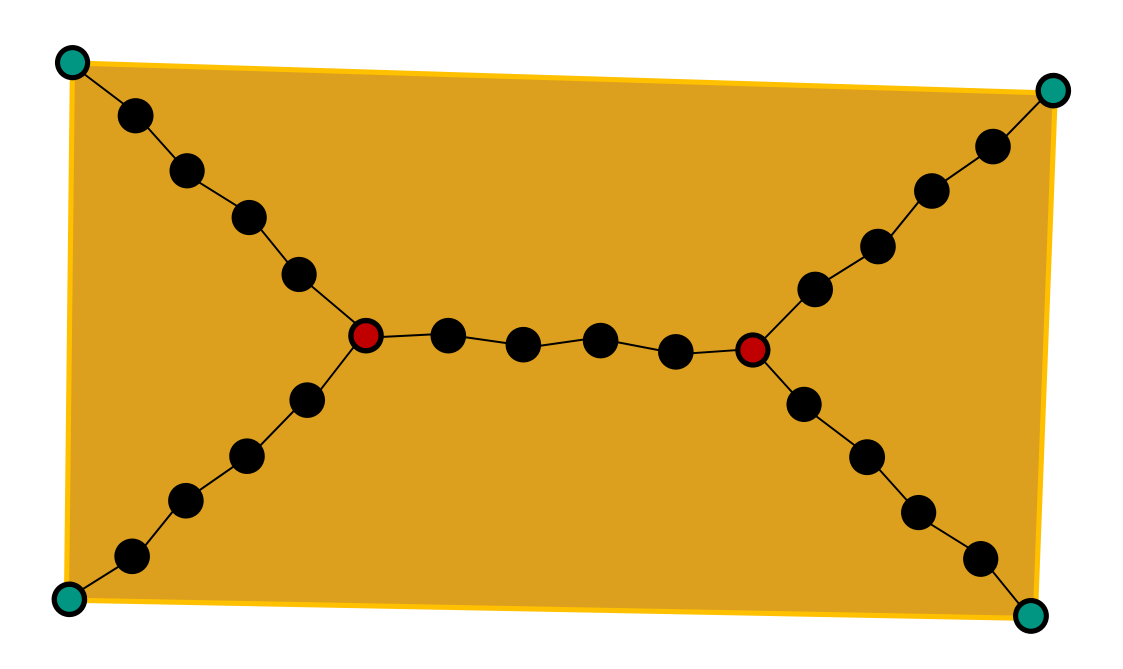
- Schritt 3: Berechne für jedes Cluster
 - Volumen der konvexen Hülle
 - Randpunkte der konvexen Hülle
 - Verzweigungspunkte des MST
 - Masseschwerpunkt



Analyse eines Querschnitts der medialen Achse VI







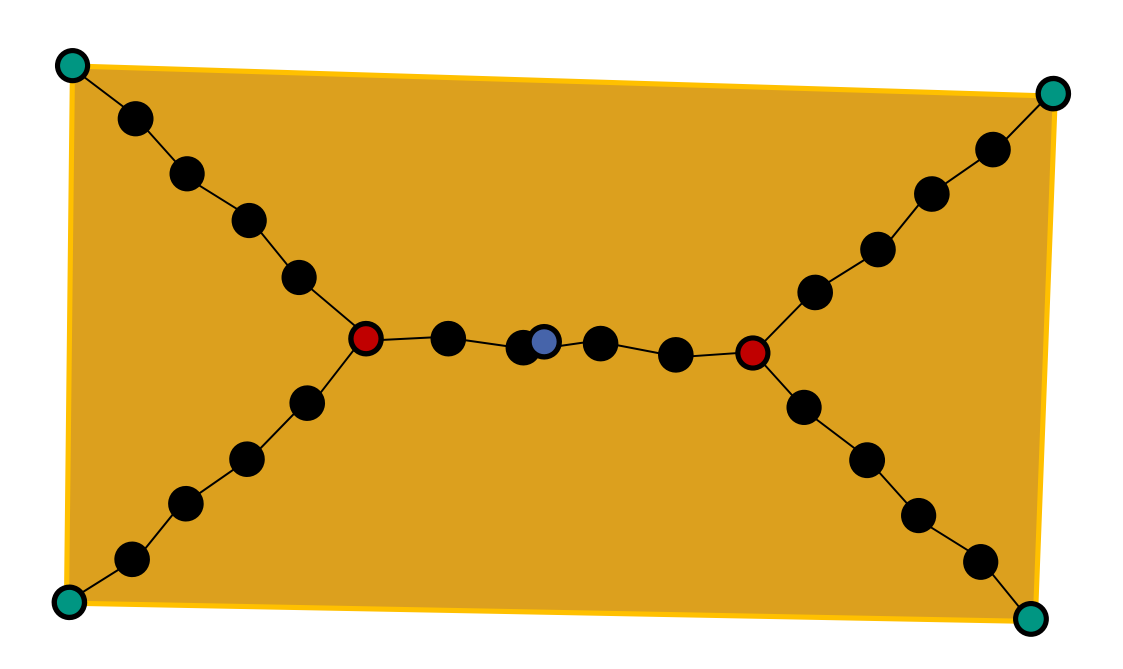
- Schritt 3: Berechne für jedes Cluster
 - Volumen der konvexen Hülle
 - Randpunkte der konvexen Hülle
 - Verzweigungspunkte des MST
 - Masseschwerpunkt



Analyse eines Querschnitts der medialen Achse VII





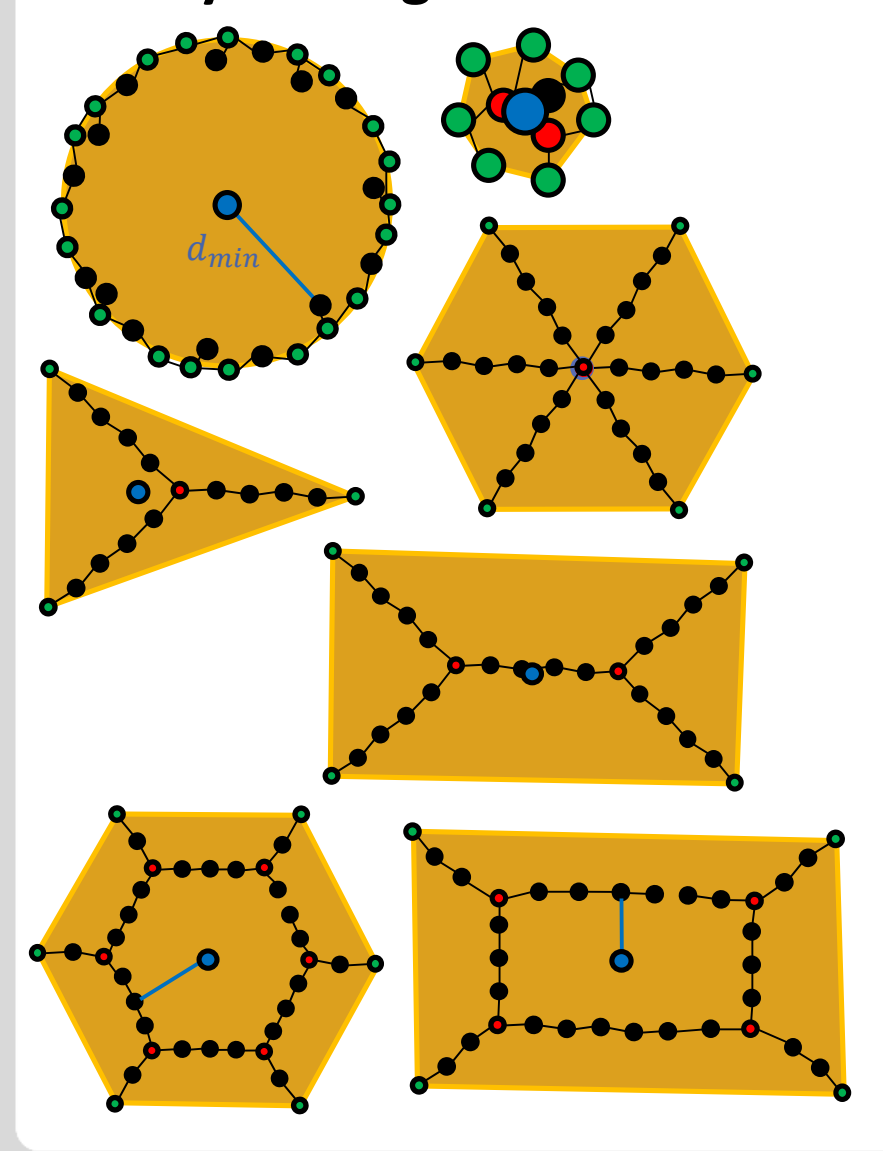


- Schritt 3: Berechne für jedes Cluster
 - Volumen der konvexen Hülle
 - Randpunkte der konvexen Hülle
 - Verzweigungspunkte des MST
 - Masseschwerpunkt



Analyse der gefundenen Cluster





Kreis / Ring

- Große Distanz zwischen Masseschwerpunkt und nächstem Punkt der medialen Achse
- Viele Punkte auf dem Rand der konvexen Hülle

Element einer Symmetrieachse

- Geringes Volumen der konvexen Hülle
- Wenige Punkte auf dem Rand der konvexen Hülle

Stern

Genau ein Verzweigungspunkt

Vorherrschende Richtung

Genau zwei Verzweigungspunkte

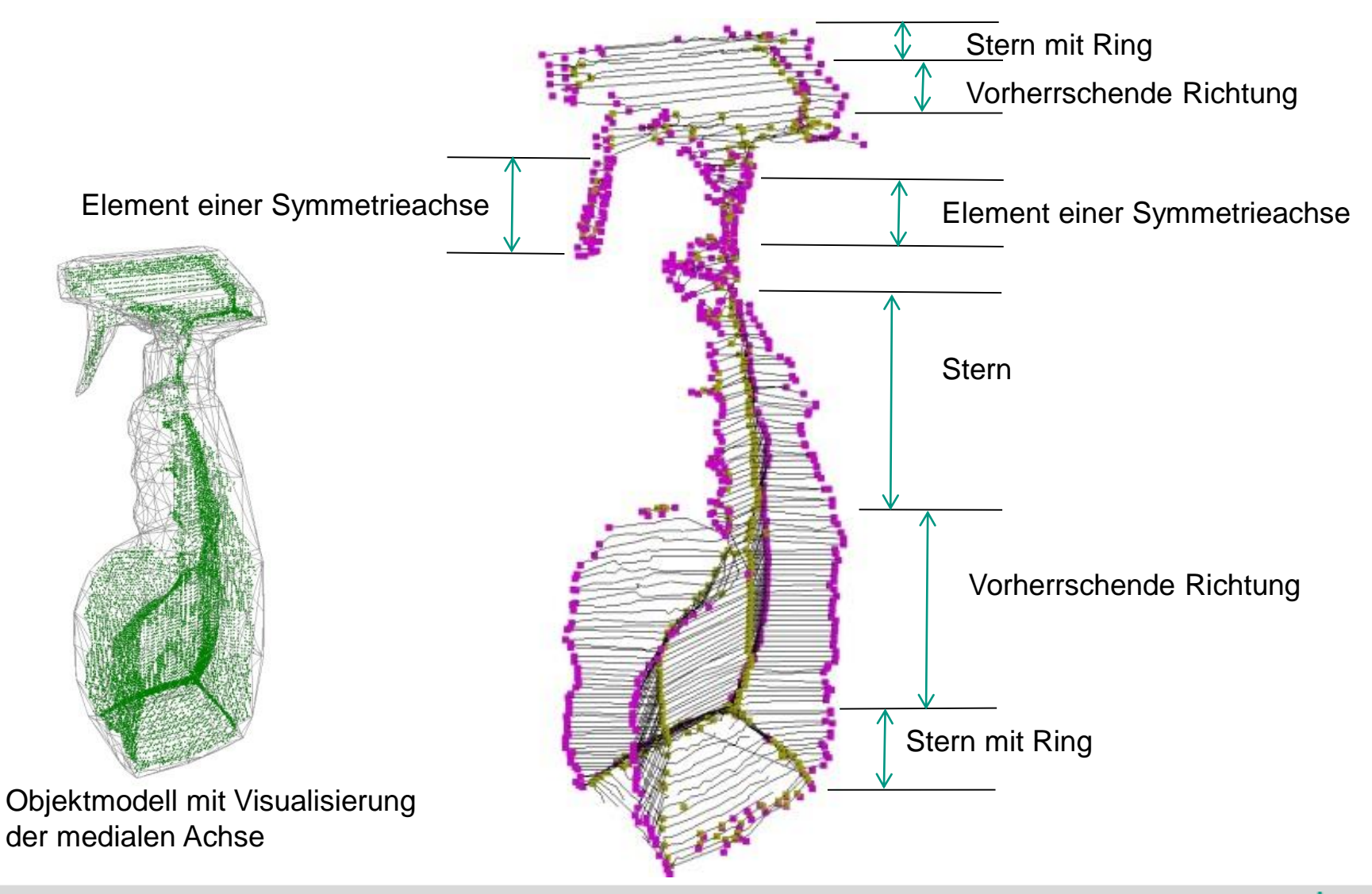
Stern mit Ring

Große Distanz zwischen Masseschwerpunkt und nächstem Punkt der medialen Achse



Beispiel: Analyse der medialen Achse

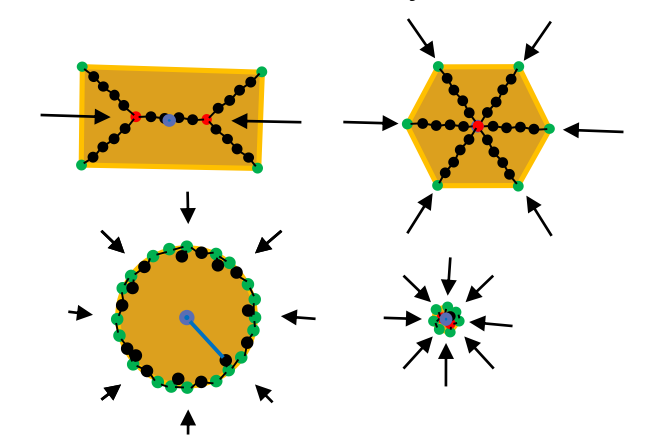




Heuristiken zur Erzeugung von Griffhypothesen I



- Näherungsrichtung der Hand
 - Verzweigungspunkte des MST
 - Spitzen eines Sterns
 - Symmetrieachsen
 - Rand offener Objekte



- Rollwinkel der Hand
 - Lokale Symmetrieachsen
 - Lokale Symmetrieebenen
- Für komplexere Objekte
 - Wende Kombination dieser Regeln an

Objekt







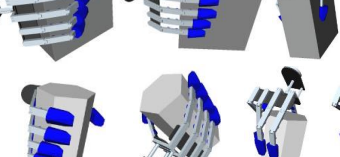






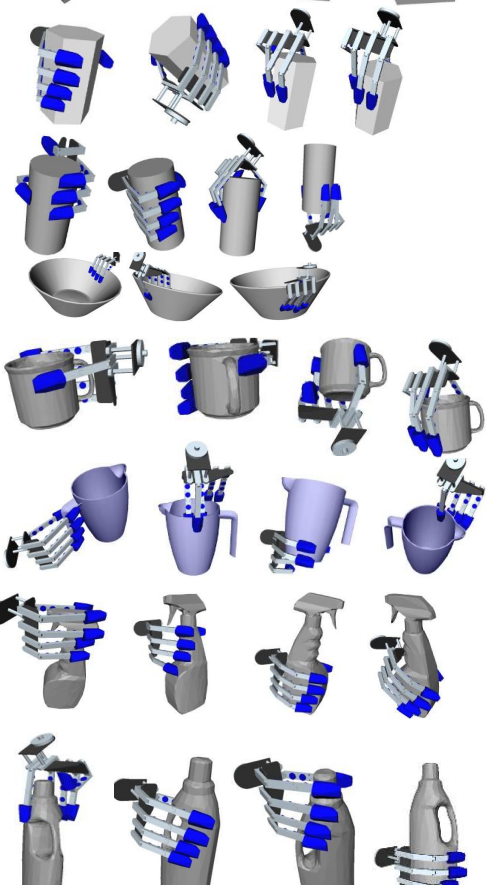














Heuristiken zur Erzeugung von Griffhypothesen II



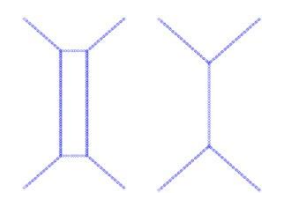
Mediale Achse



Heuristik und Griffhypothesen





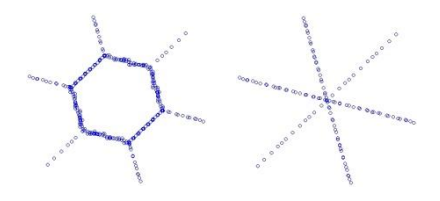


- Greife Verzweigungspunkte des MST
- Rollwinkel der Hand nach
 Symmetrieebenen ausrichten









- Greife Sternspitzen
- Rollwinkel der Hand nach
 Symmetrieebenen ausrichten











Heuristiken zur Erzeugung von Griffhypothesen III



Mediale Achse

Querschnitt

Heuristik und Griffhypothesen

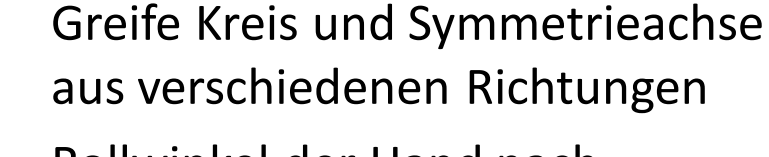


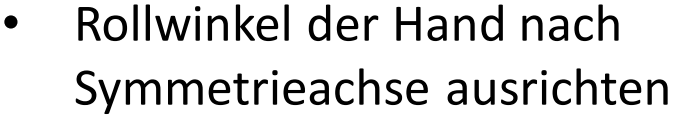
















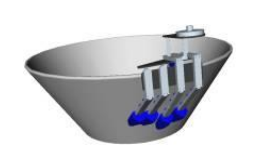




Objekte mit Öffnungen: Greife den Rand der Öffnung





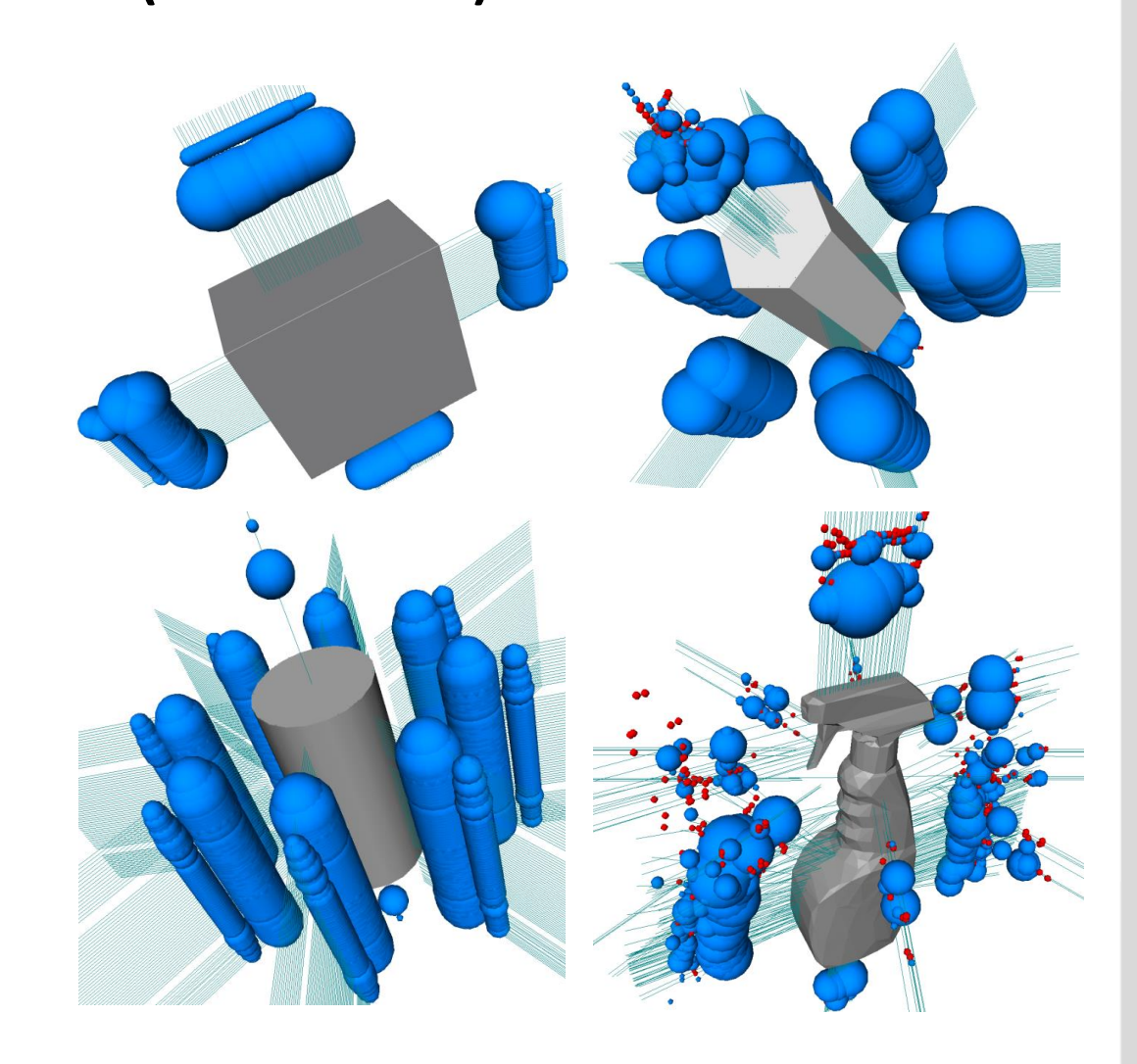




Ergebnisse: Qualität des Griffs (Kraftschluss)



- Blaue Kugeln: stabile Griffe
- Rote Kugeln: instabile Griffe
- Position der Kugel:
 Position des Handgelenks
 während des Griffs
- Durchmesser der Kugel:
 Maß für die Stabilität
 (Größte Kugel = stabilster Griff)

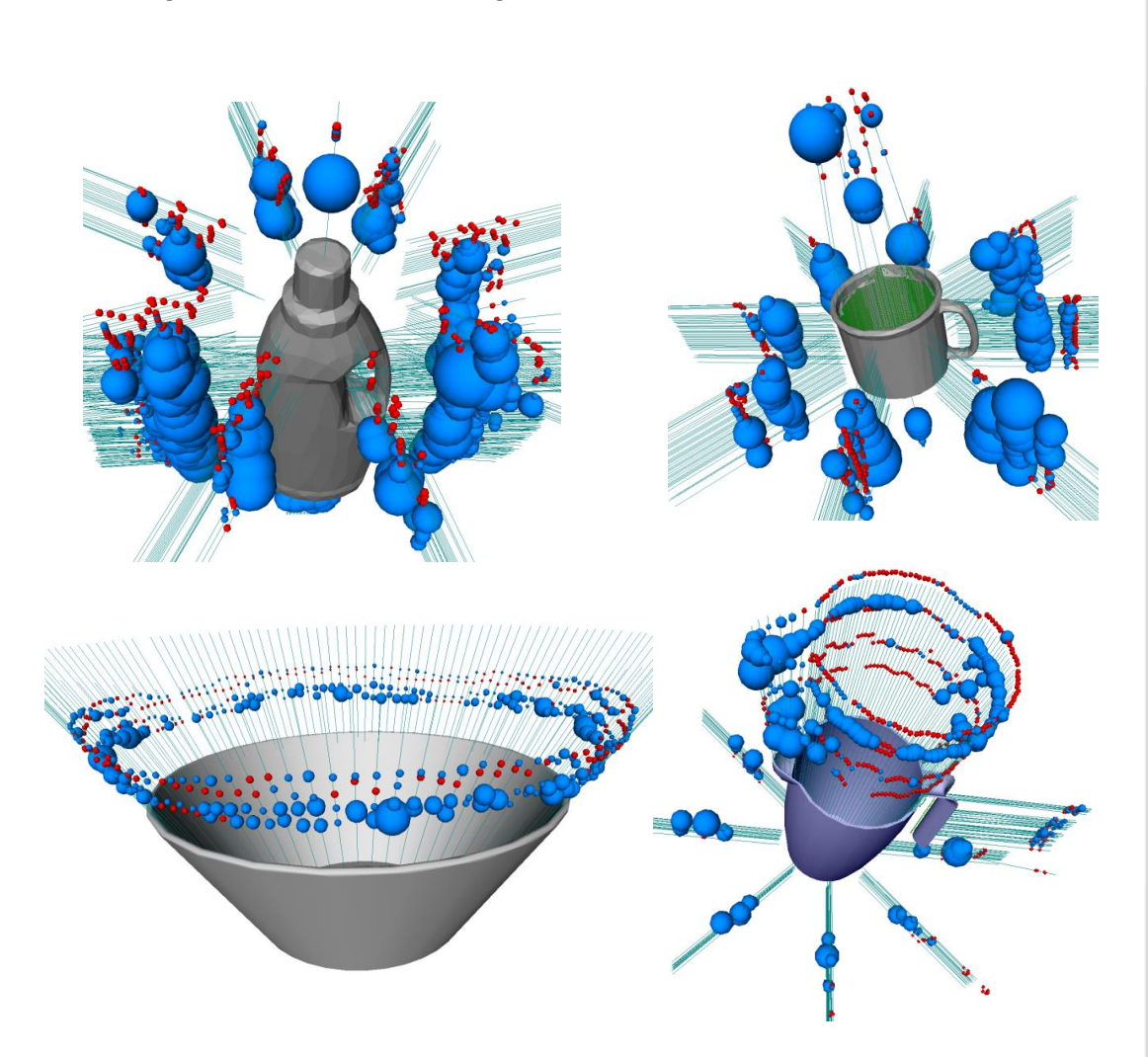




Ergebnisse: Qualität des Griffs (Kraftschluss)



- Blaue Kugeln: stabile Griffe
- Rote Kugeln: instabile Griffe
- Position der Kugel:
 Position des Handgelenks
 während des Griffs
- Durchmesser der Kugel:
 Maß für die Stabilität
 (Größte Kugel = stabilster Griff)

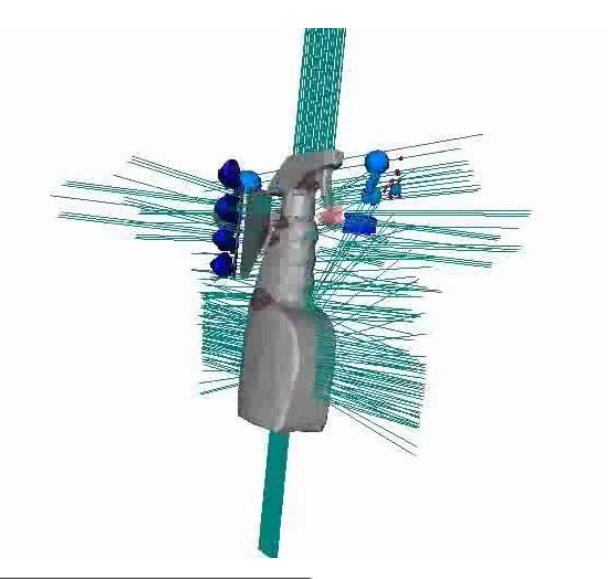




Ergebnisse: Effizienz

Karlsruhe Institute of Technology

- Vergleich mit auf Flächennormalen basiertem Greifplaner [Berenson07]
 - Anzahl der generierten möglichen Griffe
 - Stabile Griffe
- Ergebnis:
 - Planung basierend auf medialer Achse ist effizienter



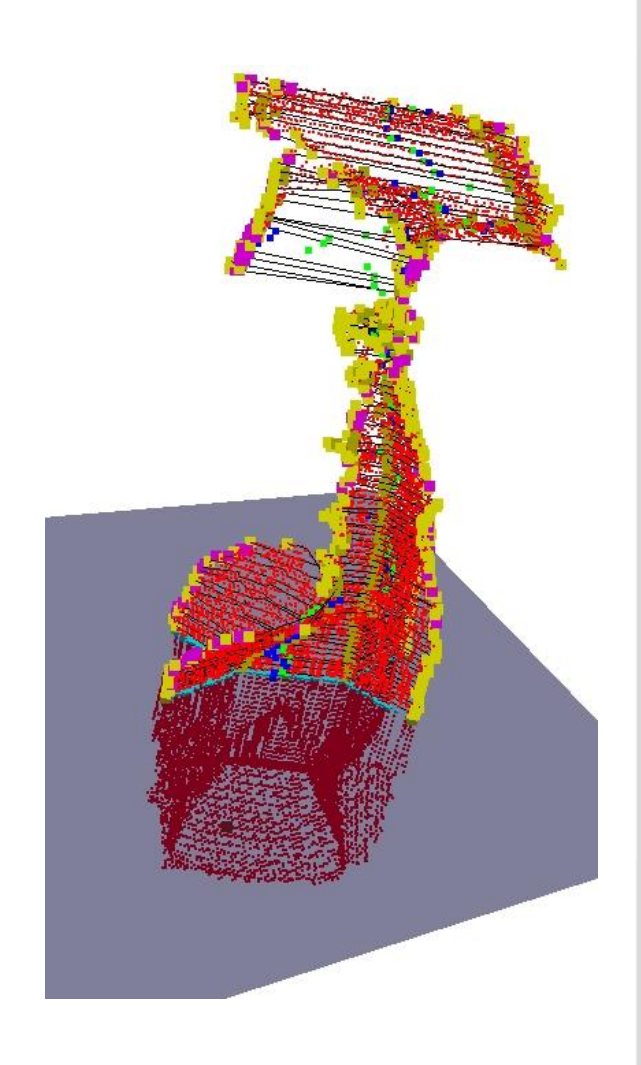
		MA-based planner		Surface normals planner		
	Objects	Candidates	Stable	Candidates	Stable	
	Bread box	632	86.2%	13440	15.5%	
	Prismatic box	1344	90.7%	8512	36.0%	
Ì	Salt can	2144	96.9%	7904	45.7%	
	Detergent	1996	65.9%	12672	26.2%	
ĺ	Spray	1304	55.1%	11200	21.2%	
	Cup	1428	59.5%	6688	37.0%	
ĺ	Pitcher	1124	47.0%	15504	25.9%	
	Salad bowl	504	68.5%	13648	4.5%	



Zusammenfassung:



- Die mediale Achse enthält Informationen über Struktur und Geometrie des Objekts
- Generierung möglicher Griffe mit Heuristiken
 - Einbeziehung von Objektsymmetrie
 - Mögliche Griffe sind geometrisch "sinnvolle"
 - Hoher prozentualer Anteil von stabilen Griffen
 - Resultierende Griffe wirken "natürlich"
- Genaue Approximation der Objektgeometrie
 - Mögliche Griffe werden nicht durch eine schlecht approximierte Objektgeometrie beeinflusst
- Erweiterbares Konzept
 - Erweiterbarer Satz von Heuristiken um mögliche Griffe zur generieren





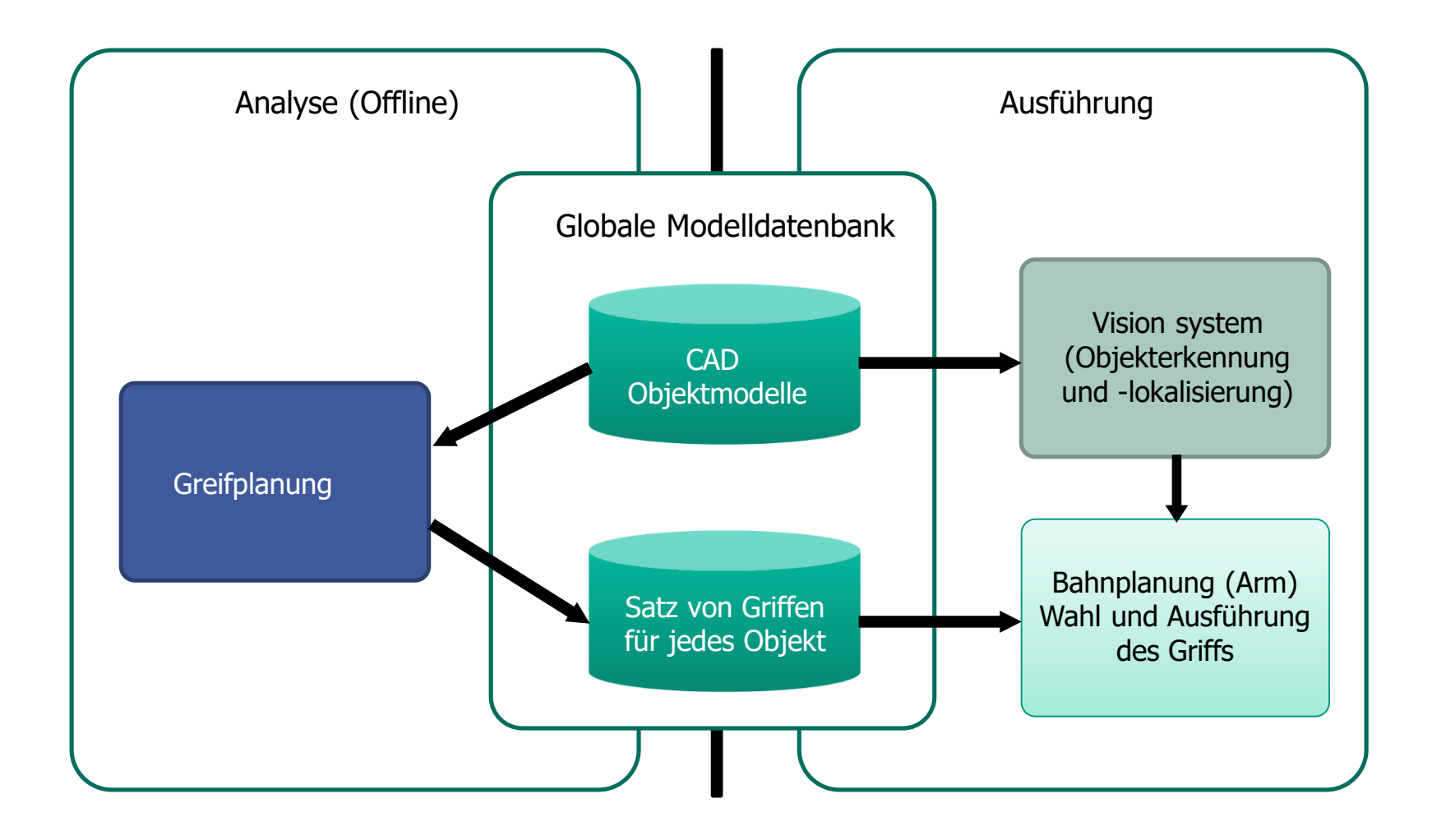


Greifen mit ARMAR



ARMAR – System zum Manipulieren und Greifen







ARMAR – Objektrepräsentation



Objekte aus dem Haushalt



Representation	Source	Usage
Point cloud	Object Modeling Center	Grasping based on box decomposition
Triangle mesh	Point cloud, simplified	Collision detection and visualization
Textured mesh	Additional textures	Visualization (vision simulation possible)
Vision data	Real images, synth. views	Object detection and localization



KIT Objektdatenbank



https://h2t-projects.webarchiv.kit.edu/Projects/ObjectModelsWebUI

- 3D Daten
 - Laserscanner Minolta "VI-900"
 - Aktive Triangulation
 - Auflösung: 640 x 480
 - Genauigkeit: kleiner 0.2 mm
 - Verschiedene Formate / Auflösungen
- Farbbilder einer Stereokamera
 - Allied Vision Technologies "Marlin 145C2,"
 - 1392 x 1038 Pixel
- XML Repräsentation
 - Meta Daten
 - Parser











ARMAR - Objektmodellierung



Object Modeling Center

Raptor – Rapid Textured Object Generator

- Generierung von 3D- Punktwolken mit Laserscanner
- Post-processing mittels Triangulation in hochaufgelösten Meshes
- Speicherung in verschiedenen Formaten(Open Inventor, VRML, Wavefront)
- Generierung von verschiedenen Objektansichten mittels Stereokameras

Entwickelt im Sonderforschungsbereich 588 "Humanoide Roboter"

Web database

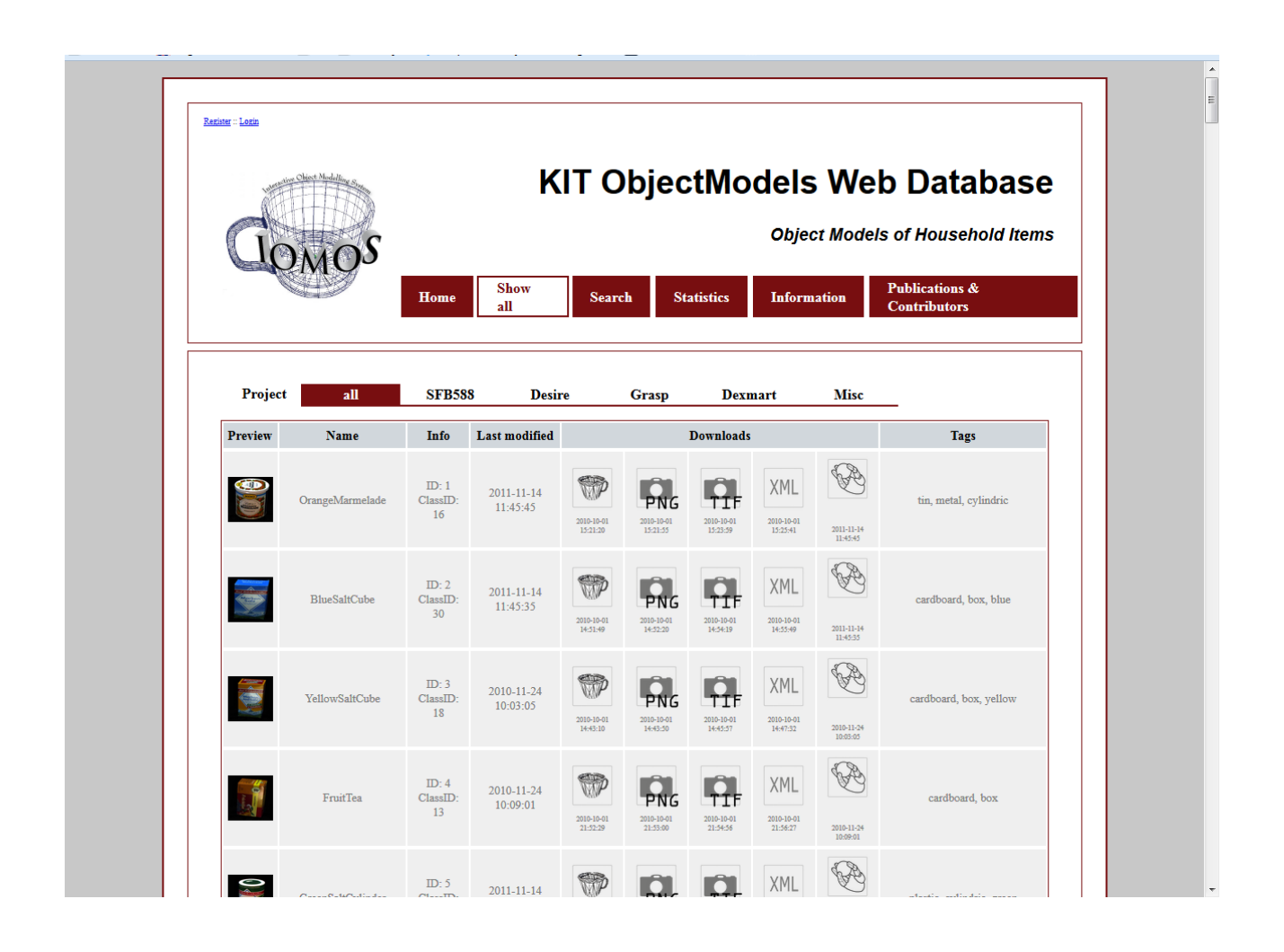


https://h2t-projects.webarchiv.kit.edu/Projects/ObjectModelsWebUI











ARMAR – Offline Griffanalayse

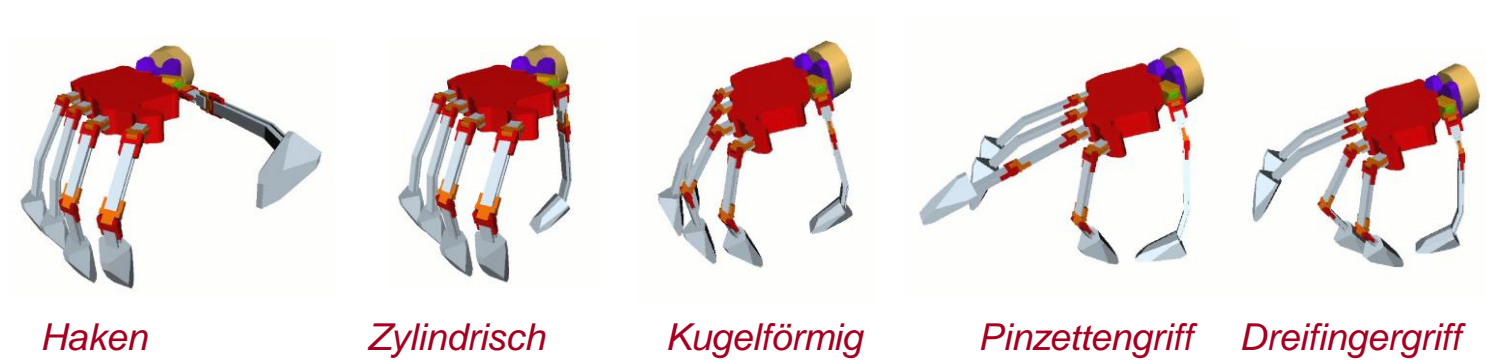


Grasp Center Point (GCP)

Approaching line

Hand orientation

- Mögliche Griffe werden offline für jedes Objekt berechnet und zusammen mit dem Objekt gespeichert
- Definition eines Griffs:
 - Griffmittelpunkt auf dem Objekt an dem der tool center point (TCP) ausgerichtet werden soll
 - Ansatz-Vektor beschreibt den Winkel mit dem sich die Hand dem Griffmittelpunkt n\u00e4hert
 - Orientierung des Handgelenks der Roboterhand
 - Initiale Fingerkonfiguration
- Evaluierung in Simulation



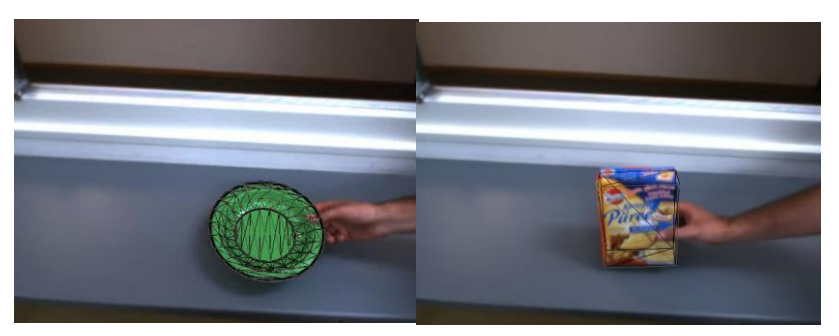


ARMAR - Objekterkennung und -lokalisierung



- Farbige Objekte (IROS 2006, IROS 2009)
 - Segmentierung nach Farbe
 - Ansichtsbasierte Erkennung mit globalem Ansatz
 - Modellbasierte Generierung der Ansichten
 - Kombination von stereo vision und gespeicherten Orientierungsinformationen für 6D Posenschätzung
- Texturierte Objekte (Humanoids 2006, IROS 2009)
 - Erkennung mittels lokaler Eigenschaften
 - Berechnung von konsistenten
 Eigenschaften in Bezug auf die
 Objektpose mit Hough-Transformation
 - 2D-Lokalisierung mit Bildpunktkorrespondenzen
 - 6D-Posenschätzung mittels stereo vision





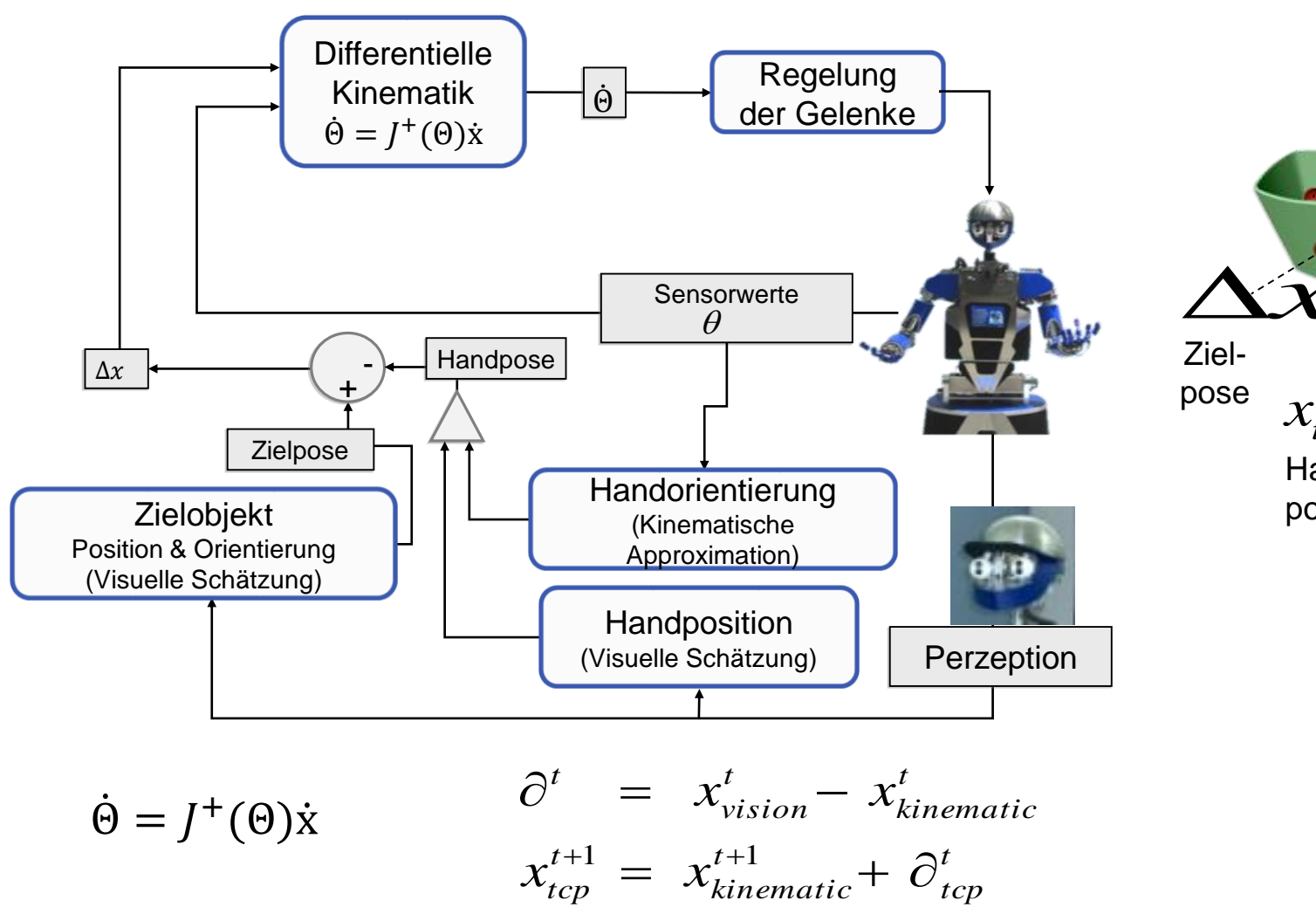


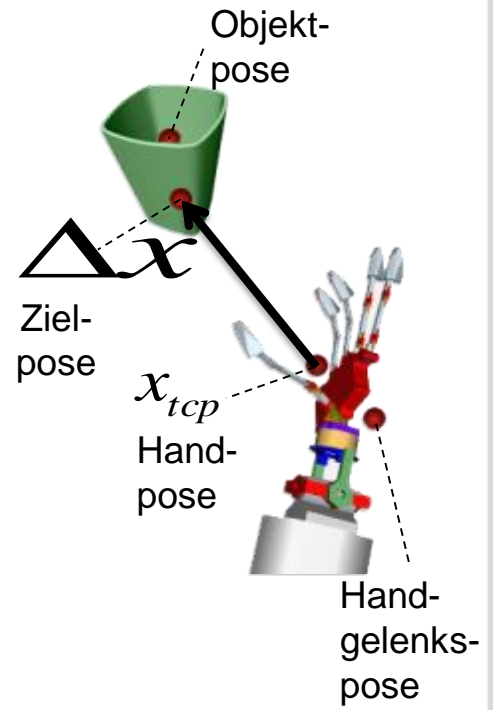
Correspondences between learned view and view in scene



ARMAR - Ausführung: Positionsbasiertes Visual Servoing



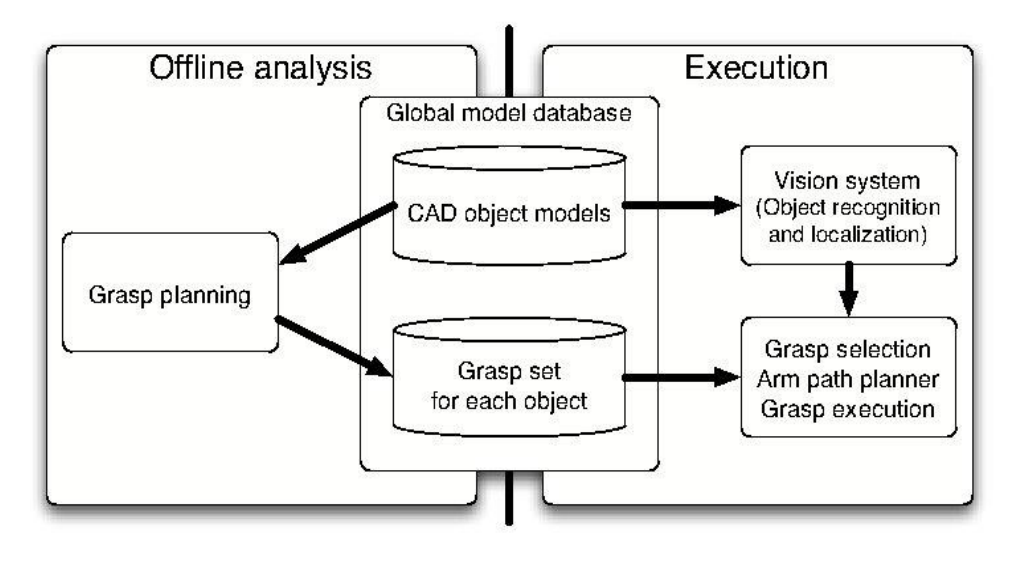




ARMAR - Visual Servoing and Grasping









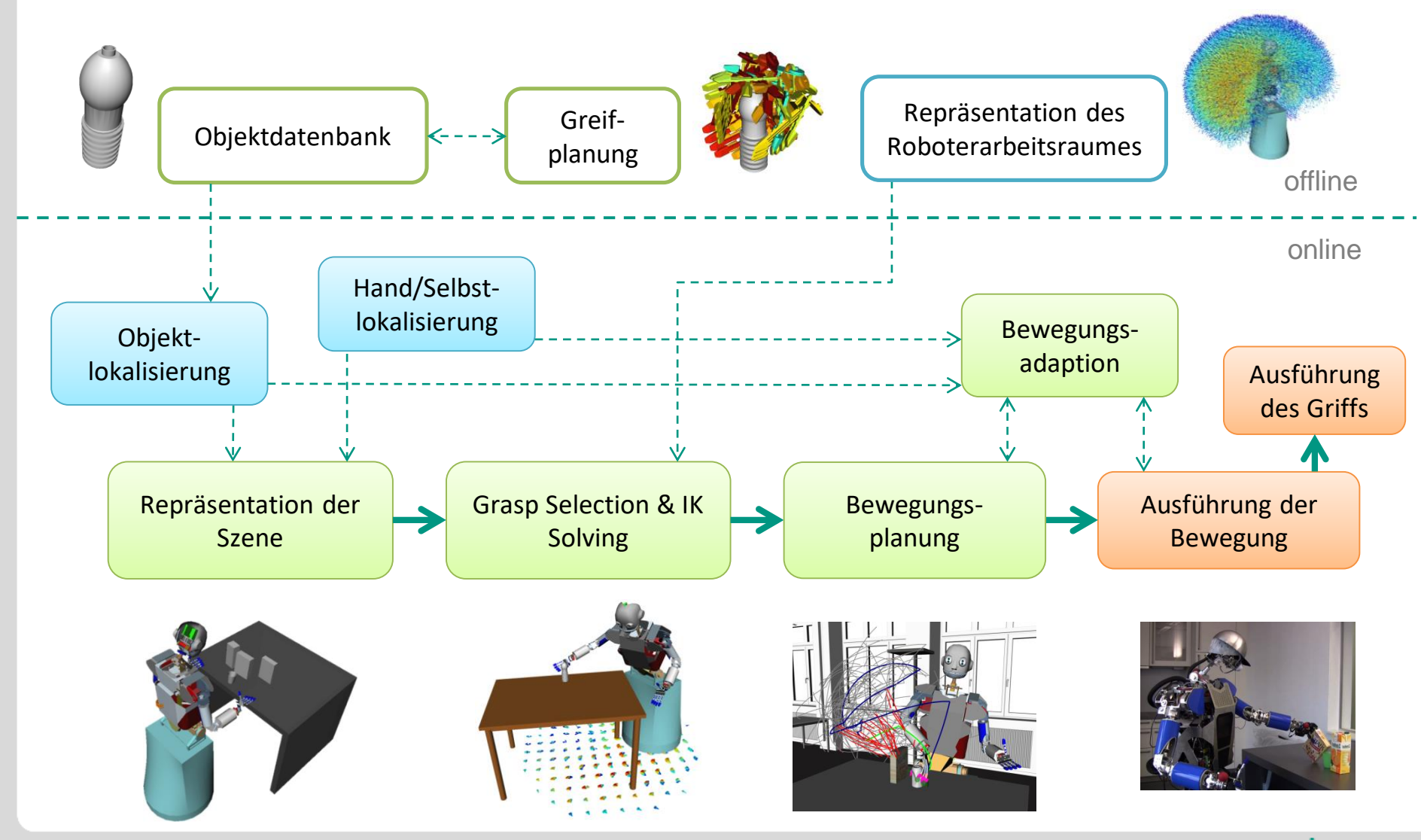






ARMAR – Grasping Pipeline

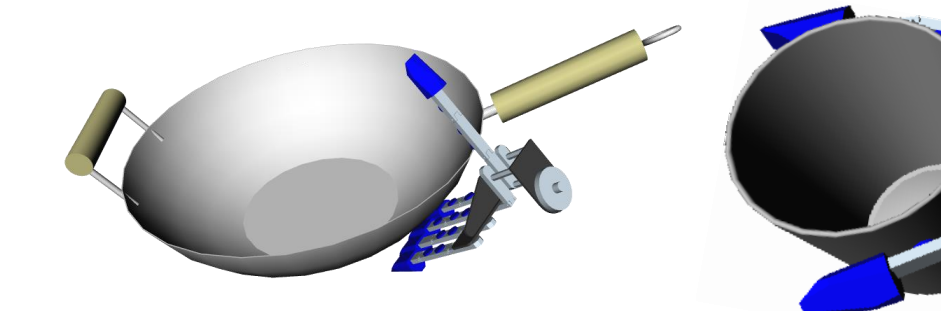




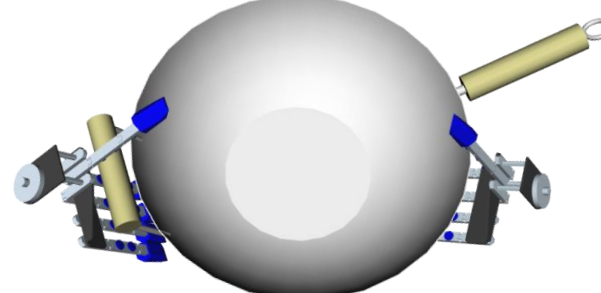
3D-Objektmodelle mit Griffinformationen



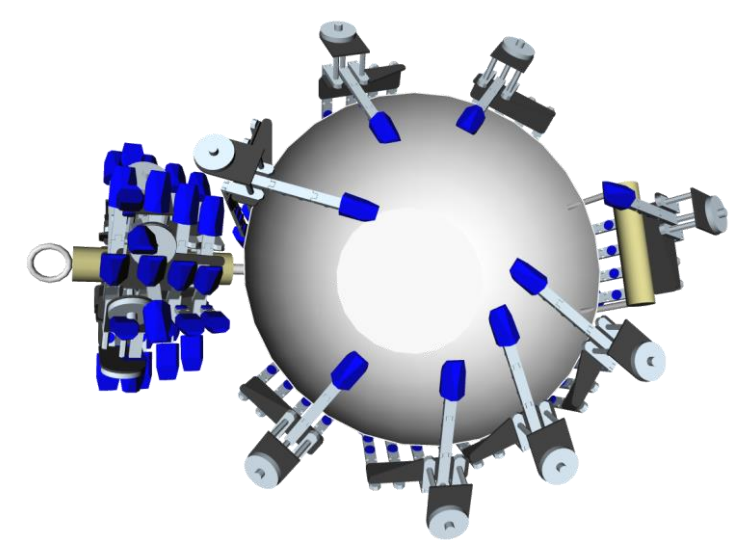
Einhändige Griffe



Zweihändige Griffe



Verschiedene Griffvarianten





Posturale Synergien and Eigengrasps



Stellungssynergien



- Fragen:
 - Wie greifen Menschen?
 - Kontrollieren sie jeden Freiheitsgrad ihrer Hände einzeln?
- Antwort aus Experimenten zum menschlichen Greifen
 - "Experimental evidence indicates that the simultaneous motion and force of the fingers are characterized by coordination and covariation patterns that reduce the number of independent degrees of freedom to be controlled." (Bicchi et al., 2011)
- Mit anderen Worten:
 - Nicht alle Fingergelenke werden beim Greifen unabhängig voneinander bewegt
 - Die Bewegung der Fingergelenke korreliert stark
 - Griffbewegungen werden dominiert durch Synergien in einem (niedrigdimensionalen)
 Stellungsraum (posture space)
- Was sind Stellungssynergien (postural synergies)?
 - "Postural synergies are the correlation of degrees of freedom in patterns of more frequent use" (Bicchi et al., 2011)



Stellungssynergien: Experiment



- Probanden führten Greifbewegungen für 57 verschiedene Objekte durch
- Es wurden keine realen Objekte gezeigt, die Probanden sollten sich die Objekte vorstellen und ihre Hand in eine passende Greifstellung bewegen

Antonio Bicchi, Marco Gabiccini, Marco Santello. *Modelling natural and artificial hands with synergies*, Philosophical Transactions of the Royal Society B, 366: 3153-3161 (2011)

Table 1. List of objects used in the task						
1. Apple	30. Hammer					
2. Banana	31. Ice cube					
3. Baseball	32. Iron					
4. Beer bottle	33. Jar lid					
5. Beer mug	34. Kitchen knife					
6. Brick	35. Knob of a lid					
7. Bucket	36. Knob of a stove					
8. Calculator	37. Light bulb					
9. Chalk	38. Milk carton					
10. Cherry	39. Needle					
11. Chinese tea cup	40. Notebook					
12. Cigarette	41. Pen					
13. Circular ashtray	42. Playing card					
14. Coffee mug	43. Rope					
15. Comb	44. Scissors					
16. Compact disc	45. Screwdriver					
17. Computer mouse	46. Stapler					
18. Dictionary	47. Sugar cone					
19. Dinner plate	48. Teaspoon					
20. Dog dish	49. Telephone handset					
21. Door key	50. Tennis racket					
22. Door knob	51. Toothbrush					
23. Drawer handle	Toothpick					
24. Egg	53. Turtle					
25. Espresso cup	54. Umbrella					
26. Fishing rod	55. Wafer					

27. Frisbee

28. Frying pan

29. Hair dryer



Wrench

57. Zipper

Stellungssynergien: Experiment



 Die Handbewegungen wurden über einen Handschuh mit 15 Sensoren aufgezeichnet (CyberGlove)



Jede Handstellung wird über eine Gelenkwinkelkonfiguration eines Modells der menschlichen Hand mit 15 DOF beschrieben

Circular ashtray

Zipper



Light bulb



Frying pan



Computer mouse



Beer mug

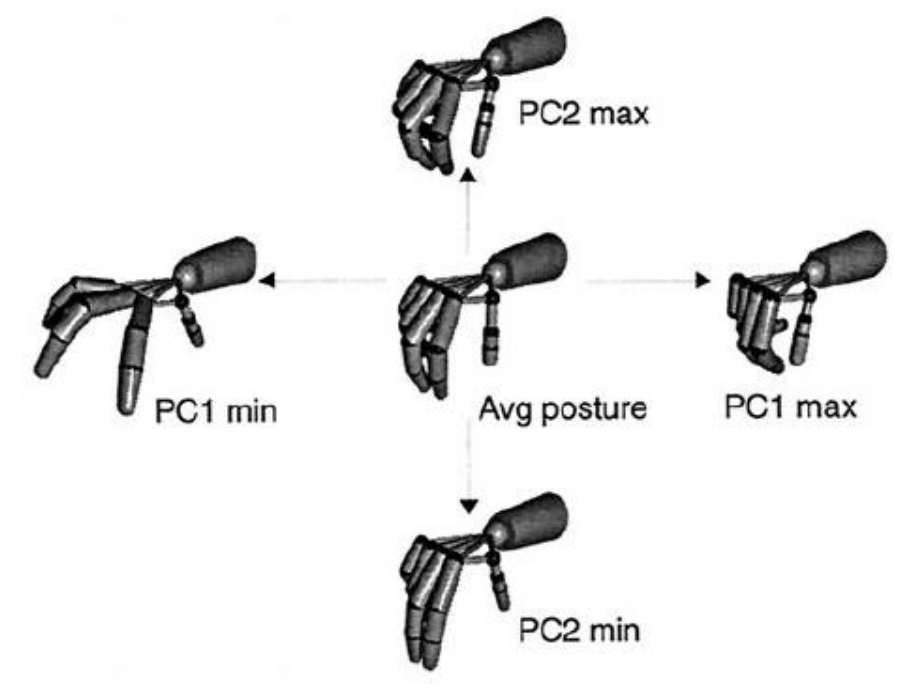




Stellungssynergien: Ergebnisse

Karlsruhe Institute of Technology

- Hauptkomponentenanalyse
 - Beim Greifen bewegt sich die Hand in einem niedrigdimensionalen Unterraum
 - Mit den ersten beiden Hauptkomponenten kann 80% der Varianz in den Daten beschrieben werden
 - Mit den ersten drei Hauptkomponenten kann 97% der Varianz in den Daten beschrieben werden



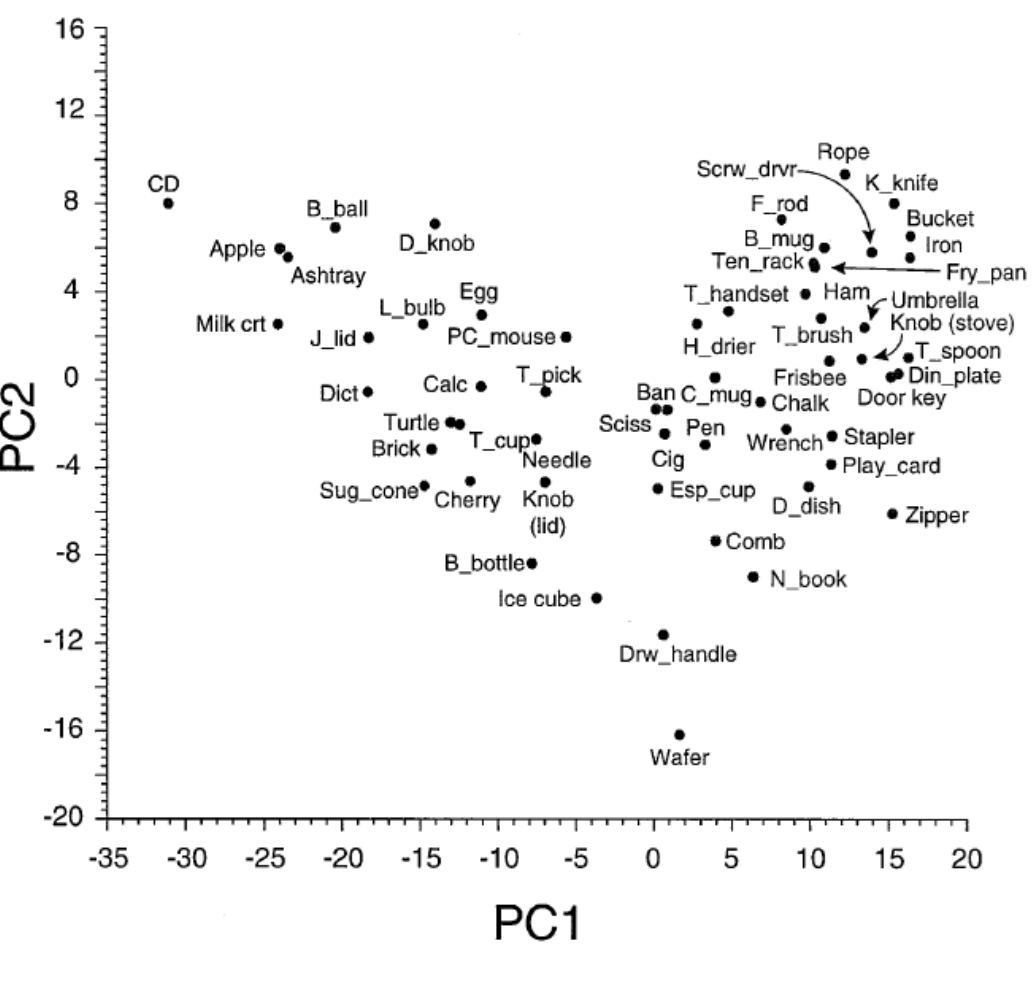
- Stellungssynergien aus den ersten beiden Hauptkomponenten (PC1 und PC2)
- Die Handstellung im Schnittpunkt der Hauptachsen ist die mittlere Handstellung der 57 aufgenommenen Griffe
- Die Abbildungen wurden mit gleichbleibender Handorientierung erzeugt



Stellungssynergien: Ergebnisse



- Verteilung der Handstellungen in der Ebene der ersten beiden Hauptkomponenten
- Zeigt die Koeffizienten der ersten beiden Hauptkomponenten für jeden der 57 Griffe eines Probanden
- Auffällig: Keine Gruppierung sowie Verteilung der Koeffizienten entlang zweier Hauptachsen

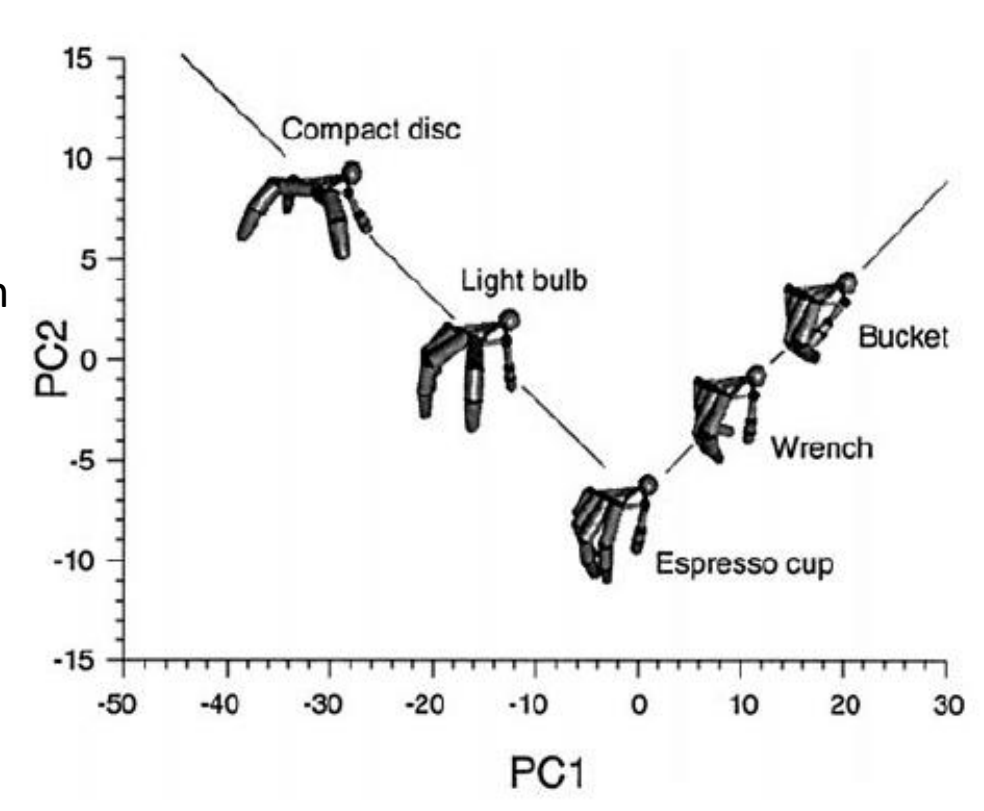




Stellungssynergien: Ergebnisse



- Hauptkomponentenanalyse
 - Beim Greifen bewegt sich die Hand in einem niedrigdimensionalen Unterraum
 - Mit den ersten beiden Hauptkomponenten kann 80% der Varianz in den Daten beschrieben werden
 - Mit den ersten drei Hauptkomponenten kann 97% der Varianz in den Daten beschrieben werden



Interpolation zwischen verschiedenen Handstellungen



Eigengrasps zur Greifsynthese



 Der Eigengrasp Ansatz kann auch zur Griffsynthese verwendet werden (Details siehe Ciocarlie et al. 2007)

Model	DOFs	Eigengrasp 1			4	Eigengrasp 2		
Model	DOFS	Description	min	max	Description	min	max	
Gripper	4	Prox. joints flexion	>	•	Dist. joints flexion	V-	· [>	
Barrett	4	Spread angle opening	4	- 6	Finger flexion	√	· 4	
DLR	12	Prox. joints flexion Finger abduction	*	-	Dist. joints flexion Thumb flexion	K -	-	
Robonaut	14	Thumb flexion MCP flexion Index abduction	W -		Thumb flexion MCP extension PIP flexion	186		
Human	20	Thumb rotation Thumb flexion MCP flexion Index abduction	*	+	Thumb flexion MCP extension PIP flexion	-	→ 08/8/6	

Matei Ciocarlie, Corey Goldfeder, Peter Allen. *Dimensionality reduction for hand-independent dexterous robotic grasping*, IEEE/RSJ International Conference on Intelligent Robots and Systems (IROS), (2007)



Software



Grasplt!

- Entwickelt von Columbia University Robotics Group
- C++ Source Code: http://graspit-simulator.github.io/

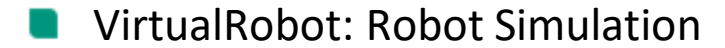






Simox

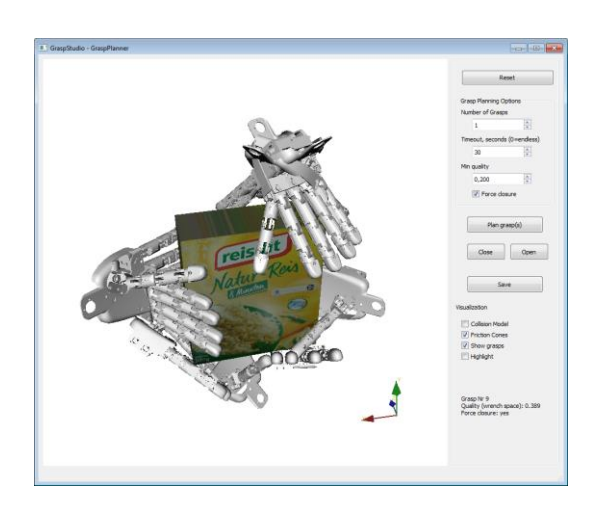
- Entickelt von H2T, KIT
- C++ Source Code: https://gitlab.com/Simox/simox
- Dokumentation: https://gitlab.com/Simox/simox/wikis



Saba: Motion Planning Library

GraspStudio: Grasp Planning Library









ZUSATZMATERIAL



Medial Axis Planner: Limitations



- Problems with slice structures
 - For complex objects, there are too many different kinds of slice structures, and each one has to be considered separately.
 - Too many parameters, heuristics, threshold constants...
- Better solution (Grid of medial spheres):
 - Consider complete medial axis transform (MAT = spheres including radii)
 - No slicing of the MA
 - Instead: Principal component analysis of sphere centers in a local environment around a query sphere
 - Only two cases for candidate grasp generation:
 - Spheres located on local symmetry axis → generate candidate grasps
 - Spheres located on the rim of local symmetry plane → generate candidate grasps
 - Spheres located inside a local symmetry plane (not interesting for grasping)

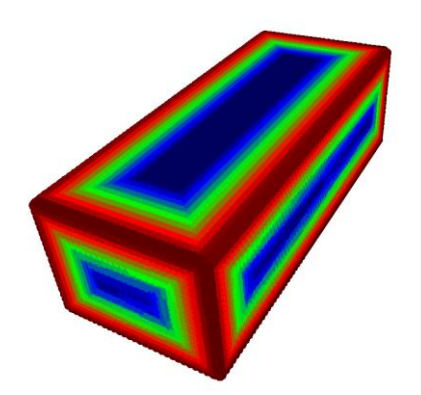


Grid of medial spheres grasp planner

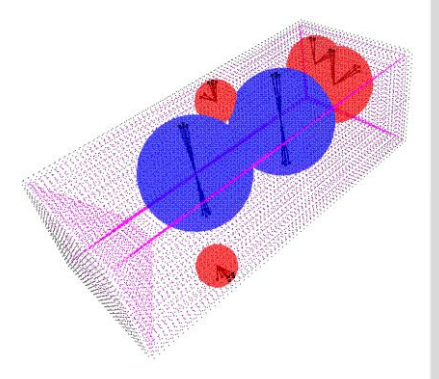


- Based on the medial axis transform → Contains object's symmetry properties
- In addition: efficient access to spheres in local neighborhood (grid-based spatial indexing):

$$\begin{pmatrix} i_x \\ i_y \\ i_z \end{pmatrix} = \begin{pmatrix} \lfloor n_x(x - x_{min})/(x_{max} - x_{min}) \rfloor \\ \lfloor n_y(y - y_{min})/(y_{max} - y_{min}) \rfloor \\ \lfloor n_z(z - z_{min})/(z_{max} - z_{min}) \rfloor \end{pmatrix}$$



- Attributes of each sphere:
 - Center
 - Radius
 - Points where the sphere touches the object's surface
 - Object angle: maximum angle included by the sphere's center and two surface points touched by the sphere.
 - Example:
 - Blue spheres: object angle ~180°
 - Red spheres: object angle ~90°

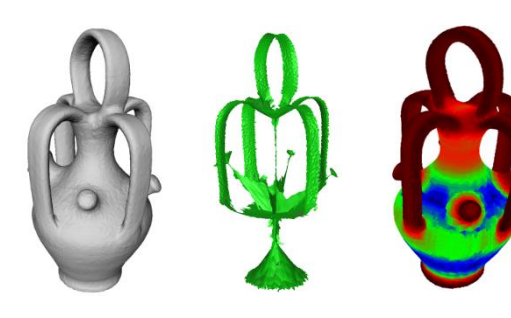




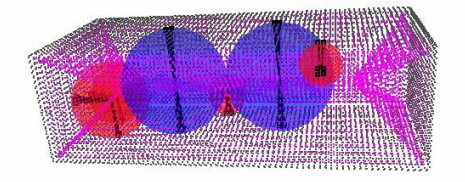
Object representation for grasp planning



- Grid of medial spheres
 - Based on the Medial Axis Transform (MAT) [Blum67]
 - Contains object's symmetry properties
 - Additional: efficient access to spheres in local neighborhood
 - Attributes of each sphere:
 - Center
 - Radius
 - Points where the sphere touches the object's surface
 - Object angle: maximum angle defined by the sphere's center and two surface points touched by the sphere







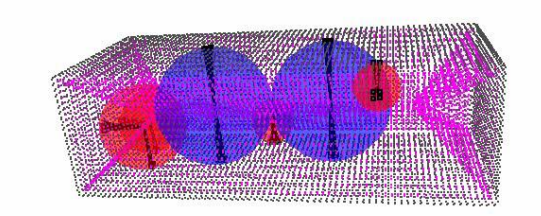
Blue spheres: object angle ~180° Red spheres: object angle ~90°



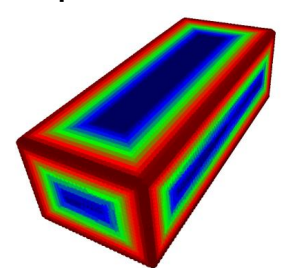
Selecting spheres for grasp planning



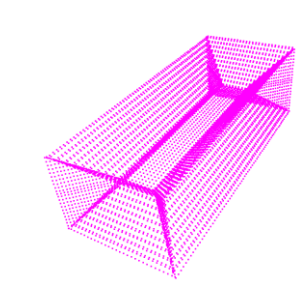
- Which spheres are important for grasp planning?
- Rough structure (occupied volume) vs. surface details of the object
- Goals:
 - Exploit local symmetry planes / axes for grasp planning
 - Generate grasps with two opposed virtual fingers
- Main parameters:
 - Object angle
 - Sphere radius
- Grasp planning:
 - Consider only spheres with object angle >= 120°
 - This removes edges and corners of the object
 - Symmetry planes and axes are preserved



Grid of medial Medial Axis spheres











Grasp planning algorithm using MAT and PCA



Estimate symmetry properties of sphere centers in each sphere's local

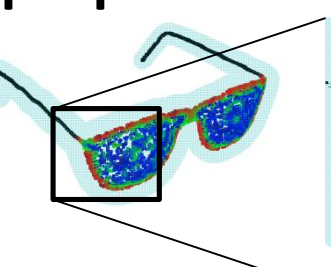
neighborhood Sphere Spherical **PCA** neighborhood centers Local **Symmetry Plane** Local **Symmetry Axis** Hand approach directions



Analyzing an object's symmetry properties



 Estimate symmetry properties of sphere centers in each sphere's local neighborhood



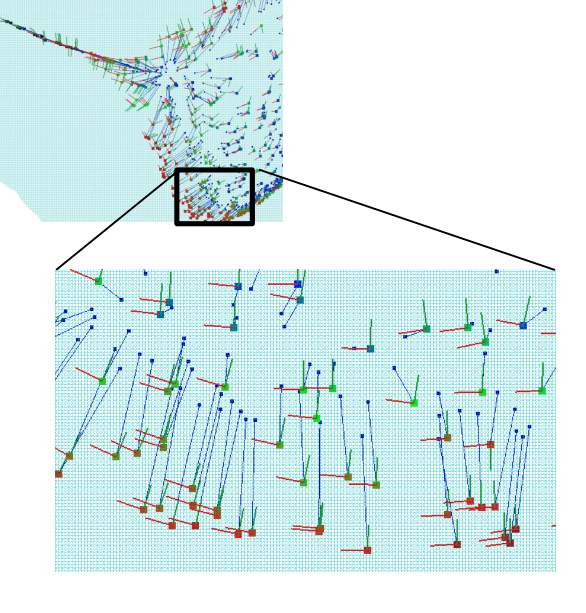
- Principal Component Analysis:
 - Directions of eigenvectors
 - Ratio of eigenvalues

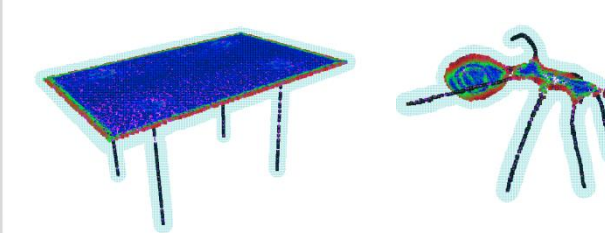
$$\rho_{ev} = \frac{\lambda_2}{\lambda_1}$$

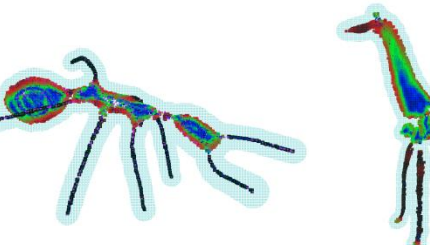
- Classification of spheres:
 - On local symmetry axis
 - On local symmetry plane
 - At the rim
 - Inside the plane

$$\rho_{ev} \le \rho_{axis}$$

$$\rho_{axis} \le \rho_{ev} \le \rho_{plane} \\
\rho_{ev} > \rho_{plane}$$









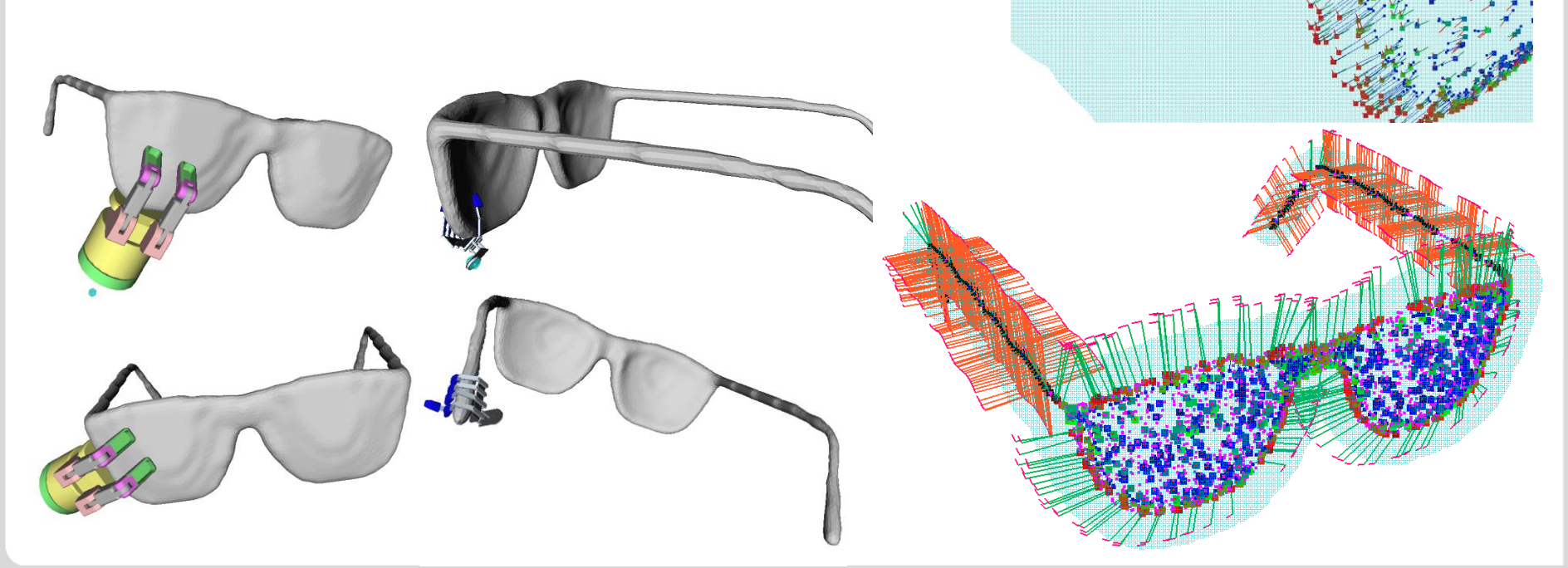




Generating candidate grasps

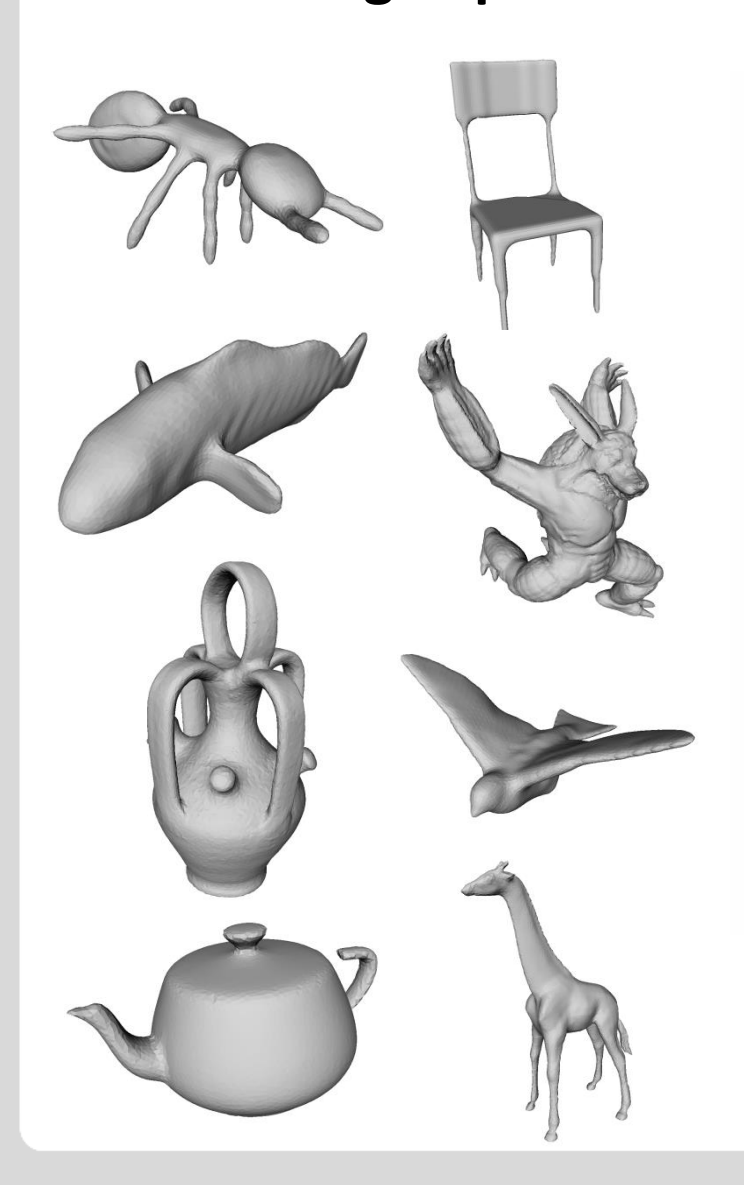


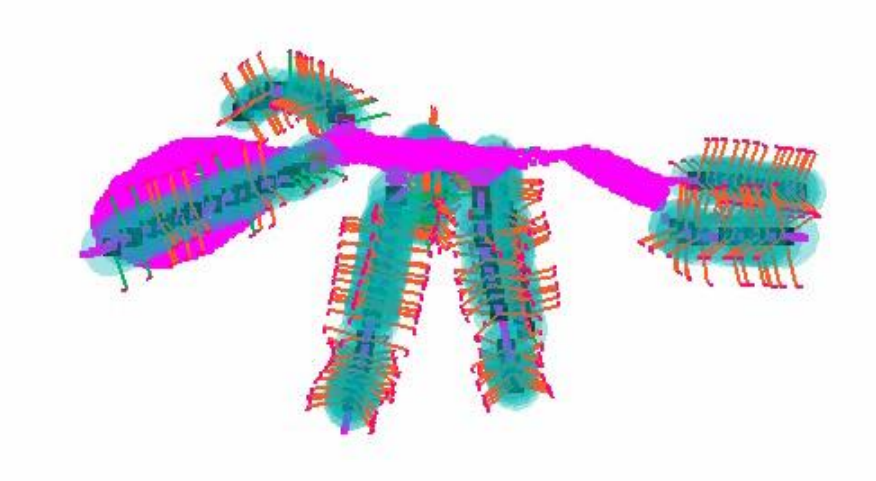
- Symmetry axis
 - Hand approach directions perpendicular to local symmetry axes
- Rim of symmetry plane
 - Hand approach directions perpendicular to local symmetry planes



Candidate grasps: some examples





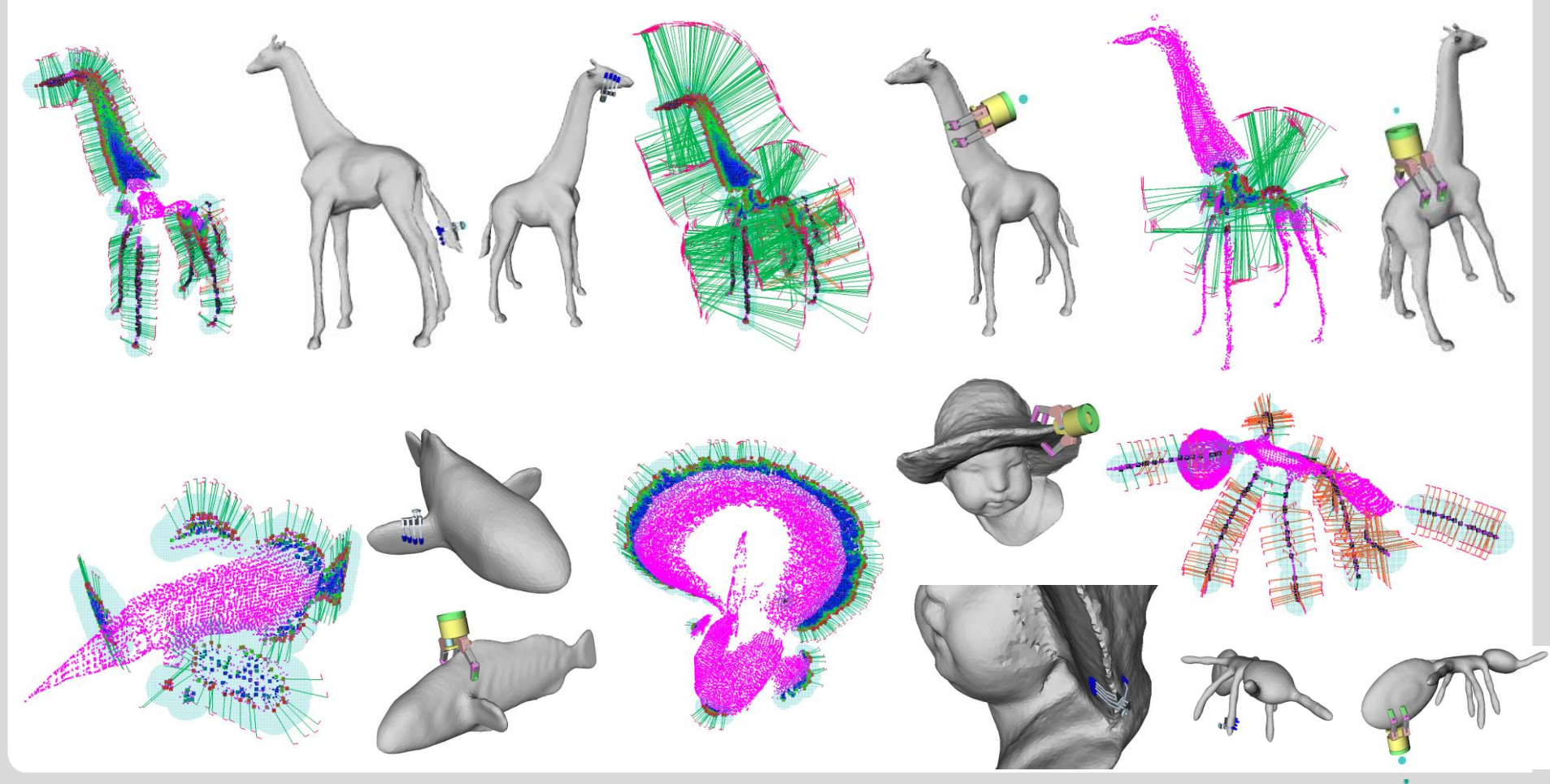




Advantages: Hand size vs. Object size

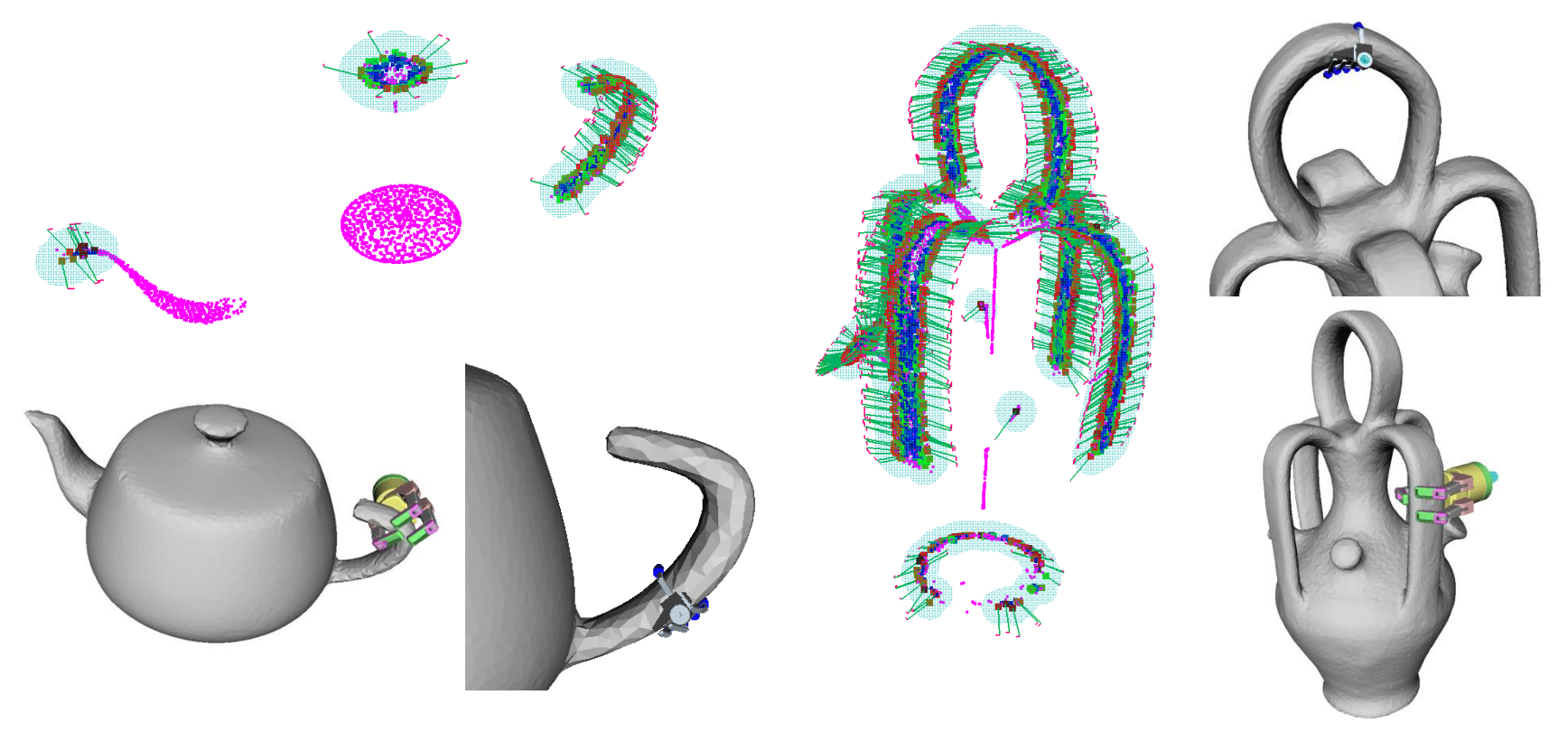


- Respect maximum sphere diameter graspable by the robot hand
- Optional: do not generate grasps for "small" spheres



Advantages: Grasps on handles





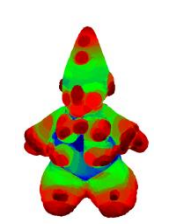
- For big objects, the algorithm finds many grasps at the handles
 - Simply due to geometric considerations, as the hollow bodies are too big to grasp
 - No semantic knowledge (task dependency) necessary



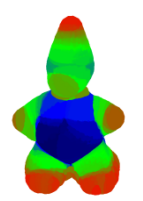
Dealing with surface details



- Surface details might disturb the planner.
 - Example: We don't want to plan grasps for the lawn gnome's nose.





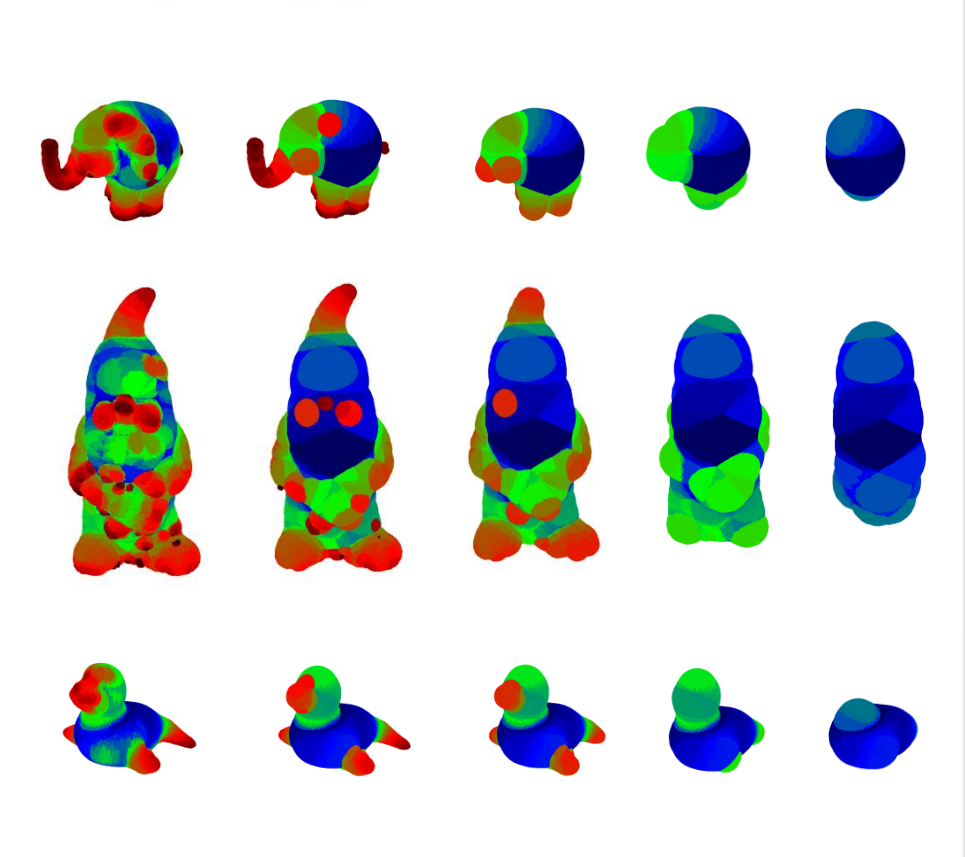






- Solution: Discard small spheres and spheres with small object angles
 - Column 1: All spheres
 - Column 2: Only spheres with object angle >= 120°
 - In addition: Discard spheres with small radii compared to biggest sphere in the object:
 - Column 3: $r < 0.3r_{max}$
 - Column 4: $r < 0.5r_{max}$
 - Column 5: $r < 0.7r_{max}$

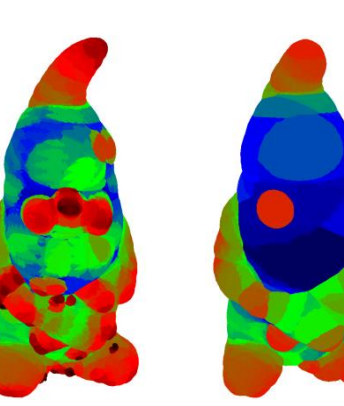
 $(r_{max}: Radius of the biggest sphere in the object)$

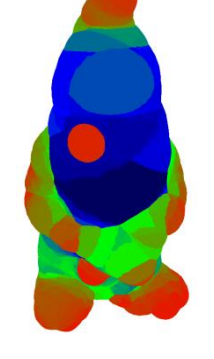




Advantages: Surface details

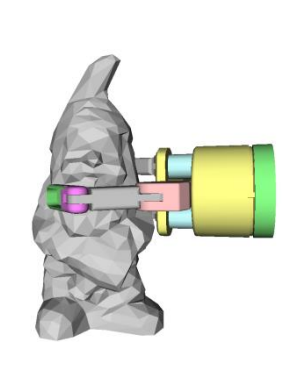
- How to deal with surface details?
- Solution: discard "small" spheres
- Planner considers only rough geometry of the object.

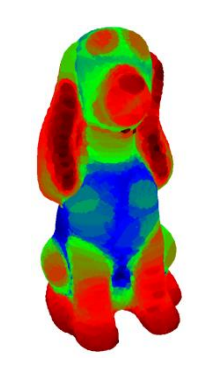


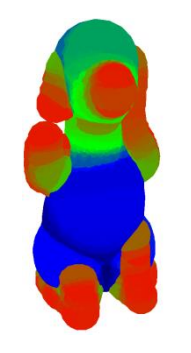


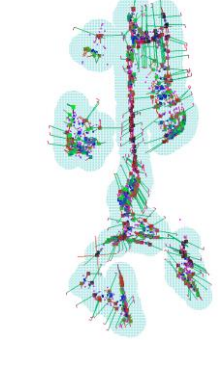




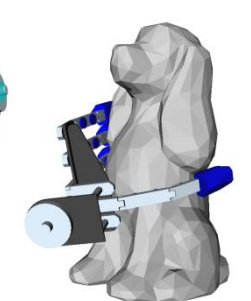


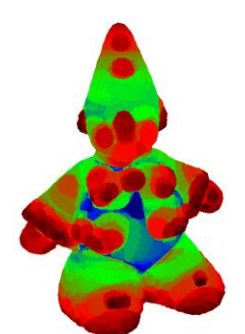


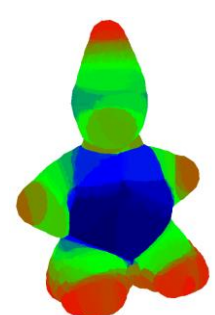


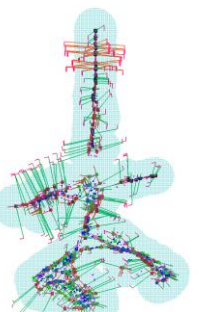










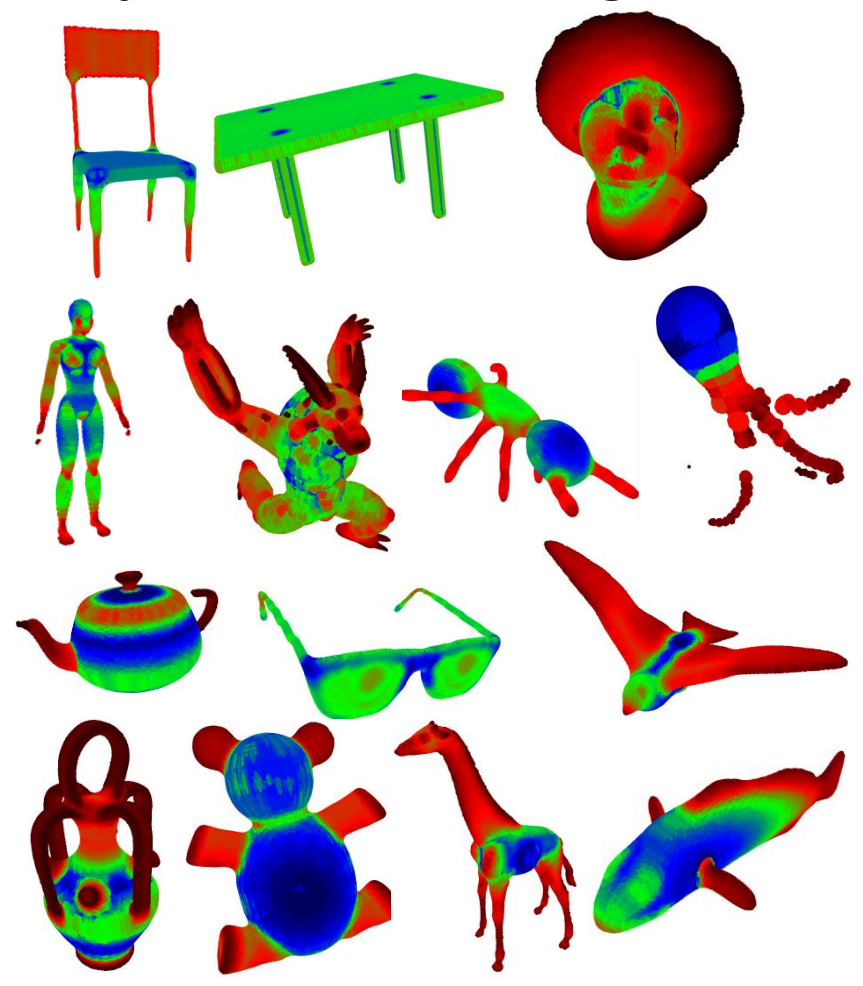


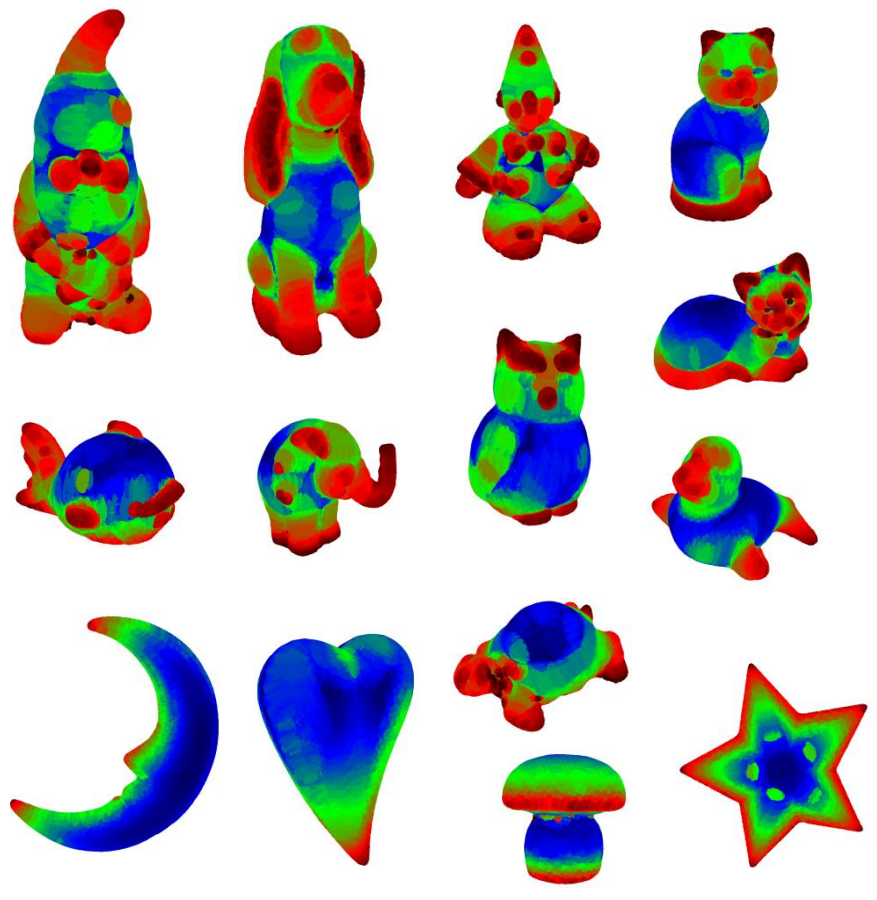




Object sets for testing





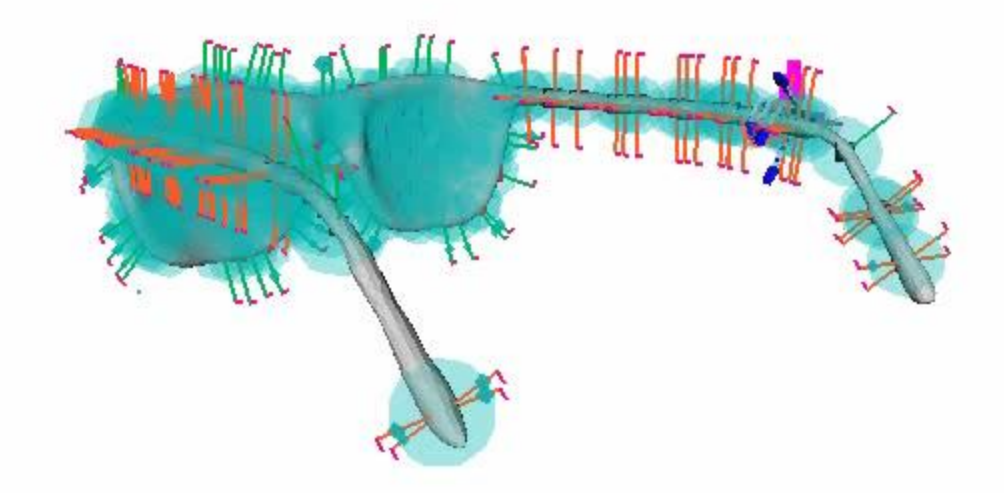


Chen Mesh Segmentation Benchmark [Chen2009] Real objects



Force-closure testing







Results



	ARMAR	-III hand	Barrett hand	
Objects	scale 1.0	scale 0.5	scale 1.0	scale 0.5
1 Female doll	71.3%	54.6%	53.13%	37.9%
41 Glasses	93.9%	7.8%	73.7%	10.7%
81 Ant	94.4%	71.1%	61.3%	45.7%
101 Chair	89.6%	49.2%	73.9%	72.2%
125 Octopus	53.7%	55.2%	26.9%	44.7%
141 Table	91.9%	92.5%	94.6%	85.0%
161 Teddy	100.0%	83.3%	86.7%	51.2%
225 Fish	76.5%	83.3%	68.4%	81.1%
245 Bird	75.0%	68.3%	75.0%	65.6%
290 Monster	70.5%	64.7%	67.8%	38.2%
305 Bust	50.0%	70.0%	100.0%	92.9%
361 Vase	76.8%	65.3%	69.6%	55.1%
379 Tea kettle	78.9%	63.2%	75.7%	31.3%
390 Giraffe	85.5%	68.3%	71.4%	56.0%

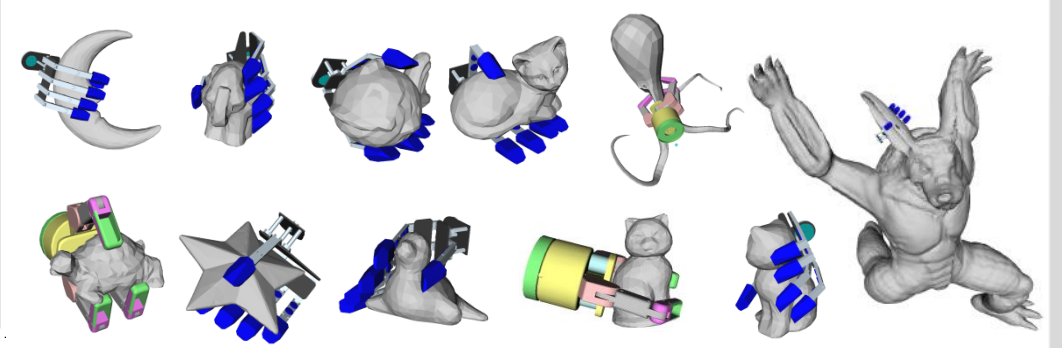
Objects	ARMAR-III hand	Barrett hand
1001 Clown	63.5%	61.2%
1002 Elefant	75.3%	76.0%
1003 Owl	78.0%	68.2%
1004 Spheric fish	59.0%	78.3%
1005 Lawn gnome	53.1%	57.7%
1006 Heart	89.0%	77.0%
1008 Dog	63.7%	69.2%
1009 Sitting cat	64.9%	59.5%
1010 Lying cat	80.7%	80.7%
1012 Moon	58.9%	64.4%
1013 Mushroom	80.0%	55.5%
1014 Turtle	57.1%	70.3%
1015 Seal (Seehund)	73.5%	59.2%
1016 Star	44.4%	66.7%

Experiments:

- Hand models:
 - ARMAR-III
 - Barrett
- Object models:
 - Chen benchmark
 - 100% scaled objects
 - 50% scaled objects
 - Real objects

Results:

Mostly >50% of the generated candidates are force-closure grasps



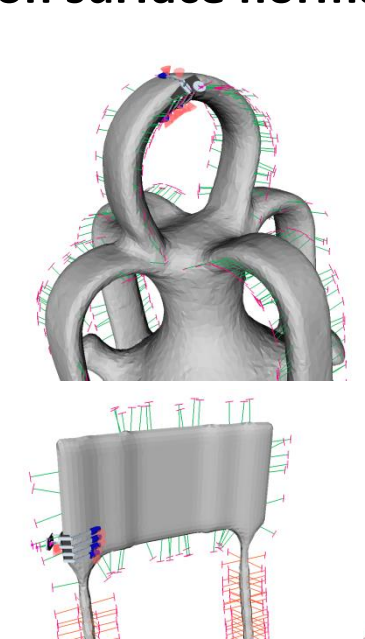


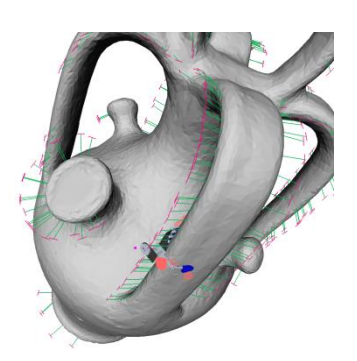
Results (Power grasps for big objects)

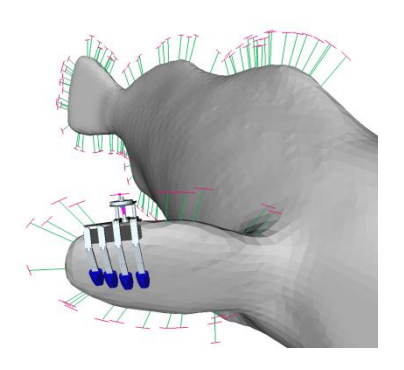


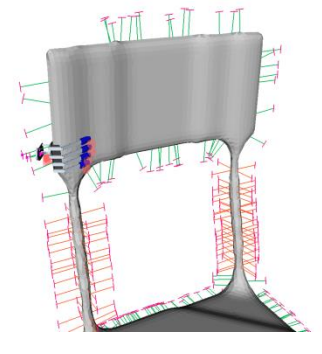
Comparison to method based on surface normals [Berenson07]

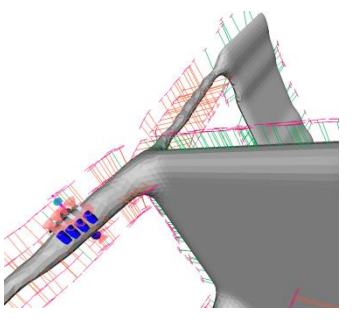
Planner type	MAT	Berenson [34]	
$r_{o,min}$	0.0	n.a.	
r_N	0.06m	n.a.	
Glasses	67.1%	14.1%	
Ant	95.3%	15.3%	
Chair	88.0%	14.4%	
Fish	57.3%	0.8 %	
Bird	66.8%	2.7 %	
Monster	63.0%	4.7 %	
Bust	41.6%	0.0 %	
Vase	75.7%	3.6 %	
Tea kettle	87.5%	1.9 %	
Giraffe	89.5%	20.0%	
Average	73.2%	7.7 %	

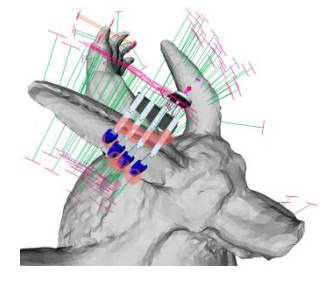


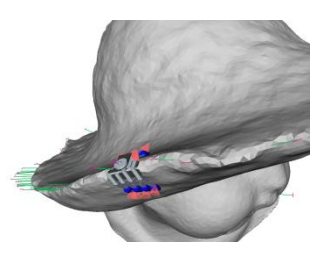


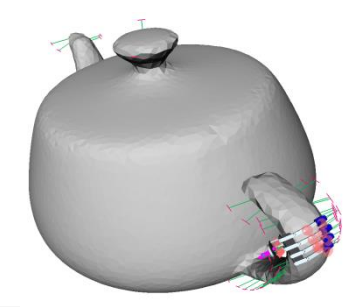


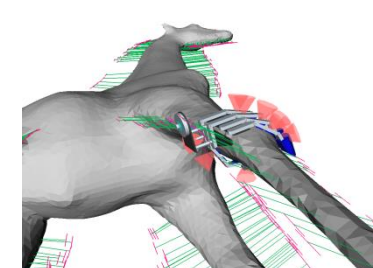














Summary



- Grid of medial spheres object representation:
 - Based on the medial axis transform
 - Volumetric approximation
 - Arbitary level of detail
 - Symmetry properties as part of the object representation
- Grasp planning algorithm:
 - For arbitrarily shaped objects
 - Generates geometrically meaningful candidate grasps
 - Further advantages:
 - Hand size and object size considered
 - Grasps on handles simply due to geometric considerations
 - Surface details can be ignored, if necessary
 - High ratio of force-closure grasps



Planning precision grasps

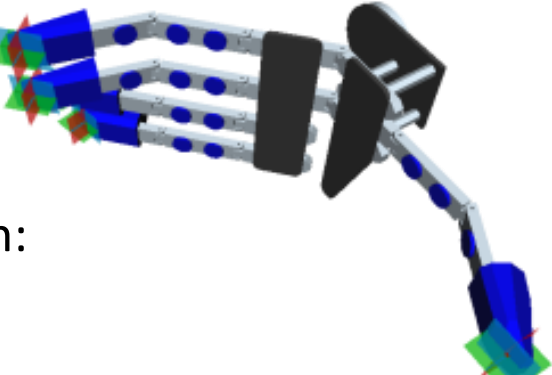


Problem:

 Planning precision grasps requires simultaneous determination of hand pose and finger joint angle

Idea:

- Define desired contact areas at fingertips
- Preshape and first guess for hand pose based on:
 - Object symmetry information
 - Contact areas
- Refine hand pose and configuration while closing the fingers

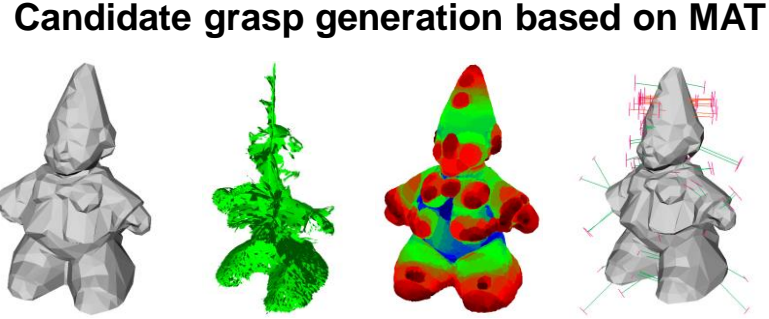


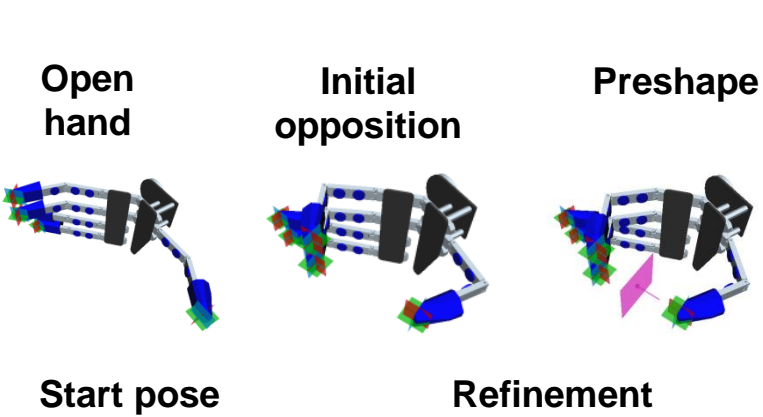


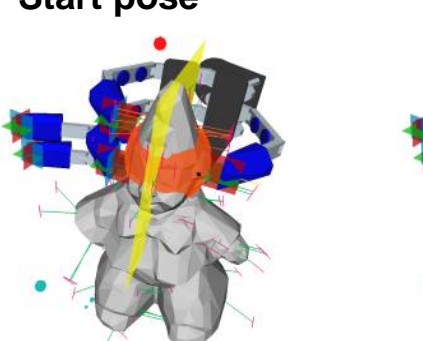
Algorithm: Planning precision grasps

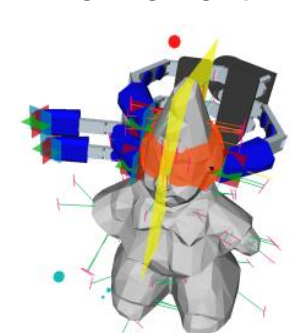


- Generate candidate grasps using the Medial Axis Transform (MAT).
- Compute preshape and first guess for hand pose:
 - Move hand to a configuration with initial opposition of predefined parallel contact areas.
 - Move the hand to the preshape configuration.
 - Extract grasp center transformation
 - Set hand to start pose
 - Discard candidate, if the hand is initially in collision with object.
- 3. Refinement of hand pose and configuration:
 - Close fingers, while maintaining parallel orientation of desired contact areas on the fingertips.
 - Compensate for translational fingertip movement by moving the TCP in the opposite direction.
- 4. Test for force-closure







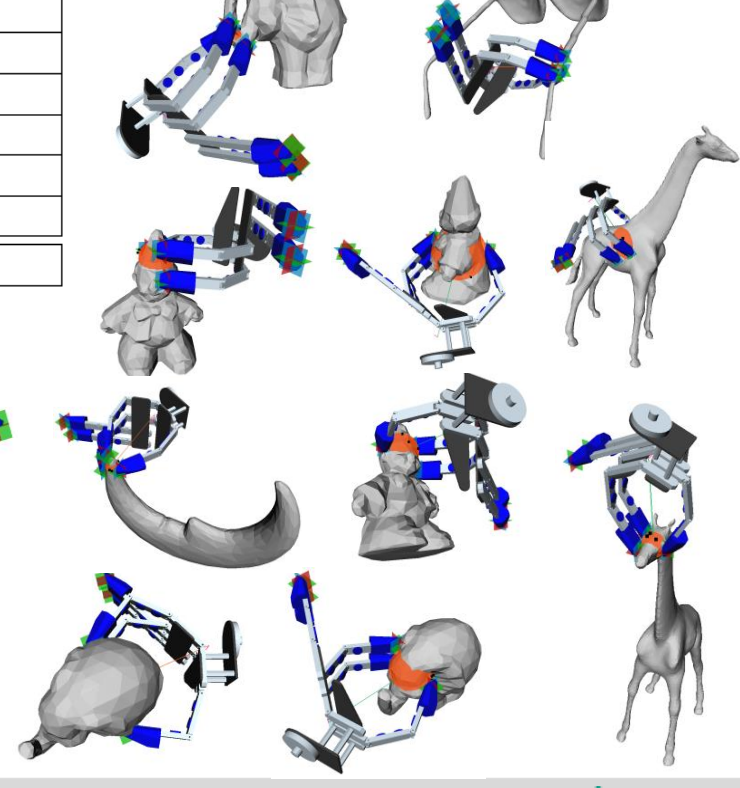




Results (Precision grasps)

Comparison to method based on surface normals [Berenson07]

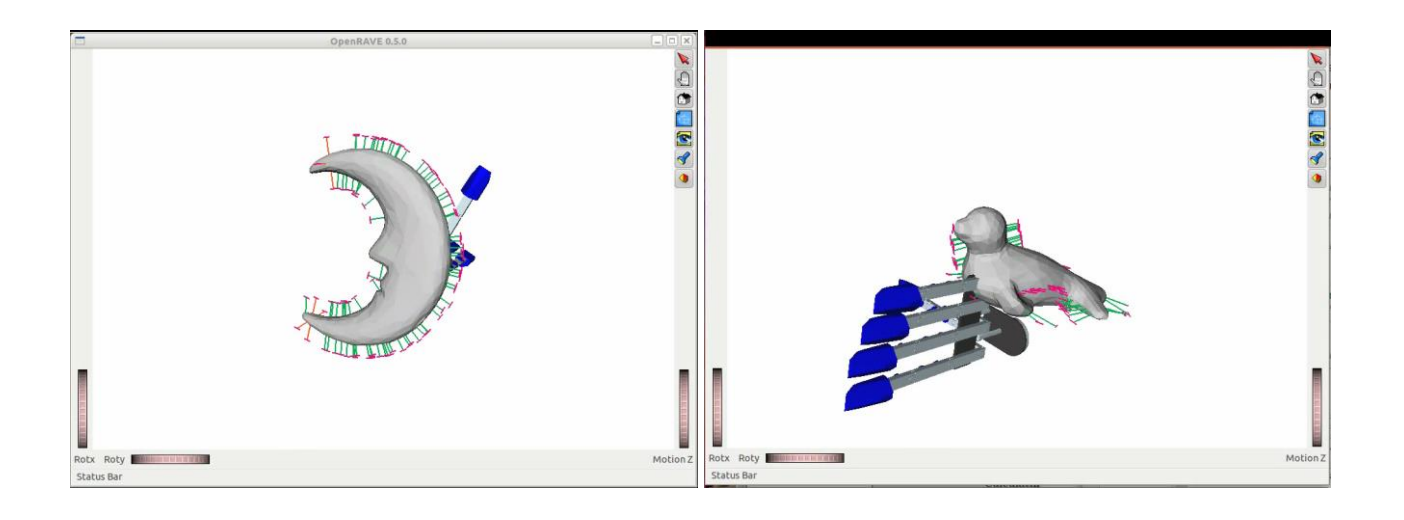
Planner type	MAT				Berenson [34]
$r_{o,min}$	0.0		$0.3r_{o,max}$		n.a.
r_N	0.01m	0.03m	0.01m	0.03m	n.a.
Clown	27.7%	15.8%	41.3%	29.9%	10.8%
Elefant	4.3 %	5.9 %	2.3 %	3.8 %	15.9%
Spheric fish	40.3%	24.7%	46.8%	29.6%	27.2%
Moon	83.0%	91.6%	84.2%	92.3%	5.3 %
Seal	59.8%	58.7%	67.1%	61.1%	10.8%
Glasses 25%	85.0%	88.7%	84.5%	88.7%	3.1 %
Giraffe 25%	36.1%	47.1%	19.0%	18.7%	9.4 %
Average	48.0%	47.5%	49.3%	46.3%	11.8%

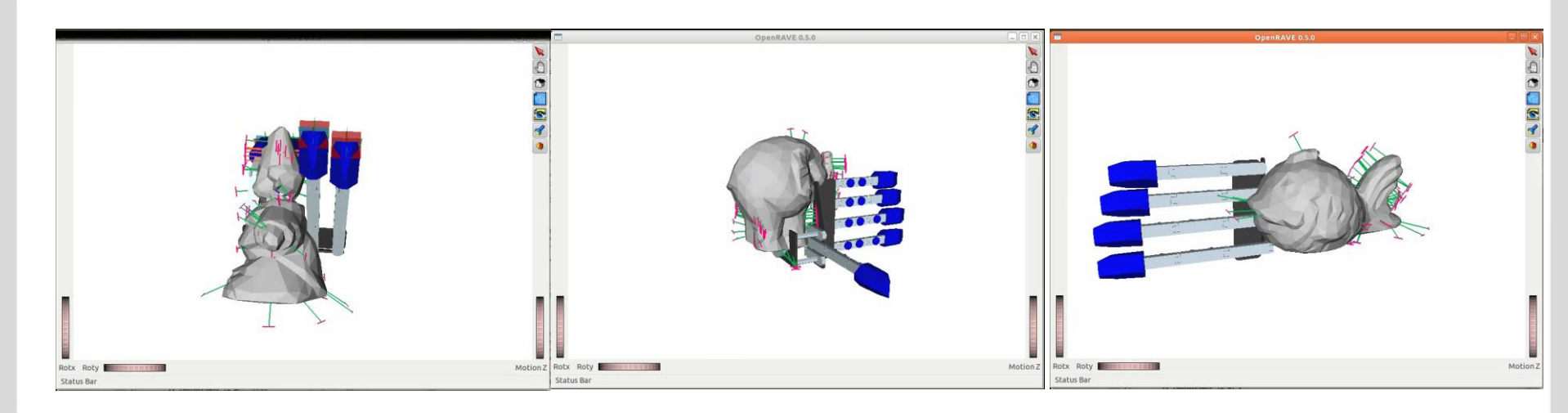




Results: Planning precision grasps (II)









Execution on ARMAR-IIIb





